

34419

T.C.

İSTANBUL UNIVERSİTESİ

FEN BİLİMLERİ ENSTİTÜSÜ

34419

VLF YÖNTEMİNDE MODELLEME

YUKSEK LİSANS TEZİ



Ferhat ÖZÇEP

JEOFİZİK MUHENDİSLİĞİ ANABİLİM DALI

(Yerfiziği Programı)

Danışman: Prof.Dr. O. Metin İLKİŞIK

**T.C. YÜKSEKÖĞRETİM KURULU
DOKÜmantasyon MERKEZİ**

ÖNSÖZ

VLF radyo dalgalarından iletişim (telekominikasyon) amacıyla yararlanma 1900'lu yıllarda başlar. Ancak bu dalgaların yerinin fiziksel özelliklerini belirlemeye yönelik kullanımı yüzyılın ikinci yarısıdır. VLF yönteminin jeofizikçiler için; maden ve su araştırmalarından mühendislikte zemin ve kaya ortamı incelemelerine, arkeolojik araştırmalardan yerel tektonik problemlere ve günümüzde çevre sorunlarına kadar oldukça geniş bir uygulama alanı vardır.

Ülkemiz için oldukça yeni bir jeofizik yöntemi olan VLF yöntemi, kuramsal ve uygulamalı (model çalışmaları) yönüyle ağırlıklı olarak incelenmiştir.

Çalışmalarında yönlendirici olan danışmanım Prof.Dr. O.Metin İlkişik'a , eşim jeofizik mühendisi Tazegül Aras Özcep'e ve yazım konusundaki önemli yardımları için Ar.Gör. Mümtaz Hisarlı'ya teşekkür etmek isterim.

İÇİNDEKİLER	Sayfa No
ÖNSÖZ	I
İÇİNDEKİLER	II
ÖZ ve ABSTRACT	IV
NOTASYON LİSTESİ	V
ŞEKİL LİSTESİ	VIII
ÇİZELGE LİSTESİ	XII
I. GİRİŞ	1
1.1. Tarihçe	1
1.2. Elektromanyetik Yöntemlere Genel Bir Bakış	2
II. MATERİYAL VE METOD	6
2.1. Kaynak Dalga	6
2.1.1. Antenler Ve Radyo Dalgalarının Genel Özellikleri	6
2.1.2. Yayınım Ortamı	8
2.1.3. VLF Radyo Dalgası Yayınımı	10
2.1.3.1. Hertz Dipolü Ve İlişkili Kavramlar	10
2.1.3.2. Düzlem Elektromanyetik Dalga İndüksiyonu	19
2.1.4. Yerdeğistirme Akımları Etkileri	27
2.1.5. Nüfuz Derinliği	30
III. BULGULAR	32
3.1. VLF Yöntemi Modellemesi	32
3.2. Bazı Basit Modellerin Analitik Çözümleri	32
3.2.1. Küre Modeli	32
3.2.2. Silindir Modeli	35
3.2.3. Fay Modeli	38
3.2.4. Dayk Modeli	41
3.2.5. Yatay Katman Modeli	58
3.3. Sayısal Modeller	66
3.4. VLF Eğim Acısı Ölçülerinin Doğrusal Filtrelenmesi	69
IV. TARTIŞMA VE SONUC	77
V. ÖZET VE SUMMARY	80

III

VI. KAYNAKLAR	82
VII. EK 1. Sonlu Farklar Yönteminin Matematiksel Açılımı ..	86
EK 2. VLF Ölçüm Parametreleri	87
VIII. ÖZGEÇMİŞ	90



ÖZ

VLF Yönteminde Modelleme

Bu çalışmada, VLF radyo dalgaları yönteminin ilkeleri incelenmiştir. Bu amaçla; verici kaynağı oluşturan antenler, radyo dalgalarının özellikleri, yayınımı, düzlem EM dalga ve yerdeğistirme akımlarının etkileri ele alınmıştır. İkinci bölümde VLF yönteminde modelleme konusu analitik ve sayısal olarak incelenmiştir. Bazı basit modellerin irdelenmesi yanısıra arazi ölçümlerinde alınan örneklerin yorumlanması da yapılmıştır.

VLF yöntemi ile ana kaya üzerindeki üst katmanın elektrik özelliklerinin değişimleri oldukça etkili olarak haritalanabilir. Bu özelliklerdeki değişimlere bağlı olarak tabir çok mühendislik ve bilimsel çalışmada bu yöntem kullanılabilir.

ABSTRACT**Modeling Techniques in VLF Methods**

In this study, principles of VLF (Radio Waves) methods was investigated. For this aim, antennas as a source , properties of radio waves, plane electromagnetic wave, and influence of dielectric currents was studied. Some simple models such as dike, sphere, fault etc. was discussed, and some samples which are measured in Akyazı Turkey (İlkışık ve Bayrak, 1993) was interpreted.

VLF method could be use in investigation of the electrical properties of overburden very effectly. This technique can also be use in engineering geophysics projects.

NOTASYON LİSTESİ

Simge	SI Birim	Nicelik
B	T: weber/m ²	Manyetik İndüksiyon
D	kulon/m ²	Elektrik Yerdeğiştirme
c	m/sn	İşik hızı
d	m	Nüfuz derinliği
E	V.m ⁻¹	Elektrik alan sıddeti
$E\theta$	V.m ⁻¹	Küresel koordinatlarda yatay düzlem (θ) boyunca değişen elektrik alanı
f	Hertz	Frekans
H	A.m ⁻¹	Manyetik alan sıddeti
$H\phi$	A.m ⁻¹	Küresel koordinatlarda ϕ yönünde değişen manyetik alan
h ya da l	m	Dipol boyu ya da pratikte anten yüksekliği
i, j, k		Birim vektörler
I	Amper	Elektriksel Akım
J	Amper/m ²	Akım yoğunluğu
K		Filtre katsayıısı
k		EM dalganın yayınım sabiti
n		Yatay tabakalı ortamda tabakayı tanımlayan indis
P	Watt	Anten yayınım gücü

R	m	Yerküre'nin ortalama yarıçapı
r	m	Bir radyo dalgası kaynağı ile Alıcı nok- tası arası uzaklık
\vec{S}	watt/m ²	Poynting vektörü
Q		Çok katmanlı ortamda tabakalanma ya da düzeltme faktörü
T	saniye	Peryod
t	saniye	Zaman
Z	ohm	Direkti
α		Dalga eğimi (tilti)
ϵ	Farad/m	Mutlak dielektrik sabiti
ϵ_0	Farad/m	Böşluğun dielektrik sabiti
ε		Eliptiklik
ϕ	Derece	Faz farkı
$\phi(^{\circ})$	Derece	Faz açısı
μ	Henry/m	Mutlak manyetik geçirgenlik
λ	m	Dalga boyu
μ	Henry/m	Mutlak manyetik geçirgenlik
μ_0	Henry/m	Böşüğün manyetik geçirgenliği
$\pi = 3.14159$		Pi sayısı
ρ	ohm.m	Özdirenç

- ρ ohm.m Görünür özdirenc
- $\omega = 2\pi f$ rd/sn Açısal frekans
- σ Siemens Elektriksel iletkenlik
- ∇ Nabla operatörü
- $\nabla \cdot \vec{A}$ A'nın diverjansı
- $\nabla \times \vec{A}$ A'nın rotasyoneli
- θ_0 Yeryüzeyine gelen bir
EM dalganın gelis
acısı
- θ_1 Aynı dalganın kırılma
acısı

SEKİL LİSTESİ

- Sekil 1. Polarizasyon elipsinin bicimine göre ortamın iletkenlik veya yalitkanlığı
- Sekil 2. Birincil (H_p) ve ikincil alan (H_{\perp}) arasındaki faz ilişkileri
- Sekil 3. VLF radyo dalgaları içim olası yayılma yörüngeleri. (Crossley, 1981).
- Sekil 4. Bir Zenneck yüzey dalgasının yeryüzeyine gelişи ve diger ortama aktarılışı (Crossley, 1981).
- Sekil 5. Boşlukta, x y z eksen sisteminin başlangıç noktasındaki bir Hertz dipolü.
- Sekil 6. İki VLF istasyonu (17.8 kHz, düz çizgi Cutler, Maine; 18.6 kHz, kesikli çizgi Jim Creek, Washington) için eş elektrik alan şiddeti eğrileri.
- Sekil 7. İki LF istasyonu için (6 kHz, kesikli çizgi Fort Collins, Colarado ve 60 kHz, düz çizgi, Rugby İngiltere) eş elektrik alan eğrileri.
- Sekil 8. Ölçülen elektrik alanın jeolojik doğrultuya dik ve paralel olması durumunda EM alan bileşenleri
- Sekil 9. Dielektrik sabitin değişik değerleri ve homojen yer için özdirencin fonksiyonu olarak faz açısının değerleri (Jones ve Telford, 1981)
- Sekil 10. Dielektrik sabitin değişkenliğine bağlı olarak görünür özdirencin ortam özdirenciyle değişimi (Jones ve Telford, 1981)
- Sekil 11. Dielektrik sabitin değişik değerleri için ortam özdirenciyle görünür özdirencin değişimi.
- Sekil 12. Küre modelinin iletken ve yalitkan olması ile buna karşılık gelen manyetik alan ve akım eğrileri.
- Sekil 13. Birincil manyetik alana dik yatay sonlu silindirin VLF tepkileri
- Sekil 14. Birincil manyetik alana paralel yatay sonlu silindirin VLF tepkileri.

- Sekil 15. Koordinat sistemi ve üç farklı fay modeli; (1) düşey fay (2) basamak modeli (3) Self modeli (Jones ve Price, 1971)
- Sekil 16. Sekil 16.'daki modellerin 0.01 Hz frekansında çeşitli büyülükler cinsinden tepkileri (Jones ve Price, 1971)
- Sekil 17. Düşey fay modelinin VLF tepkisi. Burada manyetik alan sınıra paraleldir (Wrigth, 1988).
- Sekil 18. Yarı sonsuz düşey levha üzerinde VLF profilleri (Telford ve dig., 1976).
- Sekil 19. Yarı sonsuz düşey levha üzerindeki VLF profillerindeki ölçüm doğrultusu etkisi (Telford ve dig., 1976)
- Sekil 20. Sonlu büyülükteki eğimli levhaların etkileri (Telford ve dig., 1976)
- Sekil 21. İki levha etkisi (Telford ve dig., 1976)
- Sekil 22. Ardışık düşey levhalar üzerindeki VLF tepkileri (Telford ve dig., 1976)
- Sekil 23. Model parametreleri (Kaikonen, 1980)
- Sekil 24. Karekteristik noktalar ve iletkenin yerinin bulunmasında kullanılan büyülükler. (a) eğim açısı (b) eliptiklik (c) görünür özdirenç (d) faz açısı ($\Phi_{EY} - \Phi_{EX}$)
- Sekil 25. Yan kayaç iletkenliğinin eğim açısının etkisiyle ilgili eğim açısı-eliptiklik abacı.
- Sekil 26. Dayk boyu etkisini veren eğim açısı-eliptiklik abacı
- Sekil 27. Derinlik etkisini veren eğim açısı-eliptiklik abacı
- Sekil 28. Kalınlık etkisini veren eğim açısı (A)-eliptiklik abacı (A)
- Sekil 29. Model parametreleri (Saydam, 1981)
- Sekil 30. EM alan düzleminde inhomojen iletken varlığında polarizasyon elipsi (Saydam, 1981)
- Sekil 31. Tipik bir eğim açısı-eliptiklik profili (Saydam, 1981)
- Sekil 32. Yan kayaç(host rock) özdirenci 50 ohm.m olan bir yapının $\epsilon - \sigma$ karekteristik diyagramı (Saydam, 1981)

- Sekil 33. 250 ohm.m'lik bir yan kayac için $\sigma-a$ karekteristik diyagramı (Saydam, 1981)
- Sekil 34. 800 ohm.m'lik bir yan kayac için $\sigma-a$ karekteristik diyagramı (Saydam, 1981)
- Sekil 35. 2500 ohm.m'lik bir yan kayac için $\sigma-a$ karekteristik diyagramı (Saydam, 1981)
- Sekil 36. 8000 ohm.m'lik bir yan kayac için $\sigma-a$ karekteristik diyagramı (Saydam, 1981)
- Sekil 37. Farklı derinlikler için eğimli daykin üzerindeki eğim (tilt) açısı değerleri (Sinha, 1990).
- Sekil 38. Daykin farklı eğim değerleri için eğim açısı (tilt) değerleri ((Sinha, 1990)
- Sekil 39. Farlı uzunluk etkileri $\sigma \cdot t = 0.5$ değeri için eğim açısı değerleri (Sinha, 1990)
- Sekil 40. Farklı uzunluk etkileri $\sigma \cdot t = 0.1$ değeri için eğim açısı değerleri (Sinha, 1990)
- Sekil 41. Farklı iletkenlik x kalınlık ($\sigma \cdot t$) etkilerinin eğim açısı üzerindeki etkileri (Sinha, 1990)
- Sekil 42. Yatay katmanlı yer modeli (Wait, 1962)
- Sekil 43. Özdirenç oranı $\rho_z/\rho_1 = 30$ için iki katmanlı çözüm için $\rho_a-\Phi(\theta)$ eğrileri (a), benzer özdirenç oranı için farklı bir çözüm sonucu elde edilen $\rho_a-\Phi(\theta)$ eğrileri (b) (Crosley, 1981)
- Sekil 44. İki katman abakları (Wrigth, 1988)
- Sekil 45. $h_1=h_2$ ve $\rho_z=\rho_1$ durumu için l' in fonksiyonu olarak Q_1 'in genliği (Mathienson ve Crossley, 1981)
- Sekil 46. Model Sekil 44'deki gibi olup Q_1 'in fazi çizilmıştır (Mathienson ve Crossley, 1981).
- Sekil 47. Düşey levhanın, sayısal çizgisel kaynak modellemesi (Kaikonen, 1977)
- Sekil 48. Eğimli levhanın nümerik çizgisel kaynak modellemesi (Kaikonen, 1977)
- Sekil 49. (a) Akım hatlarının yönlenmesi ve koordinat sistemi
 (b) akım yoğunluğu elemanın manyetik alanı (Kraus ve Hjelt, 1983)
- Sekil 50. Levha modelleri için hesaplanmış (çeşitli derinliklerde) eşdeğer akım yoğunlukları (Gercel bölgeler) (Kraus ve Hjelt, 1983)

Sekil 51. Levha modelleri için hesaplanan eşdeğer akım yoğunluklarının düşey kesitleri (Kraus ve Hjelt, 1983)

Sekil 52. Filtreleme için örnek uygulama

Sekil 53. Gerçel (H_{rz}) bileşene uygulanan filtre sonucu elde edilen akım yoğunluğu J_r

Sekil 54. Sanal (H_{iz}) bileşene uygulanan filtre sonucu elde edilen akım yoğunluğu J_i

ÇİZELGE LİSTESİ

- Çizelge 1. Yüzey dalgası direnci ölçümleri için VLF ve LF istasyonları.
- Çizelge 2. Türkiye'da kullanılabilecek VLF istasyonlarının çeşitli özdirenç değerleri için nüfuz derinlikleri (Yerdegistirme akımları dikkate alınmamıştır).
- Çizelge 3. İki Tabakalı ortam değerlendirmesinde Aşamalar

I. GİRİŞ

1.1. Tarihçe

Yer'in iç, dış ve yüzey koşullarının zaman ve mekan boyutunda incelenmesi için, Jeofizikçiler yerküre ile iki ayrı türden iletişim kurarlar; tek yönlü ve karşılıklı iletişim.

Tek yönlü iletişimde zaman ve mekan boyutunda değişimler gösteren; yerin çekim alanı, yerin manyetik alanı gibi doğal alanların taşıdıkları bilgilerle yer içinin yapısına ilişkin belirtiler elde edilmeye çalışılır.

Yerküre ile iletişimde bir başka türü olan karşılıklı iletişimde ise, yapay bir kaynakla uyarılan yerin buna tepkisi belirlenir ve tepkinin taşıdığı bilgiler saptanır (Canitez, 1984). Bu ikinci gruba giren radyo dalgalarının yayınımı uzun yıllardır kuramsal ve uygulamalı olarak incelenmektedir (Wait, 1962). Uzun dalga ya da VLF radyo yayınları uzun ve ilginç bir tarihe sahiptir. VLF frekans bandında yayın ilk olarak 1910-1912 arasında denenmiştir. Günümüzde denizcilikte haberleşme amacıyla kullanılmaktadır.

Jeofizikte ise VLF yöntemi, çok alçak frekanslı radyo yayınlarını kaynak olarak kabul eden elektromanyetik bir indüksiyon yöntemidir. Kullanılan alıcının türüne göre EM alan bileşenlerinin değişimlerinin veya eğim açısının ölçülmesi ilkesine dayanır. Kaynak olarak 12-30 kHz frekans aralıklarında isleyen haberleşme amaçlı radyo istasyonları kullanılır.

VLF yönteminin ve teoride benzeyen manyetotelürik (MT) yönteminin ayrıntılı açıklaması ve denklemleri sırasıyla Wait (1962) ile Keller ve Frischknecht (1966) tarafından verilir.

Jeofizik açıdan elektromanyetik (EM) kuramın ilkeleri Straton (1940), Wait (1962) ile Lorrain ve Corson (1970)'de bulunabilir. VLF uygulamaları açısından EM ilkeler ise

Crossley (1981)'de açıklanmıştır. Yerdeğistirme akımlarının etkileri ise Sinha (1977) tarafından ele alınmıştır.

Zamanla periyodik olarak değişen bir manyetik alan etkisi altındaki iletken bir kürenin davranışları Wait (1951) tarafından incelenmiştir. Doğal elektromanyetik alanlar için fay modeli ise d'Ercevile ve Kunetz tarafından incelenmiştir (1962). VLF yönteminde en çok uygulama sahası bulmuş modellerden biri olarak dayk modeli çeşitli araştırmacılar tarafından analog ve sayısal olarak incelenmiştir (Telford ve dig., 1976; Saydam, 1980; Kaikonen, 1980; Sinha, 1990 v.d.).

VLF istasyonlarından yayılan sinyaller jeofizik açıdan çeşitli amaçlar için kullanılabilir. Bunlar; maden araştırmaları, yeraltı suyu aramaları veya kirlenme çalışmaları, zemin incelemeleri, iyonosfer çalışmaları, meteorolojik çalışmalar, arkeolojik araştırmalar olarak sıralanabilir.

Bu çalışmada, VLF Radyo Dalgaları yönteminin ilkeleri ağırlıklı bir şekilde incelenektir. Verci kaynağı oluşturan antenler, radyo dalgalarının genel ve özel yapıları, yayınımı (Hertz Dipolü, Düzlem EM Dalga İndüksiyonu), yer değiştirmeye akımlarının etkileri ele alınacaktır. Çalışmanın ikinci bölümünde; VLF yönteminde "Modelleme" konusu, analog ve sayısal olarak hem kuramsal temelleriyle hem de pratikte uygulamalarıyla verilecektir.

1.2. Elektromanyetik Yöntemlere Genel bir Bakış

A. Yapay kaynaklı yöntemler, yeryüzünde uzun bir tele, bir bobine yada geniş bir halkaya (loop) verilen değişken bir akımla bir manyetik alan indüklenebilir. Yayılan manyetik alan içerisinde herhangi bir iletken varsa bu manyetik alana dik yüzeyler üzerinde kapalı halkalar şeklinde girdap (Eddy ya da Foucault) akımları oluşur. Bu akımlar da kendi manyetik alanlarını indüklerler. Yeryüzünde ölçülecek manyetik alan, vericiden gelen alan ve varsa girdap akımlarından akımlarından indüklenen son alanın bileşkesi olacağından

birincil alan bozulmaya uğrayacaktır. Genel olarak birincil alan vektörüyle ikincil alan vektörü benzer doğrultuda degildir. Ayrıca, eğer oluşursa birincil alanla ikincil alan arasında faz farkı vardır. Ancak ikincil alanın frekansı ile birincil alanın frekansı eşittir. Genellikle birincil alanla (H_p) ikinci alanın (H_s) genlikleri ve fazları birbirinden farklı olacağından bileske vektörün ucu boşlukta elips çizer buna "Polarizasyon Elipsi" denir.

$$H_p = A \sin(\omega t) \quad \text{ve} \quad H_s = B \sin(\omega t - \phi)$$

olmak üzere elipsin denklemi,

$$\frac{H_p^2}{A^2} + \left(\frac{H_s^2}{B^2}\right) \cdot \sin^2(\phi) = \cos^2\phi \quad (1)$$

olur. $\phi = \pi/2$ durumunda $B H_p - A H_s = 0$ elde edilir. Bu eşitlik B/A eğimine sahip bir doğrunun denklemini verir. $\pi/2$ için $\tan \pi/2 = \infty$ olması için $r_s=0$ ($\phi = \tan wL_s/r_s$) olması gereği için bu durum "çok iyi bir iletken" karşılık gelir, burada wL_s induktanslı iletkenin etkin empedansı ve r_s rezistansıdır. $\phi = 0$ ise

$$\left(\frac{H_p^2}{A^2}\right) + \left(\frac{H_s^2}{B^2}\right) = 1 \quad (2)$$

bir daire denklemini tanımlar. $\phi = 0$ olduğunda $r_s \gg wL_s$ olduğu için kötü iletkeni simgeler.

Birinci ve ikinci alanlar arasındaki faz farkı:

$$\phi_p - \phi_s = \arctan(wL_s/r_s)$$

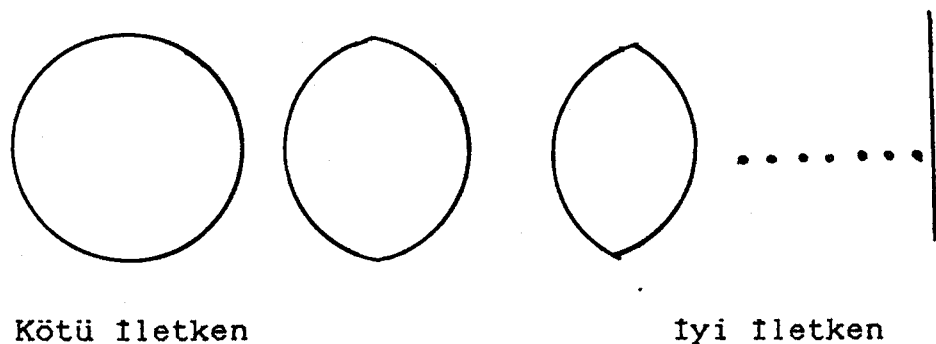
$\phi_p - \phi_s = \phi$ (Bozucu kütleden ileri gelen faz) olur.

Yerden yapılan ölçümlerde ölçülen bazı büyüklükler sunlardır;

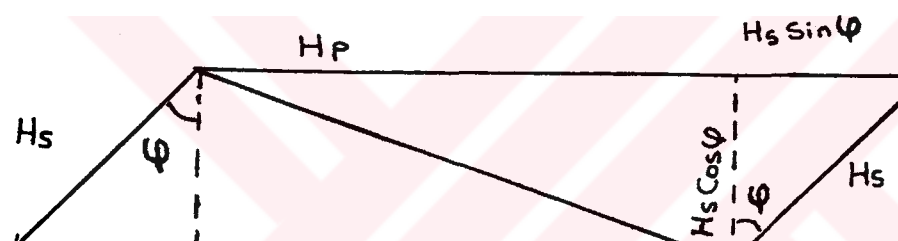
Eğim Acısı (Dip): Polarizasyon elipsinin büyük ekseninin yatayla yapmış olduğu açıdır.

Siddet ölçüsü : Vericiden yayılan manyetik alanın bir

iletken tarafından bozulmaya ugratılması bir kaç ayrı noktada alan şiddetini ölçerek belirlenebilir.



Sekil 1. Polarizasyon elipsinin biçimine göre ortamın iletkenlik veya yalıtkanlığı (Özcep, 1991).



Sekil 2. Birincil (H_p) ve ikincil alan (H_s) arasındaki faz ilişkileri (Özcep, 1991)

Faz Bileşenleri : Bileşke manyetik alan biricil ile aynı fazda değildir. İki alan arasındaki faz farkının jeofizik değerlendirmede birinci derecede önemi vardır. Zira ortamın ortalama iletkenliği hakkında ortalama bilgi verir (Öztürk, 1986).

Ölçülerin alınma biçimine bağlı olarak elektromanyetik yöntemler

- a) Paralel Hat Yöntemi
- b) Sabit Verici Yöntemi

- c) Shoot-Back Yöntemi
- d) VLF Yöntemi
- e) Yatay Loop (Halka) Yöntemi
- f) Uzun Tel (Oran Bulma) Yöntemi

olarak sınıflanabilir.

B. Doğal kaynaklı yöntemler;

Yeryüzünde yatay olarak dolasan yer akımlarının bulunduğu çok eskiden beri bilinmektedir (İlkışık, 1980). Bunlara telürik akımlar denir.

Yeryüzünde ölçülen manyetik ve elektrik alanlarının incelenmesine dayanan manyetotelürik yönteminde problem Maxwel denklemlerinin çözümünü gerektirir (İlkışık, 1987; Ergin, 1985). Bir boyutlu ortam için çözümler Wait (1962), Rokityansky (1982) ile Keller ve Frischnecht (1966) gibi bir çok araştırcı tarafından verilmiştir.

Meyil (eğim) açısı teknikleri içinde de incelenebilen Afmag yönteminde (yüksek frekanstaki manyetik titresimler) ise doğal manyetik gürültüler verici olarak kullanılırlar. Bu frekanslarda doğal enerji dağılımı gelişigüzelidir.

Afmag yönteminde kullanılan frekanstaki dalgalar, kaynağı yer ile iyonosfer arasında bulunan çok alçak frekanslı (örnegin 510-150 Hz) sinyallerdir. Bunların kökeni atmosferdeki elektrik boşalımları, yıldırımlar, şimşekler, v.b. dir.

II. MATERİYAL VE METOD

2.1. Kaynak Dalga

Bu bölümde VLF radyo dalgalarının atmosfer ve yerkabuğu ortamı içinde kırılmaları ve yansımaları anlatılacaktır.

VLF radyo dalgalarının yayınımı iki ayrı açıdan ele alınabilir. İlki, bir EM kaynağın (antenin) herhangi bir alıcı noktasında oluşturacağı potansiyelden yola çıkarak o noktadaki alan siddeti değerini hesaplamak, ikincisi ise Maxwell denklemlerinin çözümünü gerektiren düzlem EM dalganın induksiyonudur.

Yerdeğistirme akımlarının etkileri ve nufuz derinliği sorunu daha sonra tartışılacaktır.

2.1.1. Antenler ve Radyo Dalgalarının Genel Özellikleri

Zamanla değişen elektrik akım enerjisini elektromanyetik dalga enerjisine dönüştüren veya bunun tersini yapan düzenlere anten denir.

Fizik bakımdan antenler aynı temele sahiptir. Geometrik biçimlerinin farklı olması bunların açıklandığı matematik bağıntılarının farklı olmasını yol açar. En basit geometriye sahip antenler, dipol antenler (elektrik dipol, manyetik dipol) ve çok ince bir doğru parçasından ibaret olan "doğrusal" antenlerdir (İdemen, 1987).

Elektromanyetik dalgalar ile yapılan araştırmalarda son zamanlarda kullanılan diğer bir yapay kaynak, daha çok hava ve deniz haberleşmesi için geliştirilen frekansı 5-30 kHz arasındaki yüksek gücü VLF vericileridir. VLF anteni topraklanmış bir kaç yüz metre yüksekliğindeki düşey bir teldir. Anten boyları aslında gönderilen dalga uzunluğundan çok kısadır.

Radyo dalgaları, dalga boyalarına (λ) göre aşağıdaki

şekilde sınıflandırabilir:

1) Kilometrik Dalgalar: Uzun dalgalar diye adlandırılan ($\lambda > 3000$ m yada $100 \text{ kHz} > f$) bu dalgalar, gündüz olduğu gibi gece, yazın olduğu gibi kışın da aynı biçimde davranışırlar. Büyük uzaklıklara yayım yapılmasını saglarlar ama yüksek güçlerin (500-1000 kW) kullanılması gereklidir. 200-250 m yüksekliği olan bir çok direkle desteklenmiş örtü biçiminde geniş antenler gerektirirler. Jeofizikte EM arama yöntemi olarak kullanılan VLF'de bu tür dalgalar sözkonusudur.

2) Hektometrik Dalgalar: Orta dalgalar ($300 \lambda > 2000$ m yada $100 > f > 1500 \text{ kHz}$) dır. Verici anten çevresinde sınırlı bir alan için yayılma gece ve gündüz aynıdır. Uzakta ise gece ve gündüz yayımı arasında büyük bir fark bulunur.

3) Dekametrik Dalgalar: Kısa dalgalar ($50 \text{ m} > \lambda > 10 \text{ m}$ yada $6 > f > 6 \text{ MHz}$) dır. Bazı koşullarda büyük uzaklıklara düzenli hizmet verilmesini saglarlar. Dolaylı olarak büyük uzaklıklara ulaşabilirler ama saat ve mevsim koşullarının da rol oynadıklarını unutmamak gereklidir.

4) Metrik Dalgalar: Çok kısa dalgalar ($10 \text{ m} > \lambda > 1 \text{ m}$ yada $6 > f > 30 \text{ MHz}$) dır. Ancak doğrudan ulaşımda düzenli bir yayın saglarlar. Yayın anteni ile alıcı anten arasında hiç bir engel bulunmamalıdır. Çok kısa ulaşılmlara karşın bu dalgalar (televizyon, frekans modülasyonu gibi) geniş bandların aktarımlarında kullanılırlar.

Bu tür dalgaların 1. gruba giren düşük frekanslı olanları (VLF) yer iletkenliğinin araştırılmasında kullanılır.

Yeryüzünde rastgele dağılmış bulunan kaynakların yaratmış olduğu dalgaların yapısı çok basit haller dışında son derece karmaşıktır. Bu karmaşıklık dalgaları yakından tanımlamamızı ve bunlara ilişkin teknik problemlere çözüm bulabilmemizi olanaksızlaştırır. Bununla birlikte kaynaklardan uzaklara gidildikçe bazı terimler diğerleri yanında ihmali edilebilecek kadar küçülürler ve dalgaların oldukça basit görünüm kazanmasına neden olurlar. Bu basit yapı alanın genel ifadesinde "uzak alan" ifadesi olarak adlandırılır (İdem, 1987). Alıcının kaynaktan olan uzaklığını

dalga boyundan büyük olduğu durumlar $r > 6\lambda$ uzak alan, kaynak alıcı uzaklığının küçük olduğu durumlar $0.6\lambda > r$ yakın alan, $6 > r/\lambda > 0.6$ olduğu durumlar ise orta alan olarak kabül edilir (Ercan, 1985).

2.1.2. Yayınım Ortamı

Bir yayınım noktasından bir algılama noktasına kadar dalgalar üç değişik yörunge izleyebilirler (Şekil 3.) ve bu da üç değişik dalga çeşidinin ayırdedilmesine yol açar:

1) **Uzay Dalgası:** İletken bir ortam olmayan aşağı atmosfer elektromanyetik dalga için saydam bir davranış gösterir. Doğru biçiminde bir yörunge izleyerek verici noktasından alıcı noktasına enerji aktarılır. Bazen doğrusal dalga ile topraktan (iletken ortam) yansyan dalga çakisır. Toprak EM dalga için geçirgen olmayan ortam gibi davranır. Dalga ışığın metal üzerinde yansımacı gibi yansır. Bununla birlikte dalganın büyük bir bölümü yansısa bile az bir bölümü topraga sızar ve soğurulur.

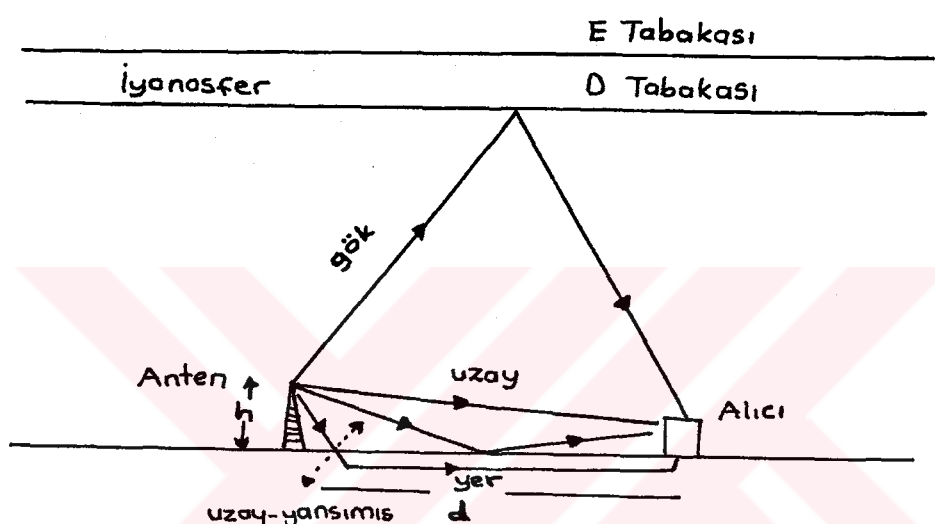
Uzay dalgasından (doğru ve yansyan dalga) kaynaklanan enerji, dalga boyuna, yansımancının niteligi ve antenlerin yerden yüksekliğine bağlıdır.

2) **Yüzey Dalgası:** Kırınım (difraksiyon) olayından kaynaklanır. Dalgaların engellerin çevresini dolaşması da bu kırınım sayesinde gerçekleşir. Bu dalgayla (Şekil 3'de yer dalgası) karşılaşılan engelin her noktası ikinci bir kaynak gibi davranır ve kendi çevresinde her doğrultuda yayın yapar. Yüzey dalgası; verici yakınlarında vericinin gücü, dalga boyu, yer iletkenliğine bağlı olarak değişim gösterir.

3) **Gök Dalgası:** Bazı durumlarda başlangıcta gökyüzüne doğru yayıldıgında yukarı atmosferin bazı tabakalarında yansımaya uğrayan bir dalga alınabilir, bu gök dalgasıdır.

Şekil 3'de EM dalganın anten ve alıcı arasındaki olası yayınım yolları görülmektedir. Antenden 50 km'den az uzaklıkta gök dalgası bileşeni önemsemeyebilir. h elektrik dipol antenin yüksekliğini ve d bir alıcıya olan uzaklığını göstermektedir. Yansıma iyonosferik D tabakası (90 km)

altından olmaktadır. Uzay ve uzay-yansımsız dalgalar $h < 0.05 d$ ise π faz farkı vardır (burada h anten yüksekliği). Gök dalgası yalnız alıcıya olan uzaklık $d > 50$ km ise görülür. Uzay ve uzay-yansımsız dalgaları ise bir kaç km'den daha büyük bütün uzaklıklarda kaybolur (Arslanpay, 1981; Crossley, 1980). Arcone (1979) vericiden 800 km'nin üzerindeki uzaklıklar için ilk gök dalgası "sıkraması"nın (ilk yansımı) VLF alan şiddetinin belirlenmesi için önemli olduğuna işaret etmektedir.



Sekil 3. VLF radyo Dalgaları için olası yayılma yörüngeleri.
(Crossley, 1981).

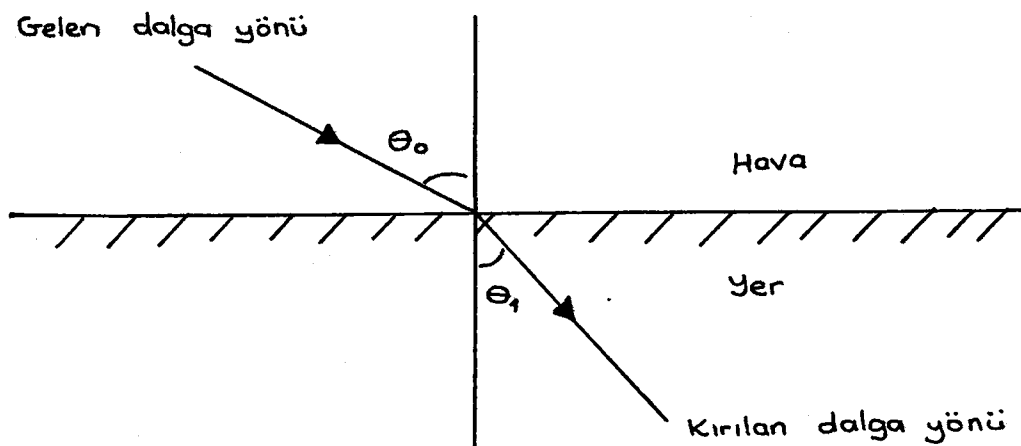
Bir Zenneck dalgası hava yer arayüzeyi üstünde genliğin üstel olarak azalmasıyla karakterize olur. Bu kompleks Brewster açısı olarak bilinen homojen olmayan düzlem dalga geliş açısına eşdeğerdir. Bu durumda herhangi bir yansımış dalga yoktur ve θ_0 kırılma açısından gelen dalga ve θ_1 kırılan dalga arasındaki ilişki,

$$\cos\theta_0 = (\mu_{k_0}/\mu_{k_1}) \cos\theta_1 \quad (3)$$

olup burada k_0 ve k_1 yayının sabitleridir. Stratton (1941) gösterir ki yer iletkenliği arttıkça bu durum gelen ve kırılan dalgayı etkiler ve dalgalar giderek paralel ve arayüze düzey yayılırlar.

Sekil 4'de kritik açıda gelen dalga ve kırılan dalga

sözkonusudur.



Şekil 4. Bir Zenneck yüzey dalgasının yeryüzeyine geliş'i ve diğer ortama aktarılışı (Crossley, 1981)

2.1.3. VLF Radyo Dalgasının Yayınımı

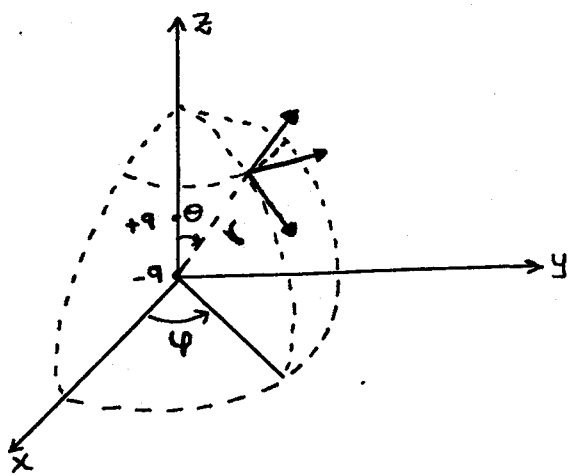
VLF radyo dalgalarının yayını, Hertz dipolü ve düzlem elektromanyetik dalga induksiyonu olarak düşünülebilir. Bu yüzden bu konuların ağırlıklı incelenmesi gerekmektedir.

2.1.3.1. Hertz Dipolü ve İlişkili Kavramlar

Aralarında çok küçük bir l uzaklığı bulunan iki noktaya uygulanmış $+q$ ve $-q$ elektrik yüklerini alalım. Böyle bir düzene Hertz Dipolü adı verilir (Şekil.5). $M=ql$ dipolin momentidir. İki elektrik yükünü birlestiren iletken boyunca akan akım $I=dq/dt$ dir. Elektrik yükleri sinüsoidal değişiyorsa $q=Q_0 \sin \omega t$ aynı şekilde $M=M_0 \sin \omega t$ ve bu durumda

$$I = \omega Q_0 \cos \omega t \quad (4)$$

yazılır. Maksimum moment ise



Sekil 5. Boşlukta, x y z eksen sisteminin başlangıç noktasındaki bir Hertz dipolü (Ataman, 1975).

$$M_o = \frac{I_o l}{\omega} \quad (5)$$

dir. Şimdi bu dipolü (x, y, z) koordinat merkezine ve z ekseni boyunca yerleştirelim (Sekil 5). O noktasından r uzaklığındaki bir P noktasında olacak vektör potansiyelini hesaplayalım (Ataman, 1975). Dipolün kalınlığının olmadığı (çok ince telden yapıldığı) kabul edilirse \vec{A} (potansiyel)'yi veren hacim integrali yerine bu dipol boyunca alınan integral konulabilir. Böylece;

$$\vec{A} = 1/(4\pi) \int_z \vec{I}((t - \frac{z}{v})/r) dz \quad (6)$$

yazılır. Fakat dipol boyunca akımın değeri değişmediğinden $\vec{A} = I \cdot l / 4\pi$ ve I akımını 0_z eksen boyunca aktığından

$$Ax = 0, \quad (7a)$$

$$Ay = 0. \quad (7b)$$

$$A_z = \frac{(I_0 l \cos \omega t (t-r/v))}{(4\pi r)} \quad (7c)$$

olur. Burada l dipolin boyu yada pratikte anten boyu olmak üzere $r \gg l$ olduğundan dipol boyunca alınan integralde r 'nin değişmediği kabul edilmiştir. Öte yandan dipol boşlukta olduğundan v (dalgaının yayınım hızı) = c ($c = 300.000$ km/sn) vektör potansiyelinin küresel koordinatlardaki bileşenlerini bulursak,

$$A_z = A_z \cos \theta = \frac{I_0 l \cos \theta}{4\pi r} \cdot [\cos \omega (t-r/c)] \quad (8a)$$

$$A_\theta = A_z \sin \theta = \frac{-I_0 l \sin \theta}{4\pi r} \cdot [\cos \omega (t-r/c)] \quad (8b)$$

$$A_\phi = 0 \quad (8c)$$

olur. Öte yandan manyetik alan $\vec{H} = \nabla \vec{A}$ olduğundan bileşenler,

$$H_r = \frac{1}{r \sin \theta} \left[\left(\frac{\partial}{\partial \theta} (\sin \theta A_\phi) - \frac{\partial A_\theta}{\partial \phi} \right) \right] \quad (9a)$$

$$H_\theta = \frac{1}{(r \sin \theta)} \frac{\partial A_r}{\partial \phi} - \frac{1}{r} \frac{\partial (r A_\phi)}{\partial r} \quad (9b)$$

$$H_\phi = \frac{1}{r} \left[\frac{\partial (r A_\theta)}{\partial r} - \frac{\partial A_r}{\partial \theta} \right] \quad (9c)$$

yazılır. $A_\phi = 0$ ve Ar ile A_θ, ϕ den bağımsız olduklarından iki bileşen sıfırda eşittir. $H_r = 0, H_\theta = 0$ olduğundan, $\partial(r A_\theta)/\partial r$ ve $\partial A_r/\partial \theta$ 'yı hesaplayıp H_ϕ bağıntısında yerine koyarsak;

$$H_\phi = \frac{I_o l \sin\theta}{4\pi} \left[\frac{\cos\omega(t-r/c)}{r^2} - \frac{\omega \sin\omega(t-r/c)}{rc} \right] \quad (10)$$

elde edilir. Elektrik alanın değeri ise,

$$\mathbf{E} = -\nabla V - \mu \partial \mathbf{A} / \partial t \quad (11)$$

olduğu bilinir (Ataman, 1975). P noktasında iletkenlik akımı bulunmadığından;

$$\nabla H = \epsilon \left(\frac{\partial \mathbf{E}}{\partial t} \right) \quad (12)$$

olduğu için

$$\mathbf{E} = \frac{1}{\epsilon} \int \nabla H dt \quad (13)$$

olarak hesaplanır. Böylece elektrik alan bileşenleri;

$$E_r = \frac{2I_o l \cos\theta}{4\pi\epsilon} \left[\frac{\sin(t-r/c)}{\omega r^3} + \frac{\cos(t-r/c)}{r^2 c} \right] \quad (14a)$$

$$E_\theta = \frac{I_o l \sin\theta}{4\pi\epsilon} \left[\frac{\sin\omega(t-r/c)}{\omega r^3} + \frac{\cos\omega(t-r/c)}{r^2 c} - \frac{\omega \sin\omega(t-r/c)}{rc^2} \right] \quad (14b)$$

$$E_\phi = 0 \quad (14c)$$

olarak elde edilir. Eksenel simetri dolayısıyla elde edilen alan ϕ 'den bağımsızdır (Ataman, 1985). Görüldüğü gibi alanların sırasıyla $1/r$, $1/r^2$, $1/r^3$ şeklinde uzaklığa bağımlılık gösteren üç terimin toplamından oluşmaktadır. Bu bileşenlerin anımları ise;

(1) r ile ters orantılı kısım "isıma" (radyasyon) alanıdır. Bu terimle ilişkili olan elektromanyetik alan büyük uzaklıklara (binlerce km) yayının yapar ve gemiler denizaltılar için bir iletişim sistemi kurulmasında kullanılır.

(2) $1/r^2$ ile orantılı kısım "indüksiyon" alanı denir. Bu

kısım alçak frekanslarda görülen alandır. Antenden en çok 10 km uzaklıklarda önemlenebilir.

(3) r^3 ile ters orantılı kısmında ise elektrik alan bileşenlerinde vardır. Bu kısım statik alan olup zamanla değişmeyen yükler dikkate alındığında elde edilen alanın benzeridir. Bütün jeofizik araştırmalarında bu bileşen ihmal edilebilir.

Küçük uzaklıklarda statik alan ve induksiyon alanı baskındır. Fakat, $r > c/w$ olduğu zaman ışma alanı daha büyük olur. Bu durumda dipolden yeteri kadar uzaklıkta yalnızca $1/r$ ile orantılı ışma alanı (1) bulunacak ve diğerleri bunun yanında ihmal edilecektir. Bu alanın bileşenleri;

$$E_r = 0 \quad (15a)$$

$$E_\theta = -\frac{\omega I_0 l \sin \theta}{4\pi r c^2 \epsilon} \sin \omega(t - r/c) \quad (15b)$$

$$H_\theta = 0 \quad (15c)$$

$$H_r = 0 \quad (15d)$$

$$H_\phi = 0 \quad (15e)$$

$$H_\phi = \frac{\omega I_0 i \sin \theta}{4\pi r c} \sin \omega(t - r/c) \quad (15f)$$

olur. Bu durumda dipolin H_ϕ yayınıma dik yönde E_θ bileşeni vardır. Bunların boşluktaki oranı dalga direntisi (empedansı) olup $\mu_o = 1.26 \times 10^{-6}$ ve $\epsilon_o = 8.85 \times 10^{-12} F/m$ olmak üzere,

$$Z = E_\theta / H_\phi = 1/c \epsilon_o = 376 ohm \quad (16)$$

olur (Crossley, 1981). Elektromanyetik dalgalar için birim alandan birim zamandaki toplam enerji akışı ilk kez Poynting tarafından incelenmiştir. E.J birim hacim başına tüketilen (m^3 başına watt) gücün boyutlarına sahiptir (Stratton, 1941). ikinci Maxwell denkleminde E.J oluşturursak,

$$\vec{E} \cdot \nabla \times \vec{H} - \vec{E} \cdot (\partial \vec{D} / \partial t) = \vec{E} \cdot \vec{J} \quad (17)$$

elde edilir. Benzer şekilde birinci maxwel denklemini \vec{H} ile çarparsak,

$$\vec{H} \cdot \nabla \times \vec{E} + \vec{H} \cdot (\partial \vec{B} / \partial t) = 0 \quad (18)$$

elde edilir. bu iki denkleme aşağıdaki (19) vektör eşitliğini uygularsak,

$$\nabla \cdot (\vec{E} \times \vec{H}) = \vec{H} \cdot \nabla \vec{E} - \vec{E} \nabla \times \vec{H} \quad (19)$$

$$\nabla \cdot (\vec{E} \times \vec{H}) + \vec{E} \cdot \vec{J} = -\vec{E}(\partial \vec{D} / \partial t) - (\vec{H} \partial \vec{B} / \partial t) \quad (20)$$

elde edilir. Bu diferansiyel denklemi çözersek (Stratton, 1941)

$$\int_s (\vec{E} \times \vec{H}) nda + \int_v (\vec{E} \cdot \vec{J} dv) = \int_v (\vec{H}(\partial \vec{D} / \partial t) + \vec{H}(\partial \vec{B} / \partial t)) dv \quad (21)$$

sonucuna ulaşırız. Bu sonuç ilk kez Poynting tarafından türetilmiştir. Burada $E \times H$ birim zamanda, birim alandan toplam enerji akışı olarak tanımlanır. Denklemin sağ yanı hacim içinde depolanan manyetik ve elektrik enerjinin azalış oranı (zamanla ısuya dönüşen enerji) olarak belirtilir. Sol taraftaki terimlerle mevcut depolanan enerji kaybı sınırlanır. Böylece,

$$\int_s S nda = \int_s (\vec{E} \times \vec{H}) nda \text{ 'dan Poynting vektörü}$$

$$\vec{S} = \vec{E} \times \vec{H} \quad (\text{watt/m}^2) \quad (22)$$

yada bunu biraz açarsak.

$$\vec{S} = Re(\vec{E}) \times Re(\vec{H}) = 1/2 Re(\vec{E} \times \vec{H}^*) \quad (23)$$

(H^* imajinel olmak üzere) elde edilir (Stratton, 1940). Eğer biz anteni etkin yayınma gücü P ile ifade edersek, o vakit merkezi anten olan bir yarımküre için,

$$P = \int_0^{2\pi} \int_0^{\pi/2} \tilde{S} r^2 \sin\theta d\theta dr \quad (24)$$

olur. Ayrıca Crossley (1981), S'yi

$$S = 1/2 \sqrt{\epsilon_0 / \mu_0} \quad (25)$$

olarak vermektedir. (24) denkleminde integral alırsak sonuçta,

$$P = 2\pi S r^2 \quad (26)$$

buluruz. (16) ve (25) denklemelerini (26) denkleminde yerine koyarsak ve E_θ 'yi P akış gücüne bağlı olarak çekersek,

$$E_\theta = \frac{Px376.7}{\pi r^2} \quad (27)$$

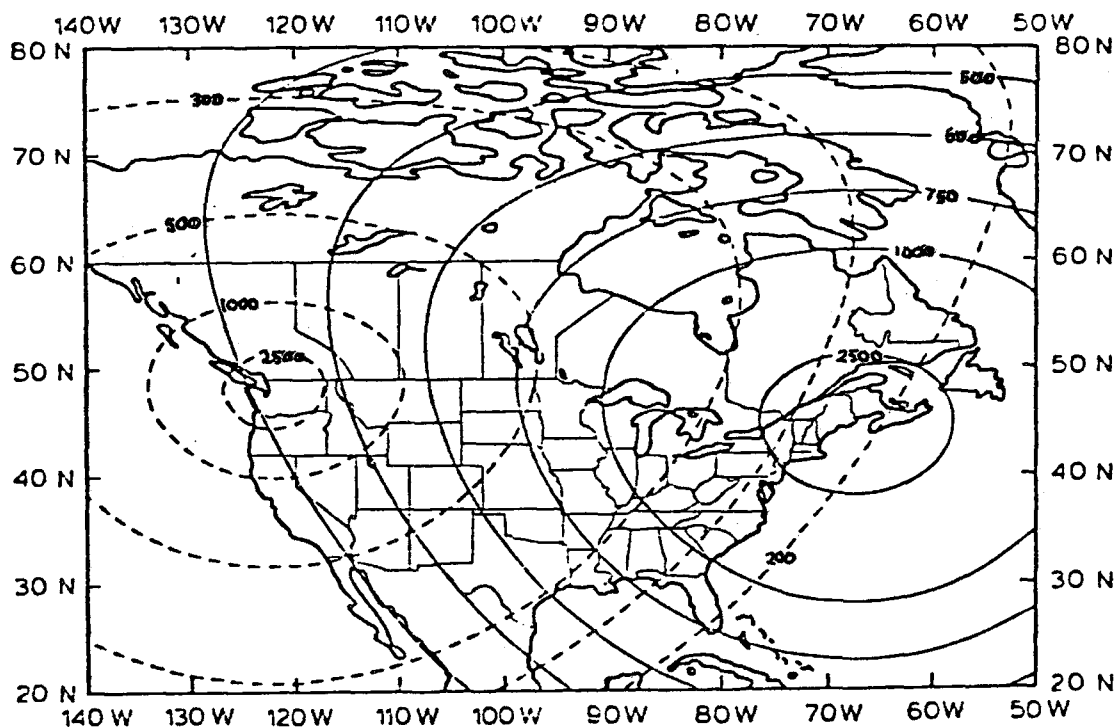
ifadesine ulaşırız. Biz, r'yi herhangi bir arazi noktası (l, L) ile (l_0, L_0) enlem ve boylamındaki bir anten arasındaki en büyük daire uzaklığı olarak alırsak değeri,

$$r = Rx \arccos(Sin l Sin l_0 + Cos l Cos l_0 Cos(L - L_0)) \quad (28)$$

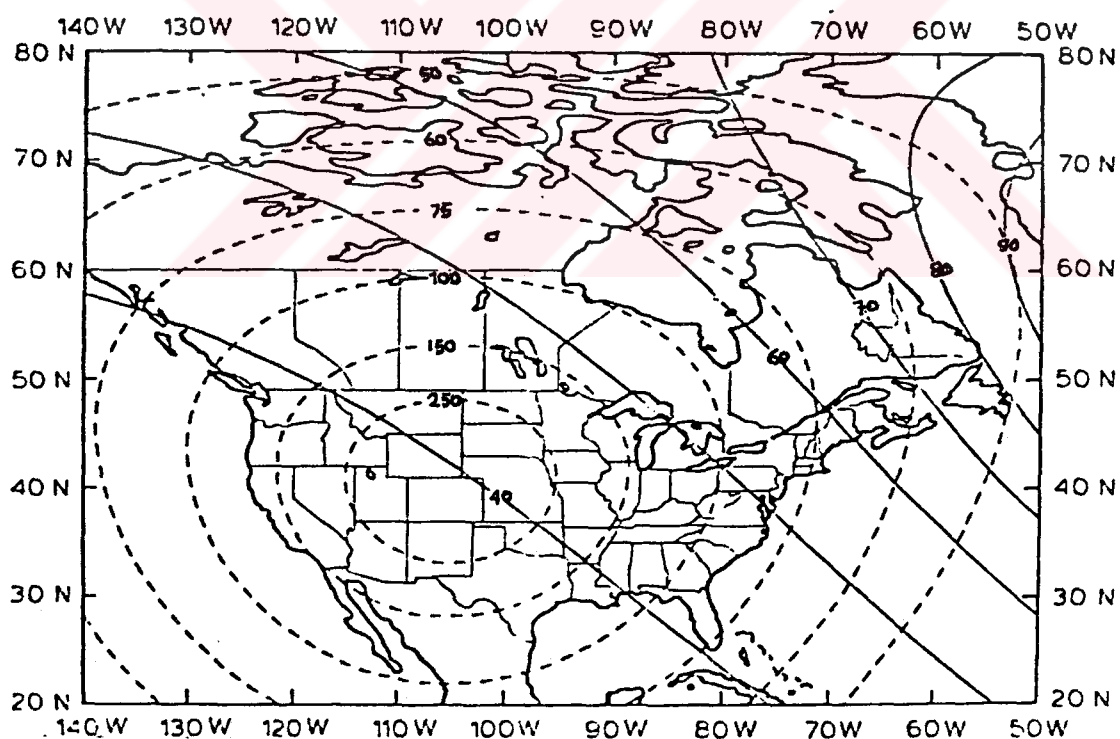
olarak verilir. Burada R yerkürenin ortalama yarıçapıdır ve enlem ile boylam ekvatorun güneyinde ve Greenwich'in doğusunda ise eksi değerli olarak hesaba katılır.

Bir örnek olarak, Kuzey Amerika'daki iki VLF istasyonu (Cutler, Maine ve Jim Creek, Washington) için E_θ 'nın

konturları Şekil.6'de gösterilmiştir. Sürekli yayında bulunan uygun VLF vericilerin kısa bir listesi ise Çizelge.1'de gösterilmiştir. İki LF istasyonu için (WWVB, Fort Collins, Colorado ve MSF Rugby İngiltere) benzer verileri ise Şekil.7'de gösterilmiştir. E alanı için yukarıdaki (3.1.6) bağıntısı yer direncinin artışı ile yer içine yayılan dalga enerjisinin de artışını dikkate almaz. Sonuç olarak Şekil.7 ve 8'de elektrik alan şiddeti 0.33 katsayılarıyla çarpılmış olup WWVB için 100 v/m eğrisinin kuramsal ve arzide ölçülmüş yerleri arasında bir uyum sağlanmıştır (Kamas, 1977). Şekil.6



Sekil 6. İki VLF istasyonu (17.8 kHz, düz çizgi Cutler, Maine; 18.6 kHz, kesikli çizgi Jim Creek, Washington) için eş elektrik alan şiddeti egrileri.



Sekil 7. İki LF istasyonu için (6 kHz, kesikli çizgi Fort Collins, Colorado ve 60 kHz, düz çizgi, Rugby Ingiltere) eş elektrik alan egrileri.

Yüzeydeki yüzey dalgası direnci ölçümü için VLF ve LF istasyonları (Crossley, 1981)

VLF İstasyonları	Frekans (kHz)	Radyan Boyu (km)	Dalga Boyu (km)	Güç (kw)	Enlem	Boylam
FVO, Bordeaux, Fransa	15.1	19.9	500	+44° 50'	+0° 34'	
GBR, Rugby, Ingiltere	16.0	18.8	750(a) 60(b)	+52° 20' 350	+1° 11'	
JXZ, Heligoland, Norveç	16.4	18.3	1000	+55° 19'	-38° 41'	
JMS, Moscova, S.S.C.B.	17.1	17.5	50	+32° 58'	-13° 1'	
NDT, Japan	17.4	17.2	2000(a)	+44° 38'	+6° 16'	
NAA, Cutler, Maine	17.8	16.9	1000(b)			
NLK, Jim Creek, Washington	18.6	16.1	1200(a) 250(b)	+48° 12'	+121° 55'	
NSS, Annapolis, Maryland	21.4	14.0	85(b)	+38° 59'	+7° 27'	
NWC, Exmouth, Australia	22.3	13.4	1000	-21° 48'	-114° 9'	
NPM, Lualualei, Hawaii	23.4	12.8	1000(a)	+21° 25'	+158° 9'	
LF İstasyonları	Frekans (kHz)	Radyan Boyu (km)	Dalga Boyu (km)	Güç (kw)	Enlem	Boylam
JG2AS, Chiba, Japonya	40.0	7.5	5(a)	+35° 38'	-140° 4'	
CMA, Podebrady, Çekoslovakya	50.0	6.0	+50° 9'	-15° 8'		
RTZ, İrkutsk, S.S.C.B.	50.0	6.0	+52° 18'	-104° 18'		
MSF, Rugby, England	60.0	5.0	+52° 22'	+1° 11'		
WWVB, Fort Collins, Colorado	60.0	5.0	+40° 40'	+105° 3'		
RBU, Moscova, S.S.C.B.	66.67	4.5	+55° 19'	-38° 41'		
HBC, Parangins, İsviçre	75.0	4.0	+46° 24'	-6° 15'		
DCF77, Mainflingen, Almanya, FDR	77.5	3.9	38(a)	+50° 1'	-9° 0'	
NSS, Annapolis, Maryland	88.0	3.4	+38° 59'	+76° 27'		
FTA91, St. Andre-de-Corcy, Fransa	91.15	3.3	+45° 55'	-4° 55'		

(a) Anten gücü

(b) Etkin yayınma (radiyasyon) gücü

ve 7'de alan siddeti yalnızca yaklaşık olarak verilmekle birlikte egriler alan yönelimini her durumda iyi bir şekilde gösterirler. Çizelge 1'de ise yüzey dalgası direnti ölçümleri için kullanılabilir VLF ve LF istasyonlarının listesi görülmektedir.

2.1.3.2. Düzlem Elektromanyetik Dalga İndüksiyonu

Elektromanyetik dalgaların yayınımını jeofizik açıdan açıklayacak olan denklemlerle başlayalım. Coğu kez yer, her biri içinde elektrik ve manyetik özelliklerin değişmedigi homojen, izotrop materyallerden oluşan bölünmüş düsey ve yatay tabakalardan oluşuyormuş gibi düşünülür.

Günümüzde bir EM alan E, B, D, H, ve J den oluşan 5 (beş) vektör ortamında tanımlanır. Bu vektörler Maxwell bağıntıları olarak bilinen şu dört difaransiyel bağıntıyı gerçekler:

$$\nabla \times \vec{E} + \frac{\partial \vec{B}}{\partial t} = 0 \quad (29)$$

$$\nabla \times \vec{H} - \frac{\partial \vec{D}}{\partial t} = \vec{J} \quad (30)$$

$$\nabla \cdot \vec{B} = 0 \quad (31)$$

$$\nabla \cdot \vec{D} = \rho_q \quad (32)$$

(Stratton,1940; sayfa:2). SI birim sisteminde bu alan nicelikleri; E elektrik alan siddeti (V/m), B manyetik induksiyon (tesla,T), H manyetik alan siddeti (A/m), D elektrik yerdeğistirme (c/m²) ve J yüzey akım yoğunluğu (A/m²).

Homojen izotrop ortamlarda şu ek bağıntılarda sağlanır;

$$\vec{D} = \epsilon \vec{E} \quad (33)$$

$$\vec{B} = \mu \vec{H} \quad (34)$$

$$\vec{J} = \sigma \vec{E} \quad (35)$$

Burada, ϵ = dielektrik geçirgenlik (F/m); μ = manyetik geçirgenlik (H/m) ve σ = elektriksel iletkenlik (S/m) dir. Eğer ortam yönbağımlı ise, ozaman bu ortam nicelikleri tensördür ve doğrusal olmayan durumlarda karmaşık olarak hesaplanır.

(29) Maxwell denkleminin her iki tarafını rotasyonelini alırsak,

$$\nabla \times (\nabla \times \vec{E}) = -\frac{\nabla \times \partial \vec{B}}{\partial t} \quad (36)$$

ve (34) eşitliği hatırlanırsa,

$$\nabla \times (\nabla \times \vec{E}) = -\mu \frac{\partial}{\partial t} (\nabla \times \vec{H}) \quad (37)$$

elde edilir. (30) Maxwell denkleminde, (33) ve (35) nolu bağıntılar yerine konularak aşağıdaki biçimde sonuca ulaşırız;

$$\nabla \times \vec{H} = \sigma \vec{E} + \epsilon \frac{\partial \vec{E}}{\partial t} \quad (38)$$

Bu ifade (37) de yerine konulursa,

$$\nabla \times (\nabla \times \vec{E}) = -\mu \frac{\partial}{\partial t} (\sigma \vec{E} + \epsilon \frac{\partial \vec{E}}{\partial t}) \quad (39)$$

bulunur. Burada,

$$\nabla \times (\nabla \times \vec{E}) = \nabla (\nabla \cdot \vec{E}) - \nabla^2 \vec{E} \quad (40)$$

vektörel eşitliği kullanılarak,

$$\nabla(\nabla \cdot E) - \nabla^2 E = -\mu\epsilon \frac{\partial^2 E}{\partial t^2} - \mu\sigma \frac{\partial E}{\partial t} \quad (41)$$

olur. (32 ve 33) kullanılarak,

$$\nabla \cdot E = \frac{\rho q}{\epsilon} \quad (42)$$

yazılabilir. Göstermek mümkündür ki serbest uzayda veya iletken bir ortamda ρq serbest yük dağılımı uygulanan alan dağılımından bağımsızdır ve sıfırda eşit alınabilir. Bu durumda (41) bağıntısı

$$\nabla^2 E = \mu\epsilon \frac{\partial^2 E}{\partial t^2} + \mu\sigma \frac{\partial E}{\partial t} \quad (43)$$

olarak elde edilir. Maxwell denklemlerinden H yerine E giderilirse benzer biçimde,

$$\nabla^2 H = \mu\epsilon \frac{\partial^2 H}{\partial t^2} + \mu\sigma \frac{\partial H}{\partial t} \quad (44)$$

elde edilir ki (43) ve (44) denklemleri vektörel biçimde genel dalga denklemleridir.

Periyodik E elektrik ve H manyetik alan değişimleri zamana bağlı olarak,

$$A = A(x, \omega) e^{i\omega t} \quad (45)$$

şeklinde ifade edilebilir.

(43) ve (44) denklemlerinde bunların türevleri yerine konulursa,

$$\nabla^2 E = i\mu\sigma\omega E - \epsilon\mu\omega^2 E \quad (46)$$

$$\nabla^2 H = i\mu\sigma\omega H - \epsilon\mu\omega^2 H \quad (47)$$

birimine dönüşür. Burada,

$$k^2 = i\omega\mu\sigma + \omega^2\epsilon\mu \quad (48)$$

her iki denklemde yerine konularak,

$$\nabla^2 \vec{E} = k^2 \vec{E} \quad (49a)$$

$$\nabla^2 \vec{H} = k^2 \vec{H} \quad (49b)$$

elde edilir.

Yukarıda anlatılan gelişme ile (29) ve (30) denklemleri,

$$\vec{H} = \frac{1}{i\omega\mu} \nabla \times \vec{E} \quad (50)$$

$$\vec{E} = \frac{1}{\sigma + i\omega\epsilon} \nabla \times \vec{H} \quad (51)$$

olarak basitleştirilebilir. Ei elektrik alan bileşeninin H_i ($i, j = x, y, z$) manyetik alan bileşenine oranı karmaşık tensör bir nicelik olup, dalga direntisi olarak bilinir:

$$Z_{ij} = \frac{E_i}{H_j}$$

Z_{ij} 'nin genlik ve fazı, ortamın elektrik özelliklerinin bir göstergesidir. İlişki kurulan diğer bir nicelik dalga eğimi olup, dalganın elektrik yada manyetik yatay ve düşey bileşenlerinin oranı olarak açıklanır:

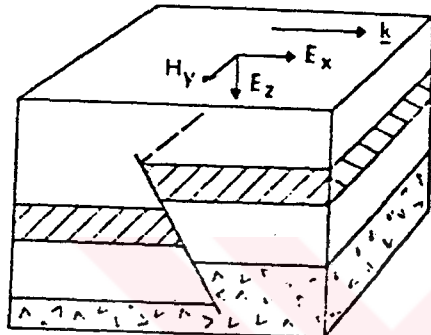
$$\alpha_{ix} = \frac{E_i}{E_x} \quad \text{yada} \quad \frac{H_i}{H_x} \quad (53)$$

burada ($i = x, y$)'dir.

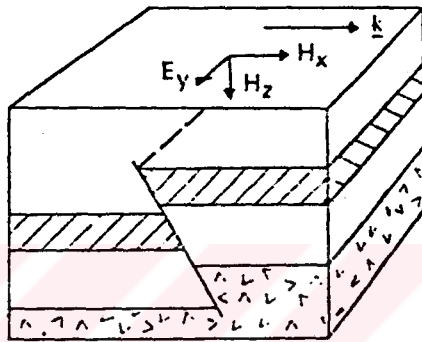
Elektrik alan bileşenleri jeolojik uzanıma dikse "H Polarizasyonu, E dik" denir veya paralelse "E Polarizasyonu, E paralel" denir. Şekil.8'da daha önce gösterildiği gibi MT tepkiler her iki polarizasyondan oluşabilirler, oysa önceki bölümde incelenen bağıntıların

isaret ettiği gibi herhangi bir düşey elektrik dipolün VLF-LF sinyalleri sadece H polarizelidir.

H ve E polarizasyonun daha iyi anlaşılması için aşağıdaki vektörel ilişkilerden yararlanılır. Herhangi bir



a) H polarizasyon



b) E polarizasyon

Sekil 8. Ölçülen elektrik alanın jeolojik doğrultuya dik ve paralel olması durumunda EM alan bileşenleri (Crossley, 1981).

düzlem dalga TE (sadece yatay elektrik alanı yani E paralel) veya TM (sadece yatay manyetik alanı yani E dik) modlarında ayrı ayrı incelenebilir. Alan bileşenleri H polarizasyon (E dik) için:

$$H_x = H_z = 0$$

(50) denkleminin her iki tarafının rotasyonelini alırsak (İlkışık, 1980),

$$\nabla \times (\nabla \times \vec{H}) = \nabla \times (\sigma + i\omega\epsilon) \vec{E} \quad (54a)$$

$$= \vec{i} \left(\frac{\partial H_x}{\partial y} - \frac{\partial H_y}{\partial z} \right) - \vec{j} \left(\frac{\partial H_z}{\partial x} - \frac{\partial H_x}{\partial z} \right) + \vec{k} \left(\frac{\partial H_y}{\partial x} - \frac{\partial H_x}{\partial y} \right) \quad (54b)$$

$$-\frac{\partial H_y}{\partial z} \vec{I} + \frac{\partial H_y}{\partial x} \vec{K} = (\sigma + i\omega\epsilon) (\vec{I}E_x + \vec{J}E_y + \vec{K}E_z) \quad (54c)$$

olur. Bu durumda;

$$E_x = -\frac{1}{\sigma + i\omega\epsilon} \frac{\partial H_y}{\partial z} \quad (55a)$$

$$E_z = \frac{1}{\sigma + i\omega\epsilon} \frac{\partial H_y}{\partial x} \quad (55b)$$

$$E_y = 0 \quad (55c)$$

$$\vec{E} = E_x \vec{I} + E_z \vec{K} \quad (55d)$$

$$\left(\frac{\partial^2}{\partial x^2} + \frac{\partial^2}{\partial z^2} \right) H_y = k^2 H_y \quad (55e)$$

olur. Ayrıca ve E polarizasyonu için, (51) denkleminin her iki tarafının rotasyonelini alırsak,

$$-i \frac{\partial \epsilon}{\partial z} Y + K \frac{\partial \epsilon_y}{\partial x} = -i \omega \mu (iH_x + jH_y + KH_z) \quad (56)$$

elde ederiz. Bu durumda,

$$\vec{H} = H_x \vec{I} + H_z \vec{K} \quad (57a)$$

$$\left(\frac{\partial^2}{\partial x^2} + \frac{\partial^2}{\partial z^2} \right) E_y = k^2 E_y \quad (57b)$$

$$H_x = \frac{1}{i\omega\mu} \frac{\partial E_y}{\partial z} \quad (57c)$$

$$H_z = \frac{1}{i\omega\mu} \frac{\partial E_y}{\partial x} \quad (57c)$$

$$H_y = 0 \quad (57d)$$

(55) ve (57) denklemlerinin çözümünden, TE modu için,

$$k_z E_y = -i\omega \mu H_x \quad (58a)$$

$$-k_x E_y = -i\omega \mu H_z \quad (58b)$$

TM modu için ise,

$$k_z H_y = (\sigma + i\omega) E_x \quad (59a)$$

$$k_x H_y = (\sigma + i\omega) E_z \quad (59b)$$

bulunur. Her iki mod için empedanslar (58a) ve (59a) denklemleri kullanılarak ve VLF uygulamalarında $kz=k$ varsayımyla,

$$Z_{dik} = Z_{paralel} = \sqrt{\frac{i\omega \mu}{\sigma}} \quad (60)$$

ya da direntinin fonksiyonu olarak ortamın özdirenci,

$$\rho = \frac{1}{\mu \omega} |Z|^2 \quad (61)$$

olur. Buradan bulunacak ρ belirli bir frekansta tek düzeye ortam için gerçek özdirenci, heterojen ortamlarda ise nufuz derinliğine kadar olan bölgenin görünür özdirencini verecektir. Denklemdeki sabitler SI birim sisteminde yerine konduğunda (61) eşitliği,

$$\rho_a = 0.2 T \left| \frac{E_y}{H_x} \right|^2 \quad (62a)$$

biriminde yazılabilir (burada ρ_a görünür özdirenç, ω açısal frekans, μ manyetik geçirgenlik, Z ortamın direntisidir) ve fazı,

$$\phi = \tan^{-1} \left| \frac{\text{Im}(E_y/H_x)}{\text{Re}(E_y/H_x)} \right| \quad (62b)$$

olup H_y 'nin E_x den geri kalma miktarıdır.

Bundan sonraki adım H_y yada E_x alan bileşenlerinin her biri için çözüm aramaktır. Kartezyen koordinat sisteminde skaler Helmholtz denkleminin en genel çözümü;

$$(\nabla^2 - k^2)\phi = 0 \quad (63)$$

olup

$$\phi = (C_1 e^{-uz} + C_2 e^{uz}) (C_3 e^{-lx} + C_4 e^{lx}) \quad (64)$$

esittir. (63) denklemini biraz açarsak;

$$\nabla^2\phi = +k^2\phi \quad (65)$$

olur. Bu denklemin çözümü sonucunda

$$\vec{E} \text{ veya } \vec{H} = (H_o \cdot \text{veya} \cdot E_o) e^{i(ut+kz)} \quad (66)$$

Kaynaktan uzaklıktıkça siddet azalacağı için Z aşağı doğru (+) seçilerek e^{-kz} gerçek çözüm aranır (İlkişik, 1987).

Burada u ve l sırasıyla yatay ve düşey dalga sayıları olmak üzere, $u^2 + l^2 = k^2$ 'ye esittir. Gene biz $\operatorname{Re}(u) > 0$ ve $\operatorname{Re}(l) > 0$ kabul etmekteyiz. (55) ve (57) den yararlanarak;

$$H_y = (A e^{-uz} + B e^{uz}) e^{-lx} \quad (67a)$$

$$E_y = (A e^{-uz} + B e^{uz}) e^{-lx} \quad (67b)$$

yazabiliriz. Bunlar H ve E polarizasyon için en genel çözümüdür.

Sınır Koşulları

Sınır koşulları altında A ve B sabitleri belirlenir. Tegetsel E ve H bileşenleri sınırda sürekliidir;

$$\vec{n} \times (\vec{E}_2 - \vec{E}_1) = 0 \quad (68)$$

(arayüzeye teget elektrik alan sürekliidir) ve

$$\vec{n} \cdot (\mu \vec{H}_2 - \mu \vec{H}_1) = 0 \quad (69)$$

(arayüzeye dik manyetik alan sürekliidir) ve tegetsel H ile dik D arasındaki koşullara J de katılarak (J_q = olası akım yoğunluğu, ρ_q = yüzey yük yoğunluğu olmak üzere);

$$\vec{n} \times (\vec{H}_2 - \vec{H}_1) = \vec{j}_q \quad (70)$$

$$\vec{n} \cdot (\vec{D}_2 - \vec{D}_1) = \rho_q \quad (71)$$

olur. (1) ve (2) indisleri farklı iki ortamı ve n ise yüzeye dik birim vektörü gösterir. Her iki ortam sonlu iletkenlige sahip olduğundan J_q 'in kayboldugunu Stratton(1941) anlatır. Öte yandan ortam dielektrik olduğundan serbest yük yoğunluğu ρ_s de kaybolur (Lorrain ve Carson, 1970).

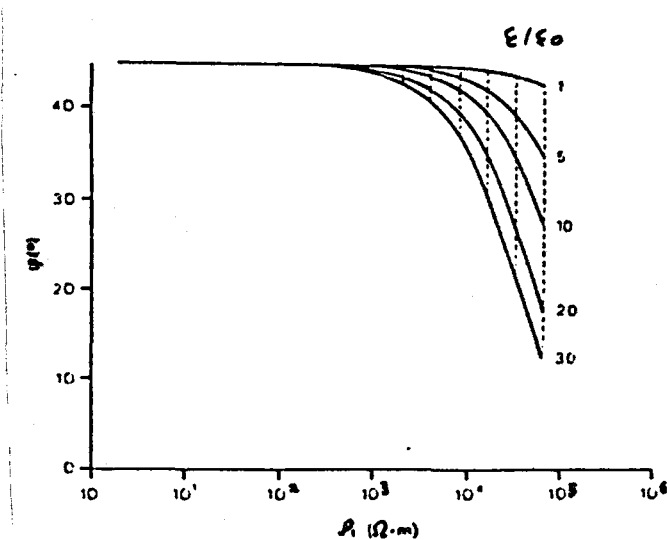
2.1.4. Yerdeğistirme Akımlarının Etkileri

ρ_a ve ϕ için bağıntılar türetilirken (bak. Bölüm 3.1.3.) çözümü basitleştirmek için yerdeğistirme akımları ihmal edilir. Sözü edilen konu frekansın < 5 kHz olduğu durumlar için makul görülebilir. Frekans arttıkça yayının (48) denkleminde $\omega^2 \epsilon \mu$ 'lu terimin ($\omega = 2\pi f$) etkisini arttırır.

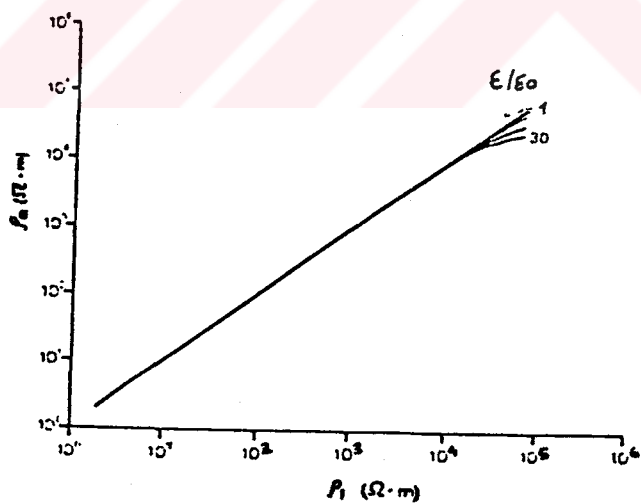
Kuramsal olarak yerdeğistirme akımlarını içeren terimin eklenmesi yayının denklemini değiştirir ve yayının sabiti aşağıdaki denklemlerden oluşur:

$$k = \pm \sqrt{i\omega \mu \sigma - \omega^2 \epsilon \mu} \quad (72)$$

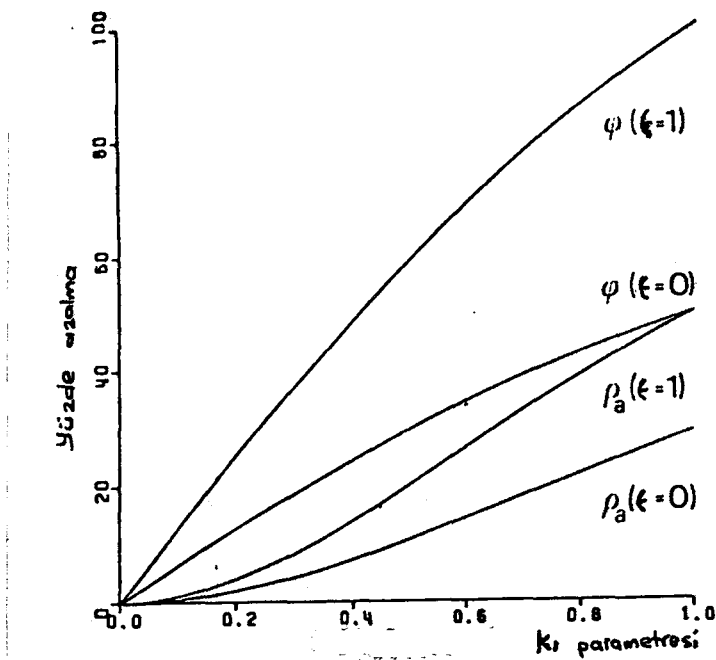
Dielektrik sabitlerin değişik değerleri ve homojen yer için özdirencin fonksiyonu olarak faz açısı değerleri Şekil 9 da ve görünür özdirencin ortam özdirencine bağlı değişimi Şekil



Şekil 9. Dielektrik sabitin değişik değerleri ve homojen yer için özdirencin fonksiyonu olarak faz açısının değerleri (Jones ve Telford, 1981)



Şekil 10. Dielektrik sabitinin değişkenliğine bağlı olarak görünür özdirencin ortam özdirenciyle değişimi



Sekil 11. Dielektrik sabitin değişik değerleri için ortam özdirenciyle görünür özdirencin değişimi.

10 da görülmektedir. Bu grafikler dielektrik sabitin farklı değerlerinden faz açısının daha çok etkilendigini göstermektedir. Daha ayrıntılı bilgi Crossley (1981) de bulunabilir. Ayrıca $\epsilon = 0$ ve 1 'in her iki değeri için $k_1 = \omega^2 \epsilon_1 p_1$ 'in bir fonksiyonu olarak ρ_a ve ϕ deki azalma

Sekil.11 de görülmektedir. Burada k_1 çok katmanlı bir ortamda ilk katmandaki dielektrik sabite, özdirence ve açısal frekansa bağlı yayınım sabitidir. $\phi(\epsilon=1)$ eğrisinden de görüleceği gibi ortamın dielektrik özelliklerine faz açısı (ϕ), görünür özdirenç (ρ_a) dan daha duyarlıdır. Ortamın dielektrik özellikleri ile de ilişkili yayınım sabiti k_1 arttıkça ϕ de azalma özdirence göre daha fazla olmaktadır. Bu ilişki yaklasık ifadelerle aşağıdaki gibi verilir (Crossley,1981):

$$\rho_a = \rho_1(1-k_1) ,$$

$$\phi = \pi/4 - k_1 .$$

Bu formüllerle de yukarıdaki fiziksel sonuca ulaşabiliriz.

2.1.5. Nüfuz Derinliği

Dalga bir boşlukta değil de sonlu bir iletkenlige sahip kayaçlar içinde ilerliyorsa elektromanyetik dalganın genliğinin derinlikle üstel bir şekilde azaldığı görülür (bak bölüm 2.1.3.2. Düzlem Elektromanyetik Dalga İndüksiyonu). Bu deri olayı olarak bilinir. (48) denkleminde k^z 'nin ikinci terimini ihmal ettigimizde,

$$k = (i\omega\mu\sigma)^{\frac{1}{2}} \quad (73)$$

buradan da,

$$k = \left(\frac{\omega\mu\sigma}{2}\right)^{\frac{1}{2}} (1+i)$$

yazarsak

$$k = \left(\frac{\omega\mu\sigma}{2}\right)^{\frac{1}{2}} + i \left(\frac{\omega\mu\sigma}{2}\right)^{\frac{1}{2}}$$

$$|k| = (\omega\mu\sigma)^{\frac{1}{2}} \quad (74)$$

olur. Bu denklem EM dalga genliğinin derinlikle üstel olarak azaldığını göstermektedir. Elektromanyetik alan şiddetinin başlangıç değerinin $1/e$ katına indirgendiği değere nüfuz derinliği denir.

$$-1 = -k.z$$

$$\frac{1}{|k|} = z = d$$

kabul ederiz ve sonuçta sabit değerler yerine konduğunda;

$$d = 503.3 \left(\frac{\rho}{f}\right)^{\frac{1}{2}} \quad (m) \quad (75)$$

olarak nüfuz derinliği bağıntısına ulaşırız. Çizelge 2'de Türkiye'ye yakın VLF istasyonlarının frekansları kullanılarak

nüfuz derinlikleri çeşitli özdirenç değerleri için hesaplanmıştır.

Çizelge 2. Türkiye'da kullanılabilecek VLF istasyonlarının çeşitli özdirenç değerleri için nüfuz derinlikleri (Yerdeğiştirme akımları dikkate alınmamıştır).

VLF İstasyonu	Frekans (kHz)	Özdirenç (ohm.m)	Nüfuz Derinliği (m)
FVO, BORDEAUX	15.1	10	12.9
		100	40.9
		1000	129.4
		10000	409.0
		100000	1294.0
GBR, RUGBY	16.0	10	12.5
		100	39.7
		1000	125.7
		10000	409.0
		100000	1294.0
JXZ, HELGOLAND	16.4	10	12.4
		100	39.2
		1000	124.2
		10000	392.7
		100000	1242.0
JMS, MOSKOVA	17.1	10	12.1
		100	38.4
		1000	121.6
		10000	384.6
		100000	1216.3

III. BULGULAR

3.1. VLF Yönteminde Modelleme

Jeofizik problemlerin çözümünde genel erek, yer içini yada bir jeofizik belirtiye neden olan kaynağı modellemeye çalışmaktadır (Canitez, 1992).

Ister tanımsal olsun ister stokastik jeofizikte modellemede problem çözümü iki yönlüdür. Bunlardan birincisinde jeolojik modelin vereceği jeofizik belirti hesaplanmaya çalışılır. Bu yaklaşım düz problem (forward) çözümü olarak bilinir. İkinci yaklaşımda ise bu jeofizik belirtiden kalkarak jeolojik modelin parametreleri bulunmaya çalışılır. Bu ters problem (invers) çözümüdür.

Düz problem çözümlerinde amaç, yapılacak tasarılanan ortamın tepkisini saptamaktır. Analitik çözümler düz problem çözümünün bir alt dalıdır. Ayrıca sayısal modelleme de diğer bir modelleme türündür. Modelleme; ayrıca yeraltının "boyut" ölçüleri dikkate alınarak 1, 2 ve 3 Boyutlu Modelleme olarak sınıflandırılabilir. VLF yönteminde labratuar modelleri de yapılabilir. Bu konuda örnek çalışmalar için Coney (1977); Bykers ve Myers (1979) v.b. araştıracıların yaptıkları çalışmalarla bakılabilir.

3.2. Bazı Basit Modellerin Analitik Çözümleri

Bu bölümde küre, silindir, fay, dayk ve yatay katman modelleri için matematiksel çıkış noktaları ve jeofizik tepkileri sunulacaktır.

3.2.1. Küre Modeli

Zamanla değişen manyatik alanın atkısı altında nispeten zayıf iletken ortamdaki iletken bir küre durumunda ikincil

manyetik alanlar Wait (1951) tarafından incelenmiştir. σ_1 iletkenligine, μ_1 manyetik geçirgenlige, ϵ_1 dielektrik sabitine sahip R yarıçaplı bir kürenin ρ_2 , μ_2 ve ϵ_2 çevre ortamında olduğu varsayılmıştır. Küreye uygulanan birincil manyetik alan $H_0 e^{i\omega t}$ biçimindedir. Kürenin merkezi küresel koordinat sisteminin merkezi alınır. z ekseni uygulanan alana paralel alınır. Manyetik alan bir \vec{F} manyetik vektör potansiyeli terimleriyle açıklanabilir:

$$\vec{H} = -(\sigma + i\omega\epsilon) \vec{F} + I/i\mu\nabla(\nabla \cdot \vec{F}) \quad (76)$$

(burada I akım) Manyetik vektör potansiyeli F_0 birincil alan için,

$$\vec{F}_0 = \vec{F}_{0z} = -(\sigma_2 + i\omega\epsilon_2) H_0 \quad (77)$$

Küre içindeki manyetik vektör F , dışındaki manyetik vektör F_2 için açılımlar o vakit,

$$\vec{F}_1 = \vec{F}_{1z} = \sum_n b_n I_n(\gamma_1 r) P_n(\cos\theta) i\mu_1 \omega \quad (78)$$

(79)

olur. Burada,

$$I_n(z) = \sqrt{(az/2)} I_{n+\frac{1}{2}}(z), \quad K_n(z) = \sqrt{2z/a} K_{n+\frac{1}{2}}(z) \quad \text{ve} \quad I_{n+\frac{1}{2}} \quad \text{ile}$$

$K_{n+\frac{1}{2}}$ Wattson tarafından geliştirilmiş Bessel fonksiyonları

P_n löjandr polinomları an ve b_n ise katsayılardır. F_1 ve

F_2 denklemi bazı sınır şartları altında çözülür (ayrintı

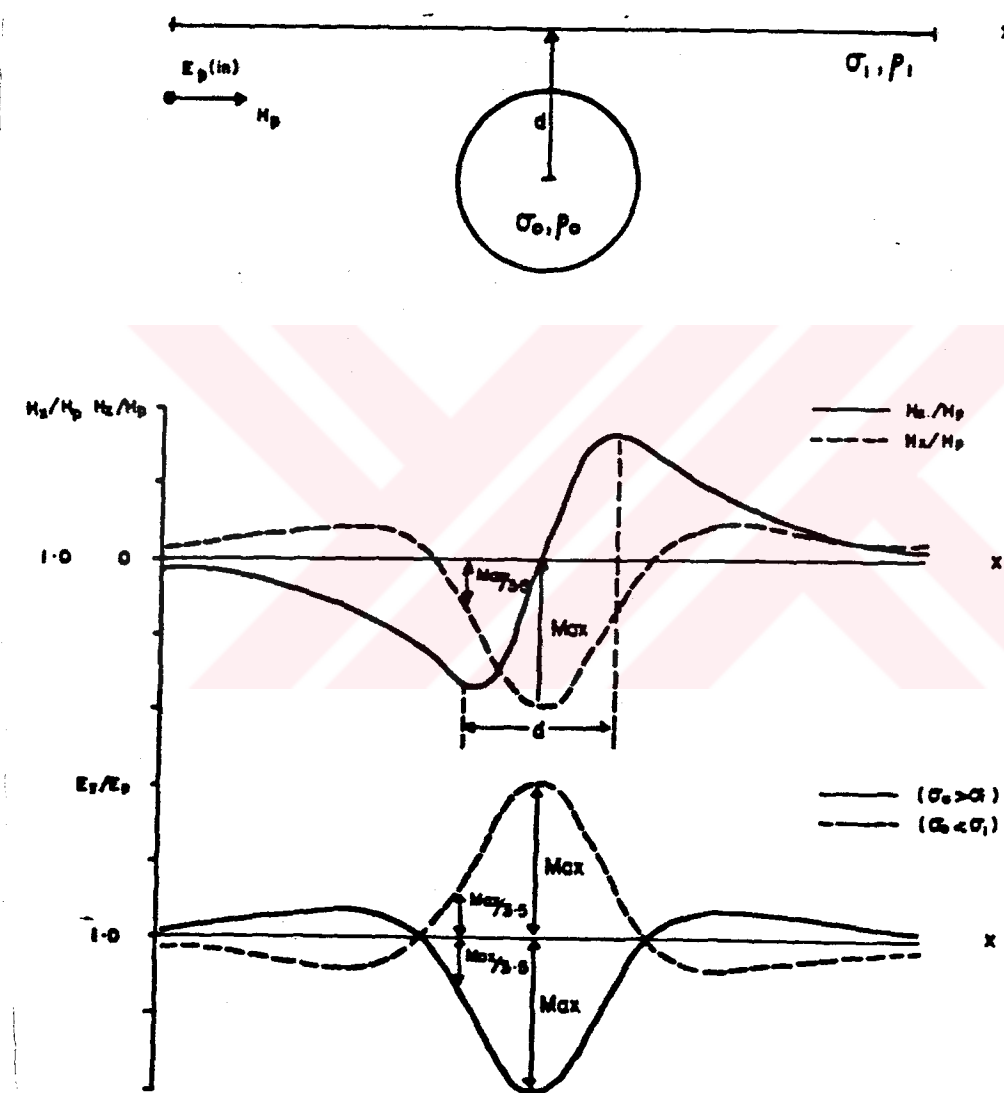
icin bk. Wait, 1951) ve aşağıdaki sonuca ulaşılır:

Toplam dış manyetik alan

$$H_z(\omega) = -\frac{3}{2} R^3 H_0 (M+iN) \left(-\frac{I}{x^3} + \frac{3Z^2}{x^5} \right) + H_c \quad (80)$$

$$H_p(\omega) = \frac{3}{2} R^3 H_0 (M+iN) \frac{3ZP}{x^5} \quad (81)$$

operasyonları ile verilir. Faz



Sekil 12. Küre modelinin iletken ve yalıtkan olması ile buna karşılık gelen manyetik alan ve akım egrileri (Wright, 1988).

vektörü M ve fazdısı bileşen iN dir. Deplesman akımları ihmali edilmistiştir.

Prospeksiyon açısından düşündüğümüzde kürenin doğadaki eşdegerinin masif sülfit maden yatağı ya da zemin ve kaya ortamındaki yerel düzensizlikler olduğu söylenebilir. Hz profilinin bükülme noktası (Şekil.13) ve Hx ile Ey profilinin pikleri küre üzerindedir. Ey profili; $\alpha_0 > \alpha_1$ ise düşük, $\alpha_1 > \alpha_0$ ise büyütür. Küre için derinlik yaklaşık olarak Hz profili üzerindeki pikler arasındaki uzaklıktır ya da maksimum ve maksimum / 3.5 (Hx ve Ey profillerinde) arasındaki uzaklığın iki (2) katıdır. Küre ortama göre daha dirençli ise galvanik akım baskındır ve tepki eğrileri daha enlidir (Wright,1988).

3.2.2. Silindir Modeli

Bu model için eğrinin biçimini veren bağıntiya ulaşmak için küre modelinin bağıntılarından yararlanırız.

Silindir modeli için iki durum düşünülebilir:

a) Birincil Manyetik Alana Dik Yatay Sonlu Silindir

Modelin jeolojik eşdegeri: üst katmanda çöküntü ya da tümsek veya masif sülfit yatağı olabilir.

Degerlendirmeye:

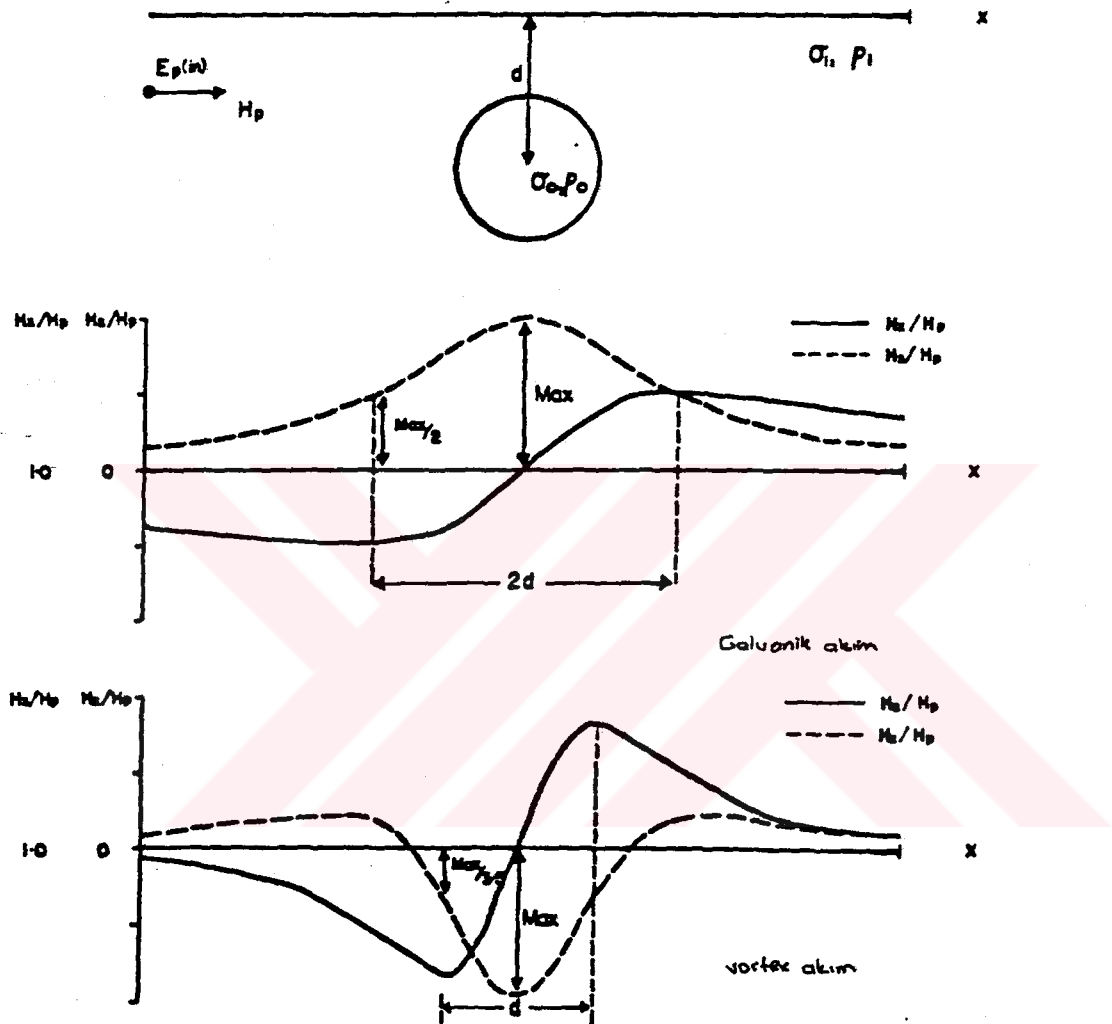
- . İkincil alanlar Hy, Ey ya da Ex yoktur.
- . Derinlik, Hz eğrisi üzerindeki pikler arasındaki uzaklığın yarısıdır ya da profil üzerindeki max ve max/2 noktaları arasındaki uzaklıktır.
- . Girdap akımları için derinlik kestirimini Hz profili üzerindeki max ve max/3.5 noktaları arasındaki uzaklığın iki katıdır (Şekil 13).

b) Biricil Manyetik Alana Paralel Yatay Sonlu Silindir

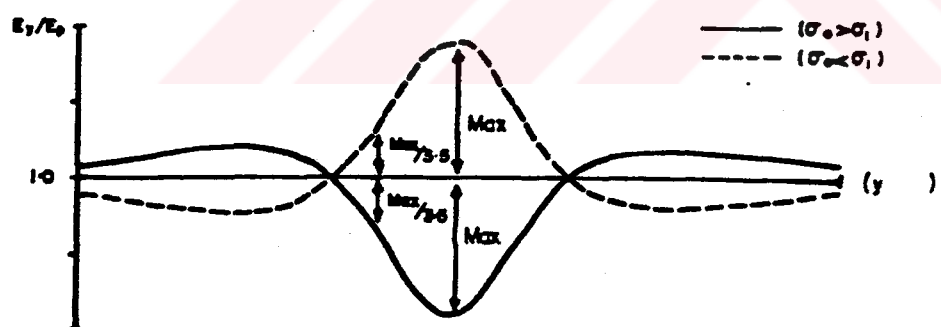
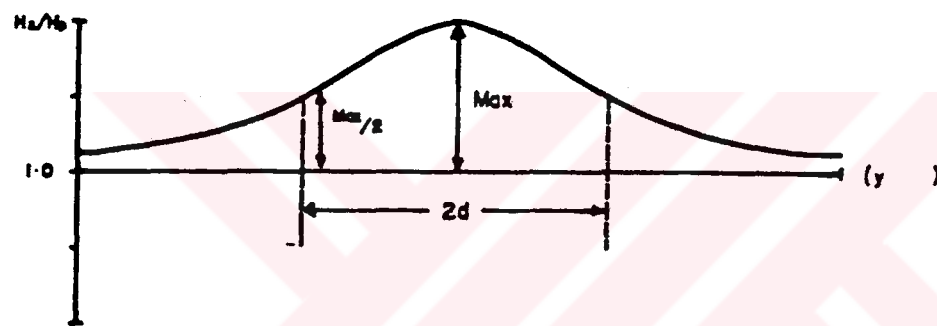
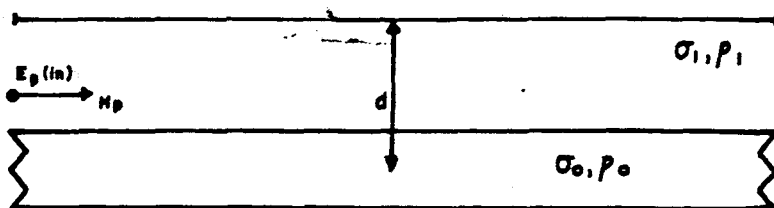
Modelin Jeolojik Eşdegeri (a) bölümünün benzeridir.

Degerlendirmeye:

- . X yönü boyunca tüm alanlar uniformdur ya da oluşmamışlardır.
- . Hx ve Ey bileşenleri vardır ve y yönünde değişir.



Sekil 13. Birincil manyetik alana dik yatay sonlu silindirin VLF tepkileri (wright, 1988).



Sekil 14. Birincil manyetik alana paralel yatay sonlu silindirin VLF tepkileri (Wright, 1988).

- . Silindirin derinliği (d) yaklaşık olarak, profil üzerinde (y ekseninde) Max ve Max/3.5 noktaları arasındaki uzaklığın yarısı veya Ey profili üzerinde max ve max/3.5 arası uzaklığın iki katıdır.
- . Ey profili \propto ise pozitif tersi durumunda ise negatiftir (Şekil 14).

3.2.3. Fay Modeli

Doğal elektromanyetik alanlar için fay modelini d'Erceville ve Kunetz (1962) incelemiştir. VLF ve MT yöntemleri kuramsal olarak benzer oldukları için, doğal EM alanlar için çözümler VLF radyo dalgaları için de bazı koşullarda geçerli olacaktır.

İki formasyon arasında sonlu atımlı düşey fay varsayılmı, bu iki formasyonun sonlu özdirence veya iletkenlige sahip olduğu düşünülür. Telürik akım fay düzlemine yatay veya dik olabilir. Sınırda yüzey üzerindeki elektrik alan şiddeti, ölçüm noktası ve fay düzlemi arsındaki uzaklığın fonksiyonudur.

$E_y=0$ alınmasıyla diğer faktörler y 'den bağımsız olacaktır. $E=i\omega H$ 'nin rotasyonelinin alınmasıyla

$$\frac{\partial E_y}{\partial x} - \frac{\partial E_z}{\partial y} \quad \text{ve} \quad \frac{\partial E_z}{\partial y} - \frac{\partial E_y}{\partial z}$$

sıfıra eşit olacak ve $H_z = H_x = 0$ olacaktır. Ve böylece manyetik alan H_y , H ile temsil edilecektir. Maxwell denklemleri bu durumda,

$$\nabla^2 H = \frac{i\omega}{S} H$$

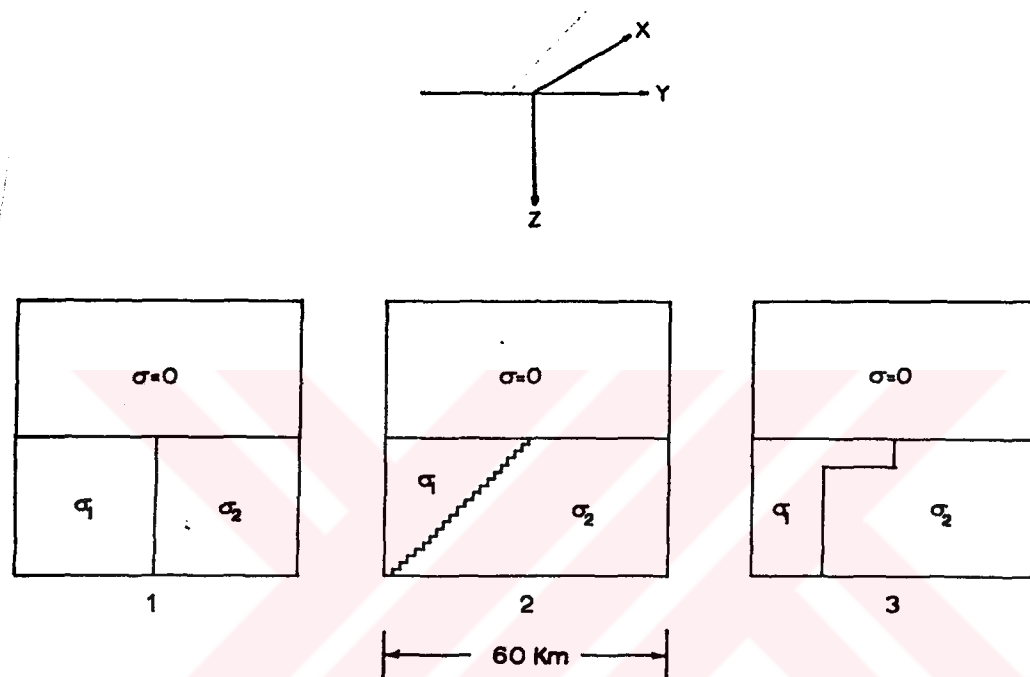
olur. Faydan sonlu uzaklıktaki H , x 'den bağımsız olacak ve denklem;

$$\frac{\partial^2 H}{\partial z^2} = \frac{i\omega}{S} H \quad (82)$$

olacaktır. Birinci ortamın genel çözümü aşağıda verilecektir:

$$H_1^0 = A_1 e^{-\sqrt{(\frac{4\pi\sigma}{\rho_1})}z} + B_1 e^{-\sqrt{(\frac{4\pi\sigma}{\rho})}z} \quad (83)$$

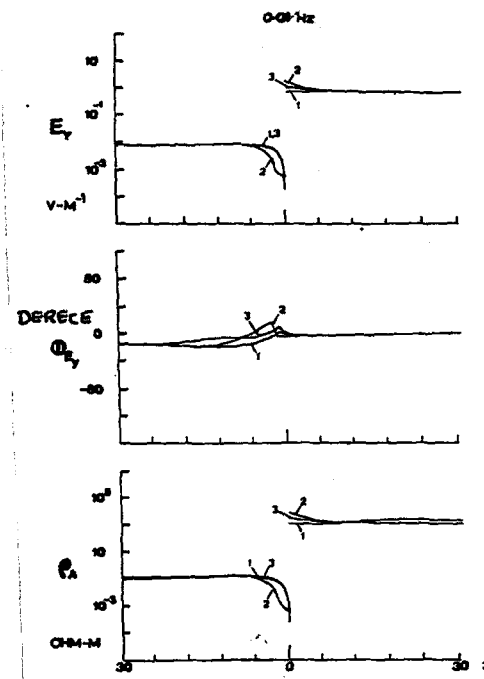
Eğimli ve örtülü süreksizliğin jeomanyetik etkisi Jones ve Price (1971) tarafından incelenmiştir (Şekil 14). Sonlu



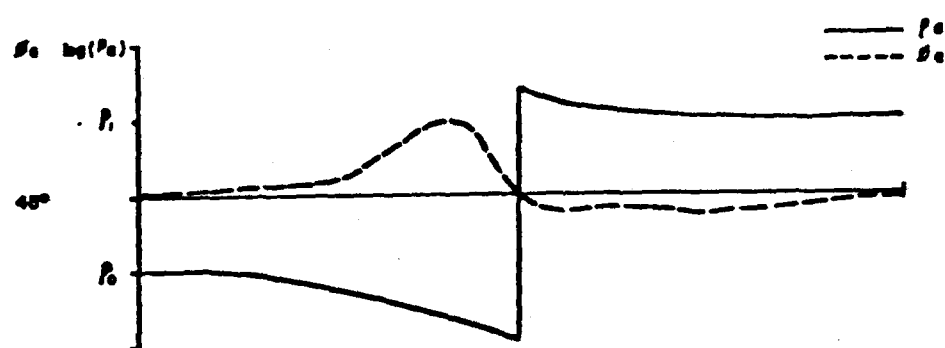
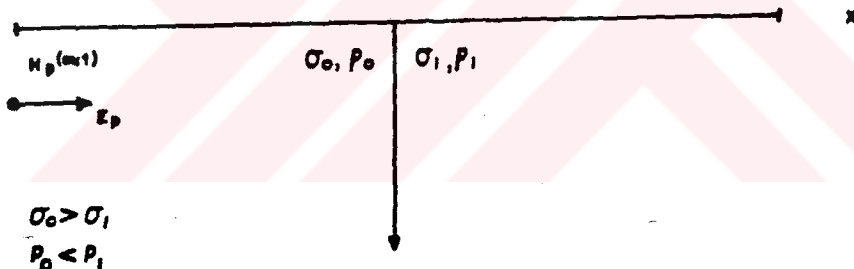
Şekil 15. Koordinat sistemi ve üç farklı fay modeli; (1) düşey fay (2) basamak modeli (3) Self modeli (Jones ve Price, 1971)

farklar modeliyle (dalga denkleminin sonlu farklarla çözülmesiyle) incelenen bu etkinin modeli ve çözüm eğrileri Şekil 15 ve 16'da verilmiştir.

Fay ya da düşey dokanak bu modelin doğadaki karşılıklarıdır. VLF yönteminde H_y ya da E_x ikincil alan bileşenleri yoktur (Bak Bölüm 2). Görünür özdirenç, arayüzeyden uzaklaşıkça gerçek değere yaklaşır (Wright, 1988). E ve H bileşenleri arasındaki faz farkları arayüzeyden uzaklaşıkça 45° 'ye yaklaşır ve arayüzey civarında ise 45° 'den farklıdır (Şekil 17).



Sekil 16. Sekil 16.'daki modellerin 0.01 Hz frekansında
çesitli büyüklükler cinsinden tepkileri (Jones ve
Price, 1971)



Sekil 17. Düşey fay modelinin VLF tepkisi. Burada manyetik
alan sınıra paraleldir (Wright, 1988).

3.2.4. Dayk Modeli

VLF yönteminde en çok uygulanan modellerden biri dayk modeli olmştur. Telford ve dig. (1976), Saydam (1980), Kaikonen (1980) ve Sinha (1990) bu konu üzerine araştıracıların bir kaçıdır.

Yarı Sonsuz Düşey Levha

Kaynak etkin olarak sonsuzda ve alan, ölçüm sahası üzerinde düzgün olduğu için analiz basitleşir. İkincil alan bileşenleri,

$$H_z^S = \frac{Ix}{2\pi(x^2+z^2)} \quad \text{ve} \quad H_x^S = \frac{Iz}{2\pi(x^2+z^2)} \quad \text{olurken birincil alan}$$

bileşeni,

$$H_x^P = \frac{I_p l}{2\lambda r} e^{-\frac{1.5 \times 10^{-3} r}{\sqrt{\lambda}}} \quad (84)$$

olur (burada I = anten akımıdır). Böylece eğim açısı,

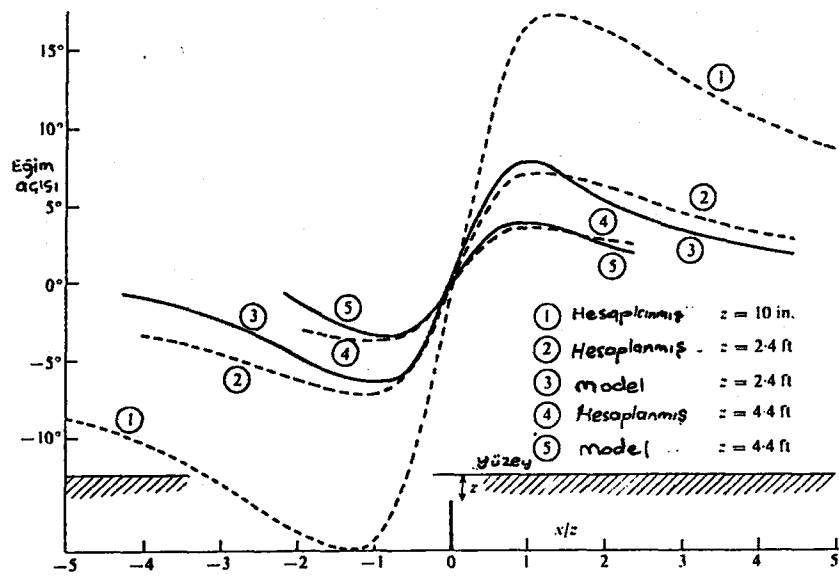
$$\tan \alpha = \left(\frac{H_z^S}{H_x^S} \right) = \frac{\gamma}{1 + KZ_{ip}(1 + \gamma^2)/I} \quad (85)$$

dir ve burada $K = (\pi \delta l / \lambda r) e^{-1.5 \times 10^{-3} r / \sqrt{\lambda}}$, r =kaynaktan uzaklık (km), $\lambda = c/f$ = dalga boyu (km), l = anten yüksekliği (km) dir. Kaba bir yaklaşımla K ve I 'nın her ikisinin de r ile ters orantılı değişeceğini söyleyebiliriz. Böylece yukarıdaki denklem,

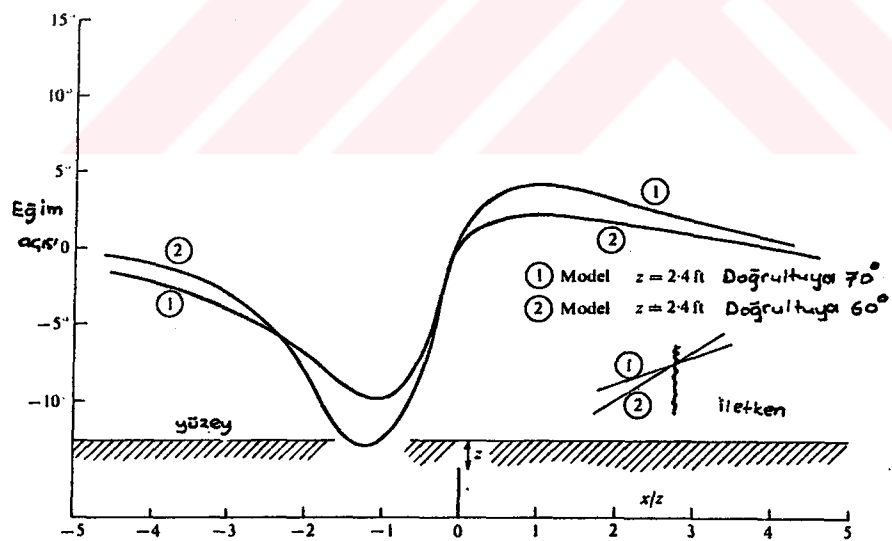
$$\tan \alpha = \frac{\gamma}{1 + KZ(1 + \gamma^2)} \quad (86)$$

olur, burada $K = K^1 \left(\frac{I_p}{I} \right)$ 'dır.

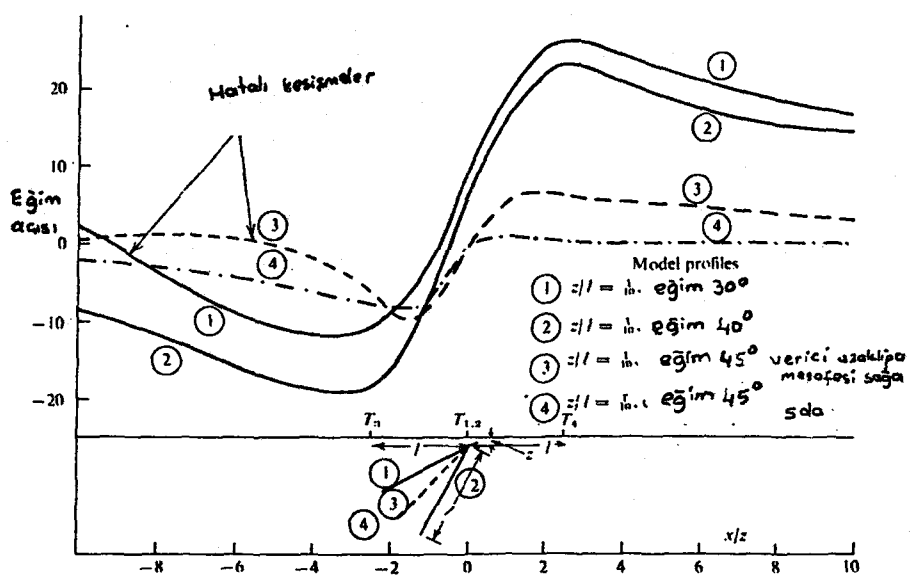
Sekil 18. yukarıdaki son denklemden hesaplanmış üç eğriye



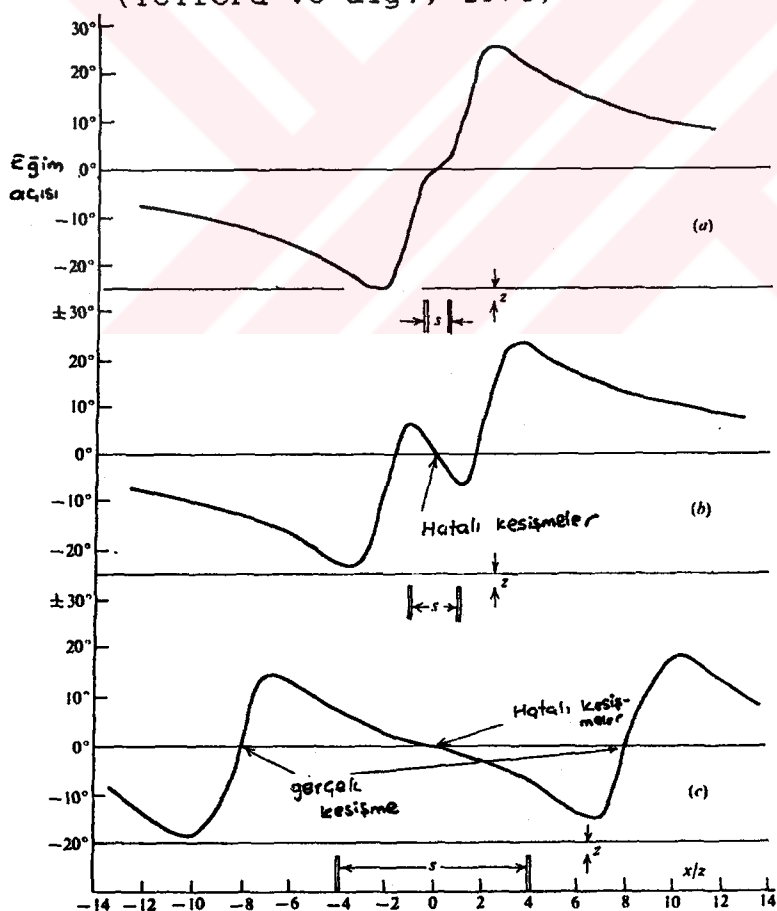
Sekil 18. Yarı sonsuz düşey levha üzerinde VLF profilleri
(Telford ve dig., 1976).



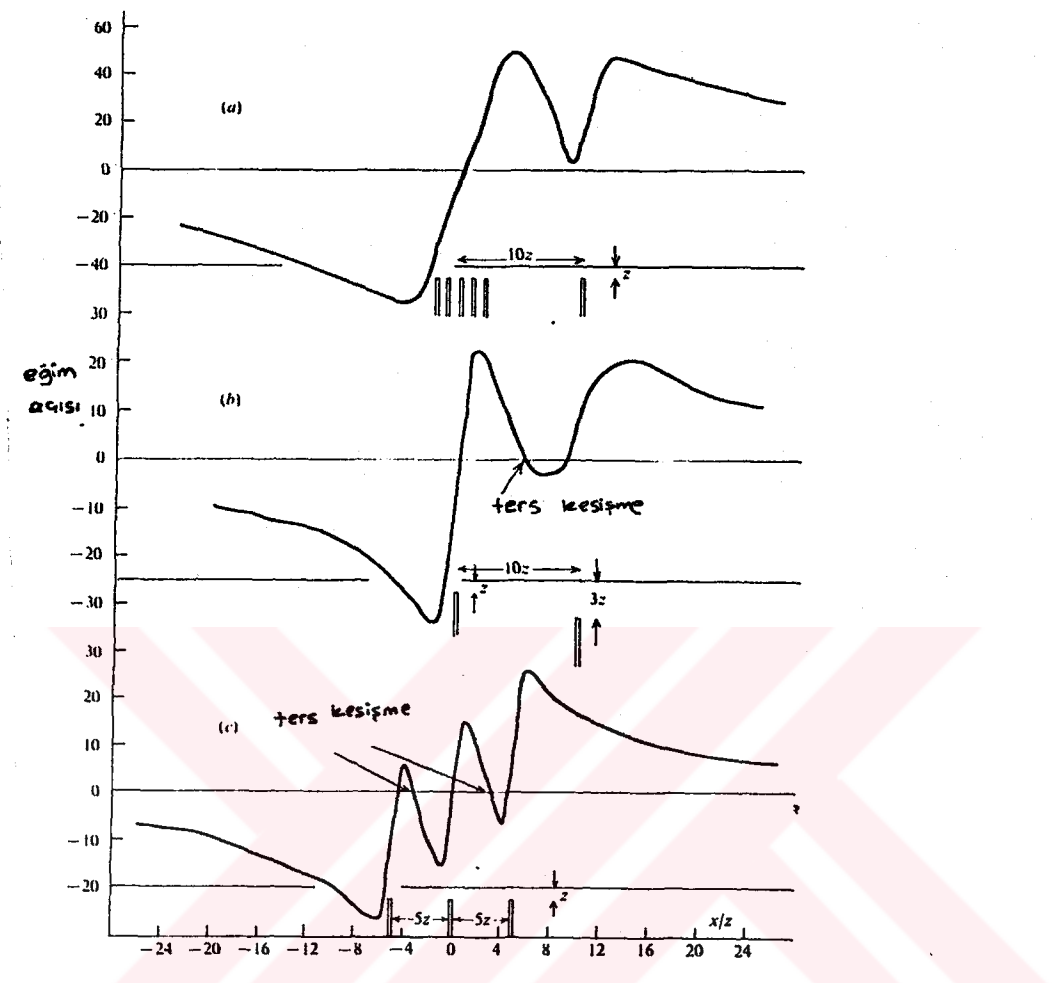
Sekil 19. Yarı sonsuz düşey levha üzerindeki VLF
profillerindeki ölçüm doğrultusu etkisi (Telford ve
dig., 1976)



Sekil 20. Sonlu büyüklükteki eğimli levhaların etkileri
(Telford ve dig., 1976)



Sekil 21. İki levha etkisi (Telford ve dig., 1976)



Sekil 22. Ardışık düşey levhalar üzerindeki VLF tepkileri
(Telford ve dig., 1976)

ek olarak düşey levha üzerinde bir VLF alıcısıyla elde edilmiş model eğrisini göstermektedir. Bu son denklem doğrudan iletkenliği içermez fakat I_1 , σ ile değişir ve bundan dolayı tamam artacaktır. Birincil alan iletkenin uzanım doğrultusuna hemen hemen paralel olduğu vakit ölçü kaçınılmaz şekilde bozulur (Sekil 19). Sekil 20, iletken doğrultusuna 70 ve 60 derecelik açılarda modelin etkisini göstermektedir.

Levha iletkenler:

a) İki iletken

Grand ve West (1965, s.532-6), iki iletken etkisinin

genellikle her birinin tek başına yaptığı etkinin toplamı olmadığını ayrıca onlar arasında karşılıklı indüktansı da içerdigini göstermiştir (Şekil 21)

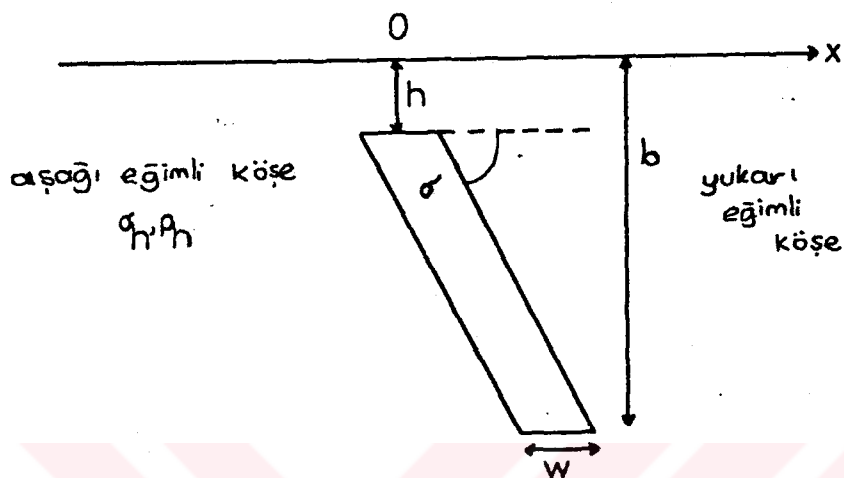
b) Çoklu iletkenler

Çesitli EM yer yöntemleri çoklu iletkenlere karşı farklı yanıtlar gösterirler. Farklar iletkenliğin yanısıra özel sistemin geometrisiyle saptanır. Grafikler, karşılıklı etkilerin olmadığı varsayılarak son eğim açısı denklemi değişikliğe uğratılarak çizilmistir (Şekil 22)

Kaikonen (1980) çalışmasında, VLF ve VLF-R ölçümlerinin yorumlanması için bazı abakları sonlu elemanlar teknigi kullanarak hazırlamıştır. Manyetik polarizasyon elipsinin eliptikliği ve eğim açısının ölçüldüğü klasik VLF yönteminde, düzensizlik (inhomogenite) doğrultusuyla paralel olan E polarizasyondan yararlanmak yeterlidir. Bu manyetik polarizasyon elipsinin büyük ekseninin eğiminin oluşturduğu E polarizasyon etkileşimi nedeniyedir. VLR-R yönteminde birbirine dik elektrik ve manyetik alan bileşenleri ölçülür ve ilke olarak her iki polarizasyon da kullanmilabilir. Bu çalışmada iki boyutlu düzensiz yer modellenmiştir. Inhomogenite bu modelde deyisen iletkenlik, derinlik, dayk boyu, eğim ve kalınlıktan oluşan geniş bir dayk (veya filon)dur. İki boyutlu ortamın tepkisine ilskin hesaplamalar için sayısal sonlu elemanlar tekniği kullanılmıştır. VLF yöntemi için sonlu elemanlar tekniğinin ayrıntılı formülasyonu hemen hemen Kaikonen (1979)'da yayınlanmıştır.

Şekil 23'da eğimli dayk (veya filon) model değişkenleriyle görülür. Frekans 16.4 kHz, h derinlik, w kalınlık, b alt yüzey derinliği, d_m yan kayactaki nufuz derinliği (skin depth), σ daykin iletkenliğidir. Tepki fonksyonlarında gözlenen karekteristik noktalar Şekil 24'de işaretlenmiştir. Şekil 24a eğim açısı profilidir. A_1 anomalî genliginin aşağı eğimli kısmı, A_2^+ yukarı eğimli kısmı ve $x_{1/2}$ yarı açıklıktır. Şekil 24b, eliptikliği gösterir. Şekil 24c ve d'de, MP noktası görünür özdirenç ve faz abakları ile kullanılan karekteristik noktalardır.

Yan kayac iletkenliğinin etkisi Şekil 25'de, dayk boyu



Sekil 23. Model parametreleri (Kaikonen, 1980)

Sekil 26'de, derinlik etkisi Sekil 27'de, kalınlık etkisi Sekil 28'de görülmektedir.

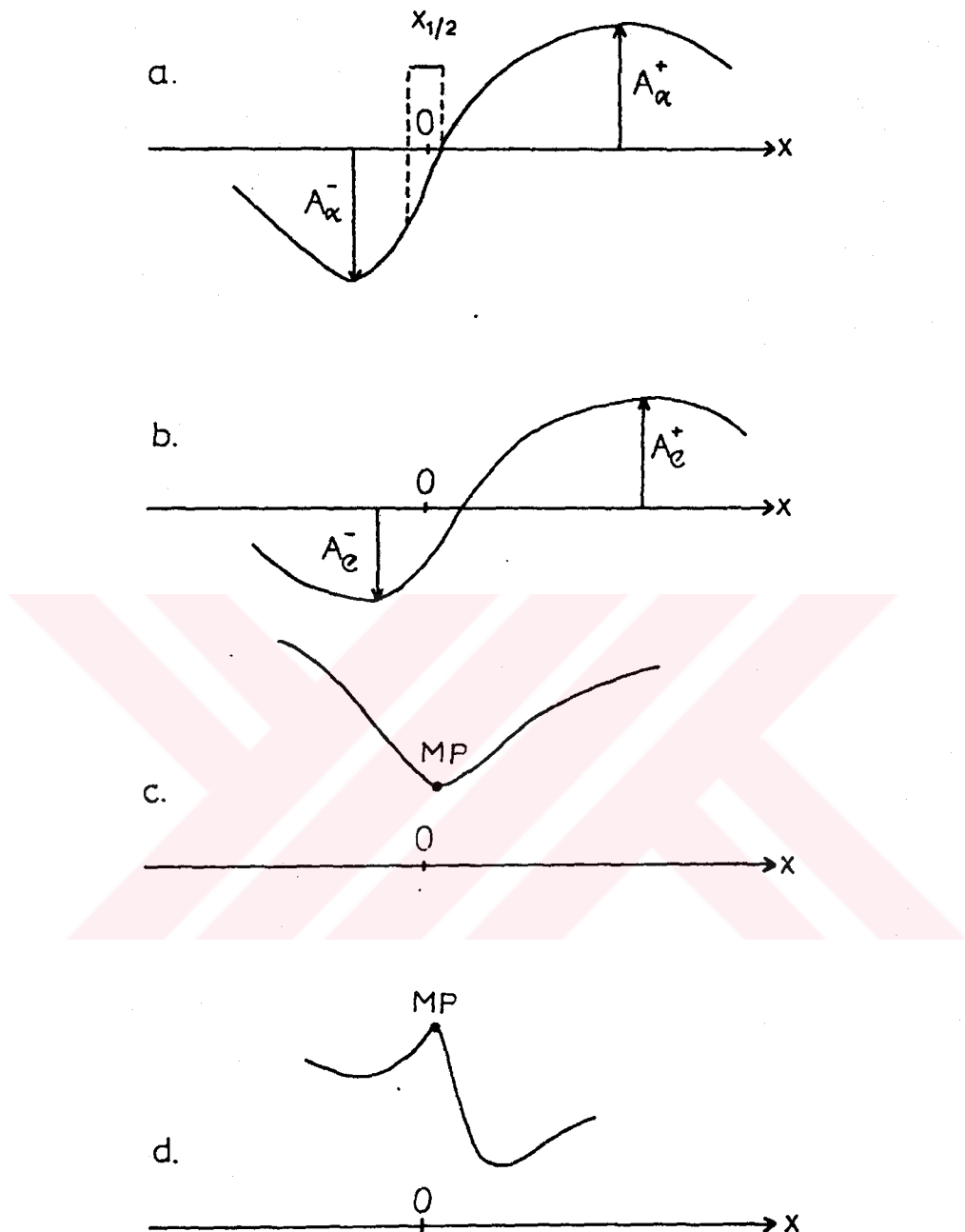
Saydam (1980), düşey iletken daykaların (Sekil 29) farklı parametreler için bir dizi tepkisini hesaplamıştır. Saydam (1980) ayrıca "Eliptiklik" ve "tilt açısı" diye iki kavramı açıklamıştır (bak Sekil 30 ve 31). Eliptiklik, polarizasyon elipsinin küçük ekseninin büyük eksenine oranı, tilt açısını da büyük eksenin yatayla yaptığı açı olarak tanımlamıştır. Tilt açısı α ve eliptiklik ϵ , yatay ve düşey manyetik alan bileşenlerine onların fazlarıyla ilişkileri aşama aşama izlendiği gibi verilir (Smith ve Ward, 1974):

$$H_x e^{i\Phi_x}$$

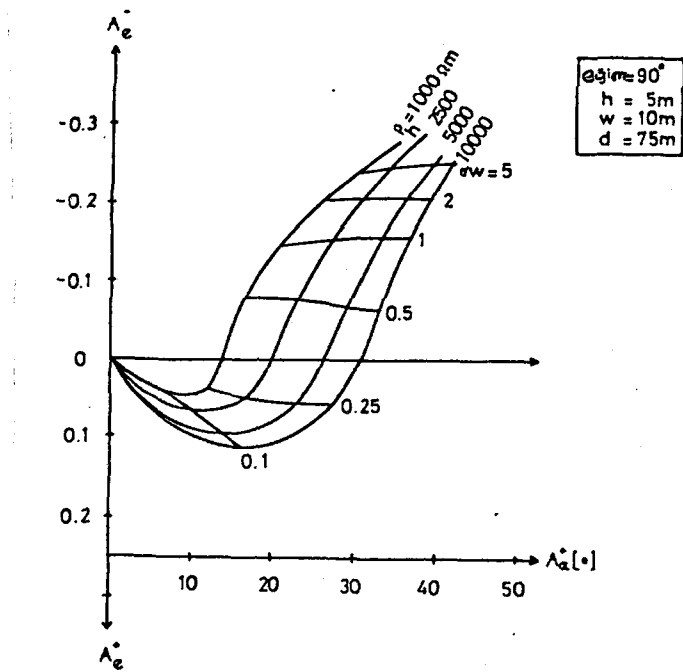
$$, H_z e^{i\Phi_z}$$

$$\Delta\Phi = \Phi_z - \Phi_x$$

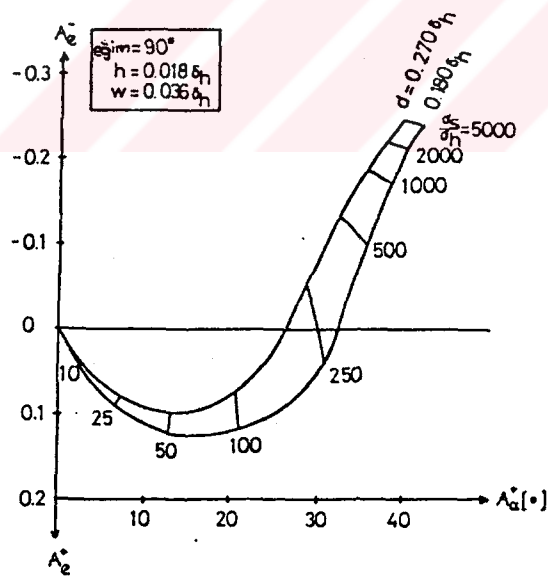
oldugunu kabul ederek .Kutuplaşma (Polarizasyon) elipsi denklemini yeniden yazabiliriz.



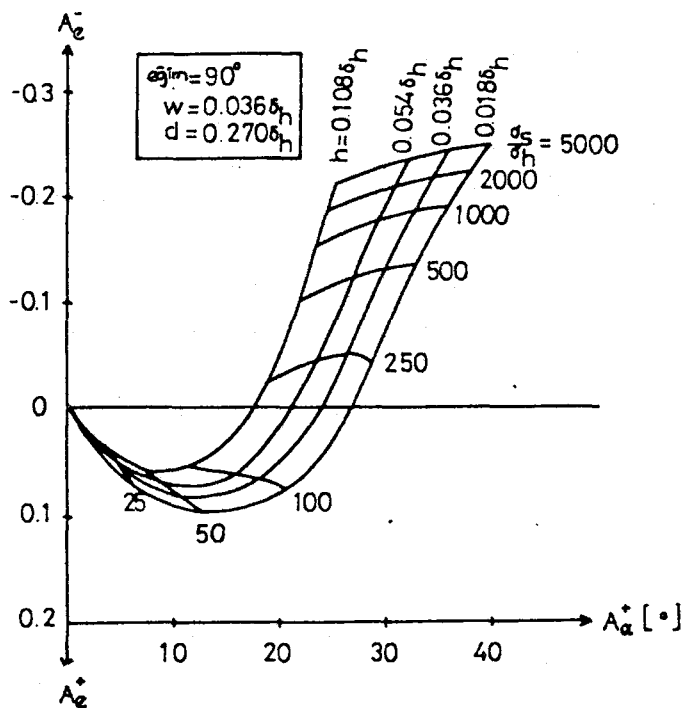
Sekil 24. Karekteristik noktalar ve iletkenin yerinin bulunmasında kullanılan büyüklükler. (a) eğim açısı (b) eliptiklik (c) görünür özdirenç (d) faz açısı ($\Phi_E - \Phi_{E_0}$) (Kalkonan, 1980).



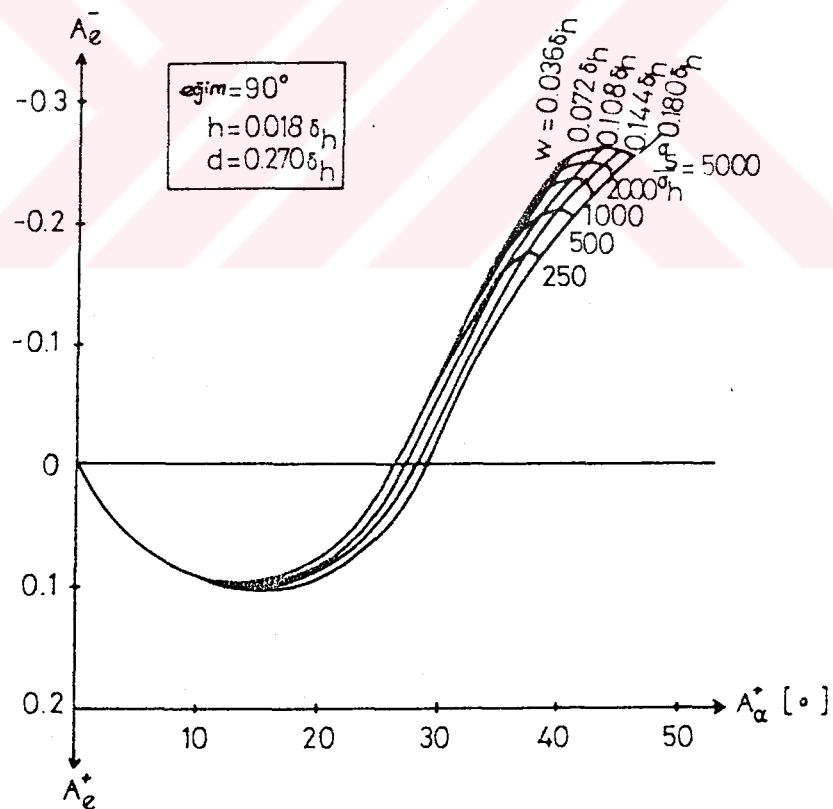
Şekil 25. Yan kayaç iletkenliğinin eğim açısının etkisiyle ilgili eğim açısı-eliptiklik abağı (Kaikonen, 1980).



Şekil 26. Dayak boyu etkisini veren eğim açısı-eliptiklik abağı (Kaikonen, 1980)



Sekil 27. Derinlik etkisini veren eğim açısı-eliptiklik abağı (Kaikonen, 1980).



Sekil 28. Kalınlık etkisini veren eğim açısı (A_α) - eliptiklik abağı (A_e) (Kaikonen, 1980).

$$\frac{x^2}{H_x^2} + \frac{z^2}{H_z^2} - \frac{2xz \cos \Delta \phi}{H_x H_z} = \sin^2 \Delta \phi \quad (87)$$

Dalgaın tilti $\alpha = \frac{H_x}{H_z} e^{-i\Delta\phi}$ dir. Stratton (1941)'den tilt

amacımıza göre düzenleyerek,

$$\tan 2\alpha = \pm \frac{2(H_z/H_x) \cos \Delta \phi}{1 - (H_z/H_x)^2} \quad (88)$$

buradan da

$$\alpha = \pm \frac{1}{2} \arctan \left(\frac{2(H_z/H_x) \cos \Delta \phi}{1 - (H_z/H_x)^2} \right) \quad (90)$$

elde edilir (r yönündeki değişimin x yönünde olması kabulü ile). Eliptiklik,

$$|\epsilon| = \frac{H_x}{H_1} \quad (90)$$

$H_1=h_1$ ve $H_2=h_2$ ile

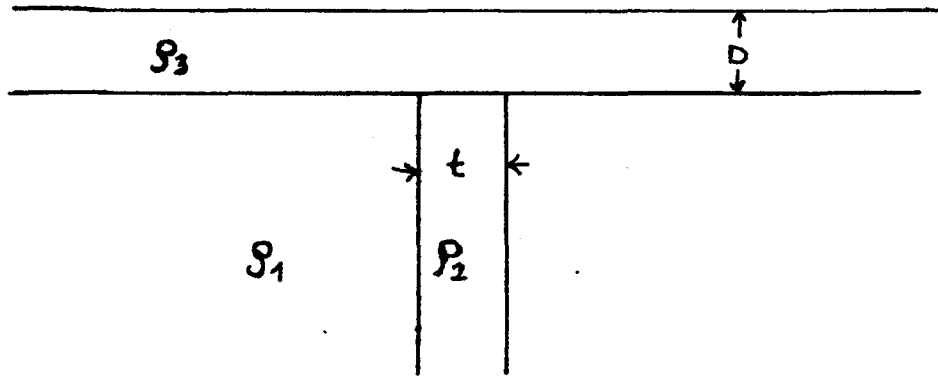
$$\frac{h_2}{h_1} = \left[\frac{1}{2} (H_x^2 - H_z^2) \sin 2\alpha + H_x H_z \cos \Delta \phi \cos 2\alpha \right] \frac{1}{H_1} + i \left[\frac{H_x H_z \sin \Delta \phi}{H_1^2} \right] \quad (91)$$

elde edilir. Gerçek bölümün sıfır kabul edilmesiyle.

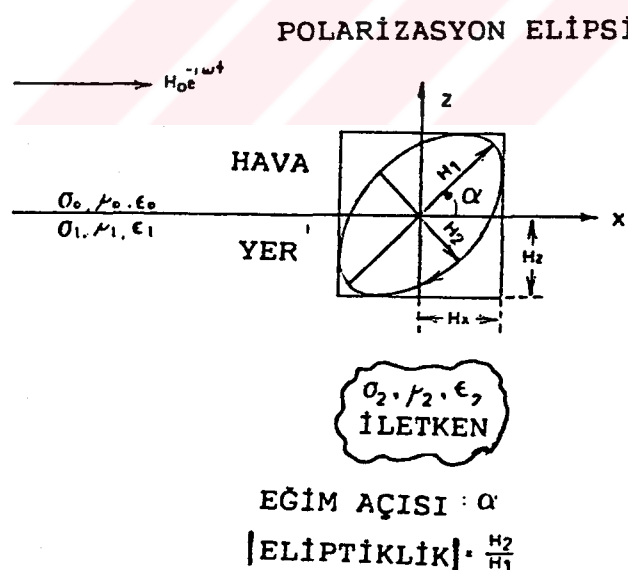
$$\epsilon = \frac{H_x H_z \sin \Delta \phi}{H_1^2}$$

yüzde olarak ise,

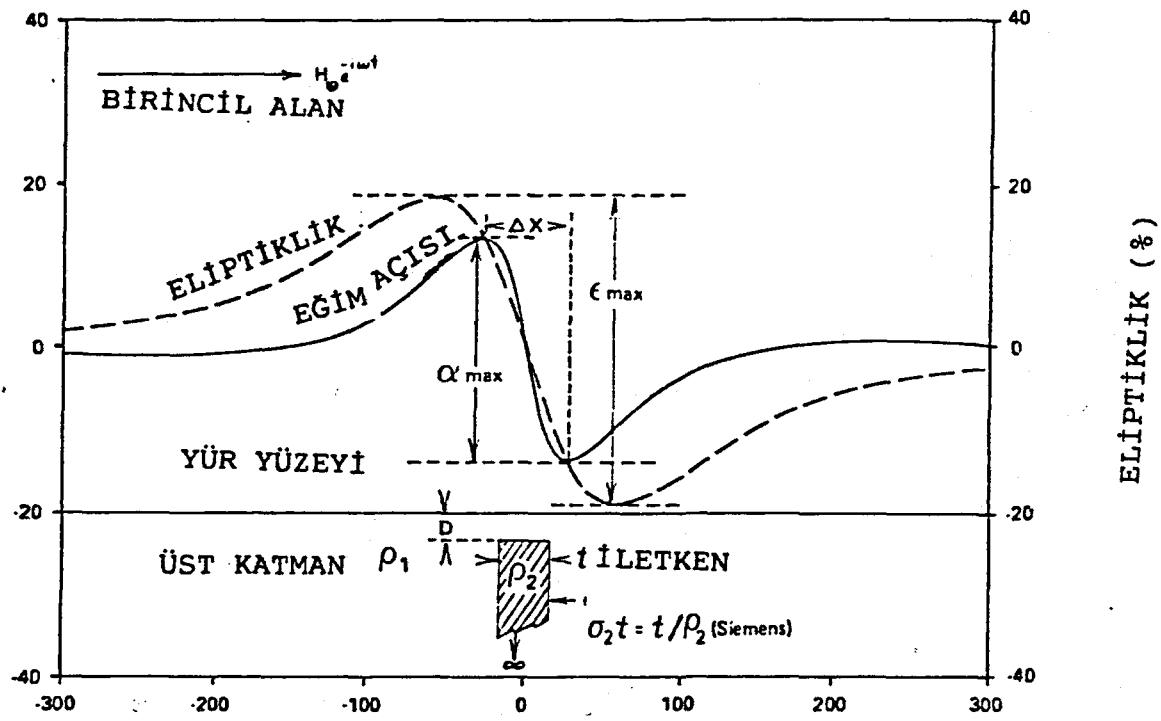
$$\epsilon = \frac{H_x H_z \sin \Delta \phi}{H_1^2} \cdot 100$$



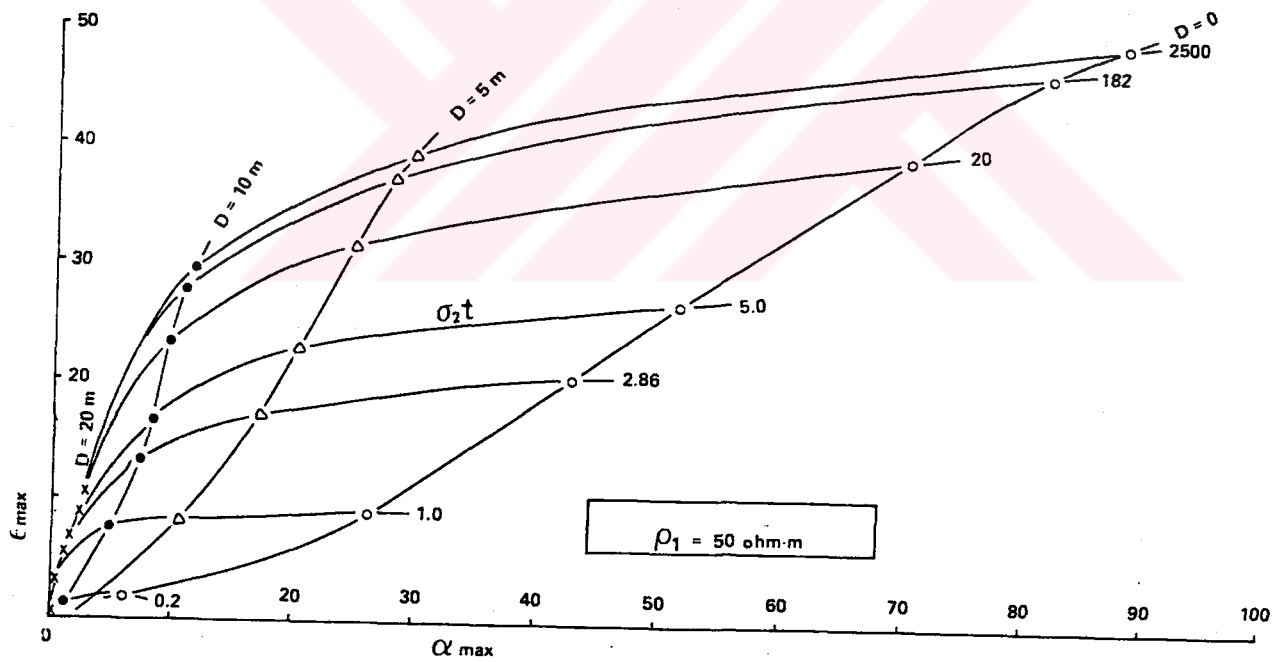
Sekil 29. Model parametreleri (Saydam, 1981)



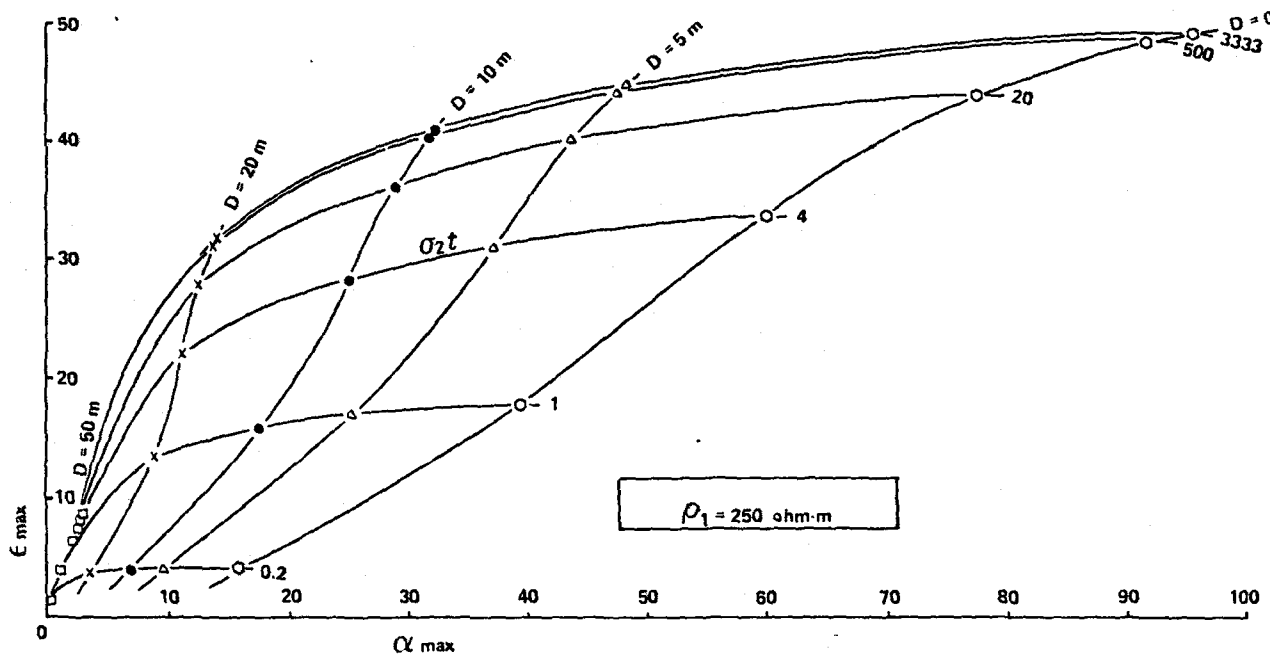
Sekil 30. EM alan düzleminde inhomojen iletken varlığında polarizasyon elipsi (Saydam, 1981)



Sekil 31. Tipik bir eğim açısı-eliptiklik profili (Saydam, 1981)

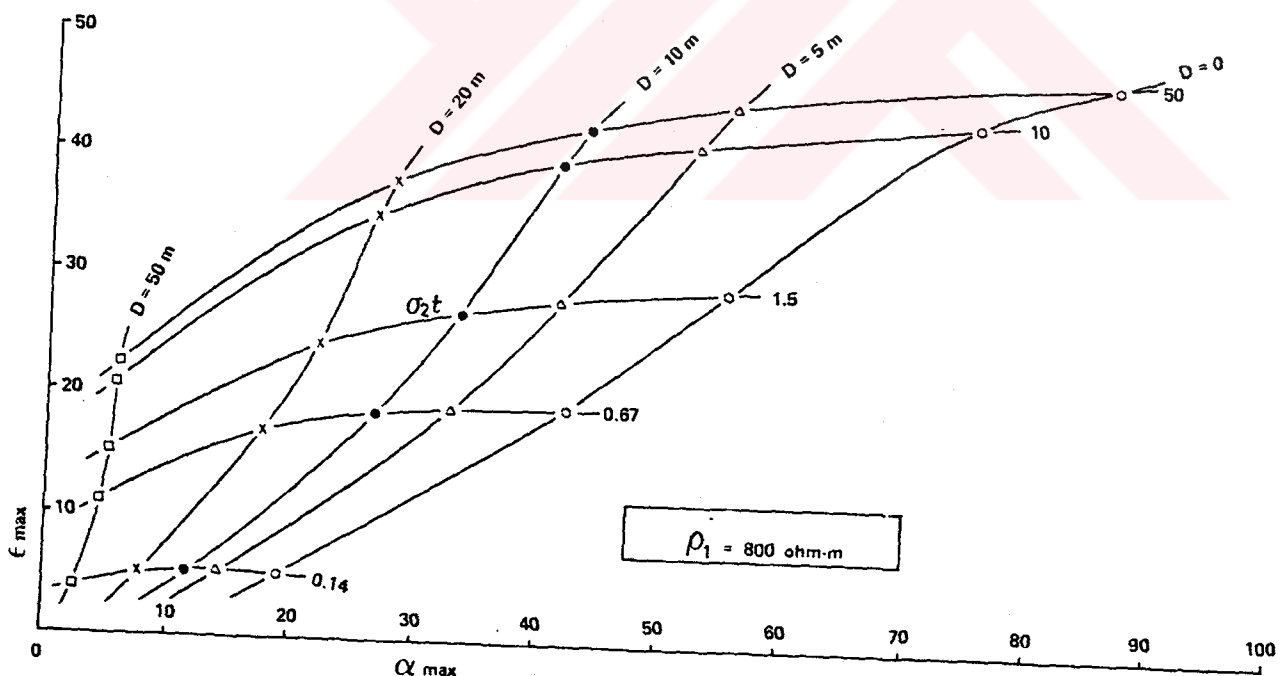


Sekil 32. Yan kayaç(host rock) özdirenci 50 ohm.m olan bir yapının ϵ - α karakteristik diyagramı (Saydam, 1981)



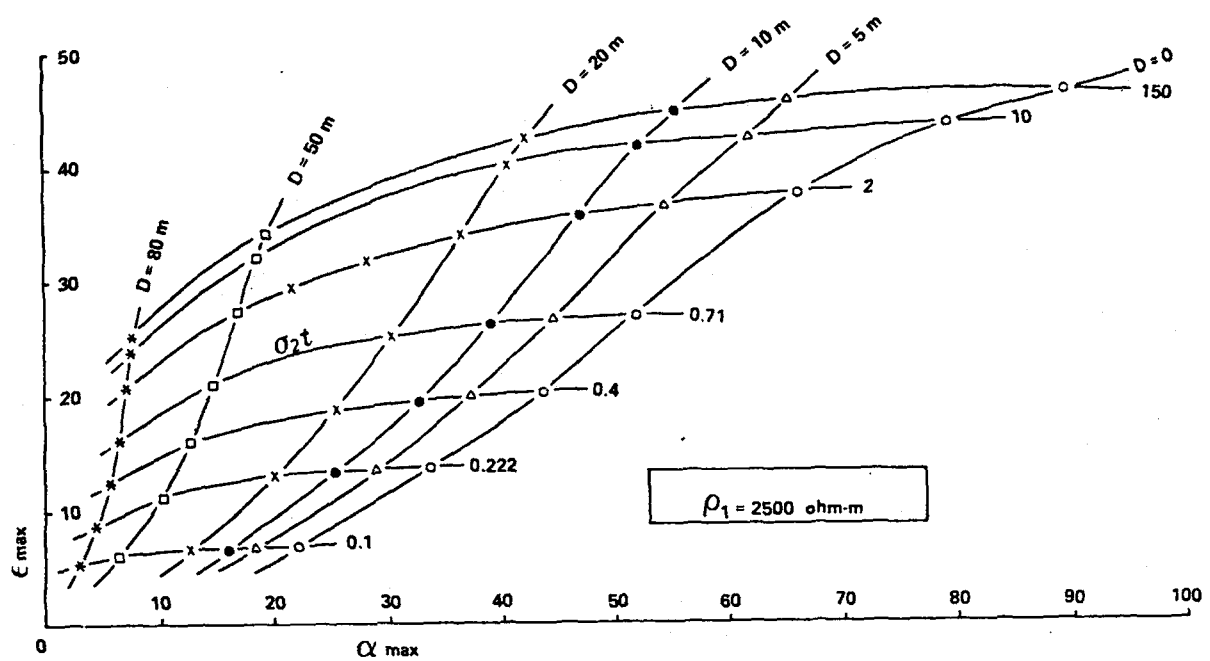
Sekil 33. 250 ohm.m'lik bir yan kayac için $E - \alpha$

karekteristik diyagramı (Saydam, 1981)

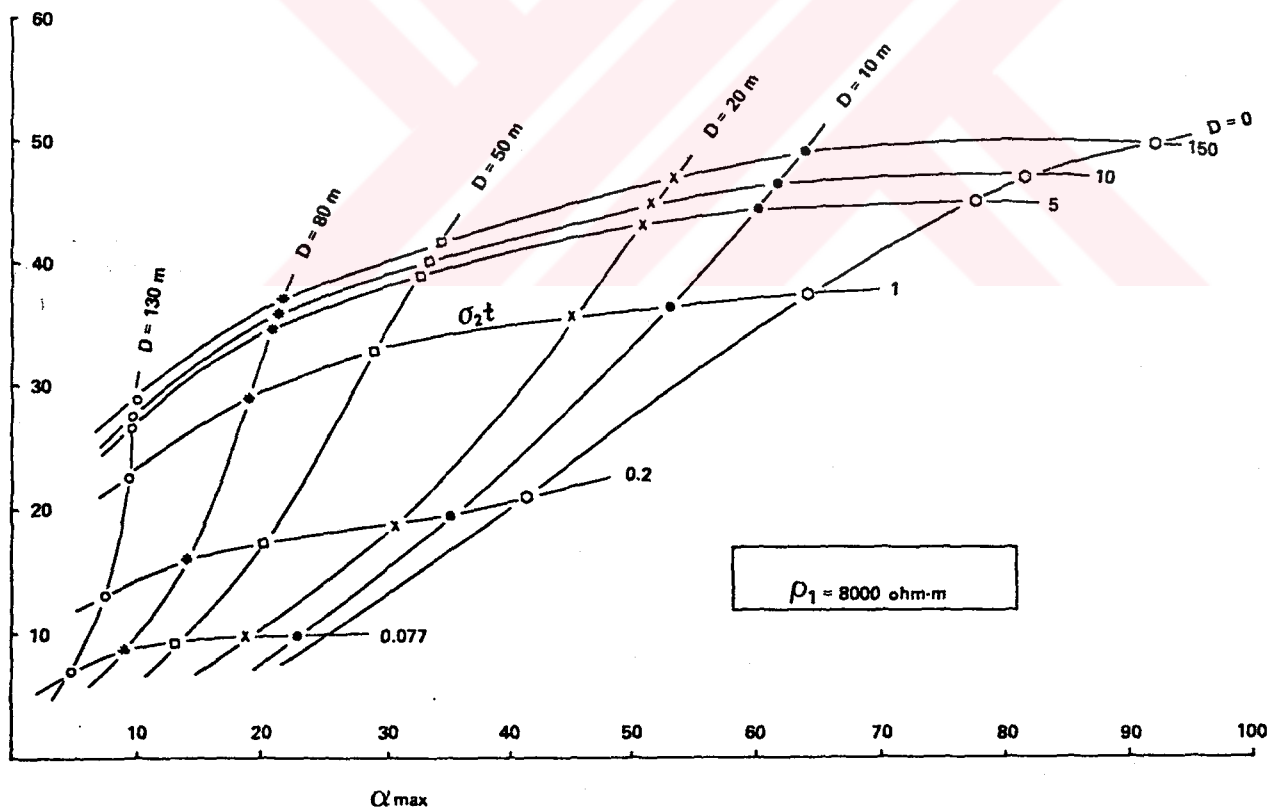


Sekil 34. 800 ohm.m'lik bir yan kayac için $E - \alpha$

karekteristik diyagramı (Saydam, 1981)



Sekil 35. 2500 ohm.m'lik bir yan kayaç için $E - \alpha$ karekteristik diyagramı (Saydam, 1981)



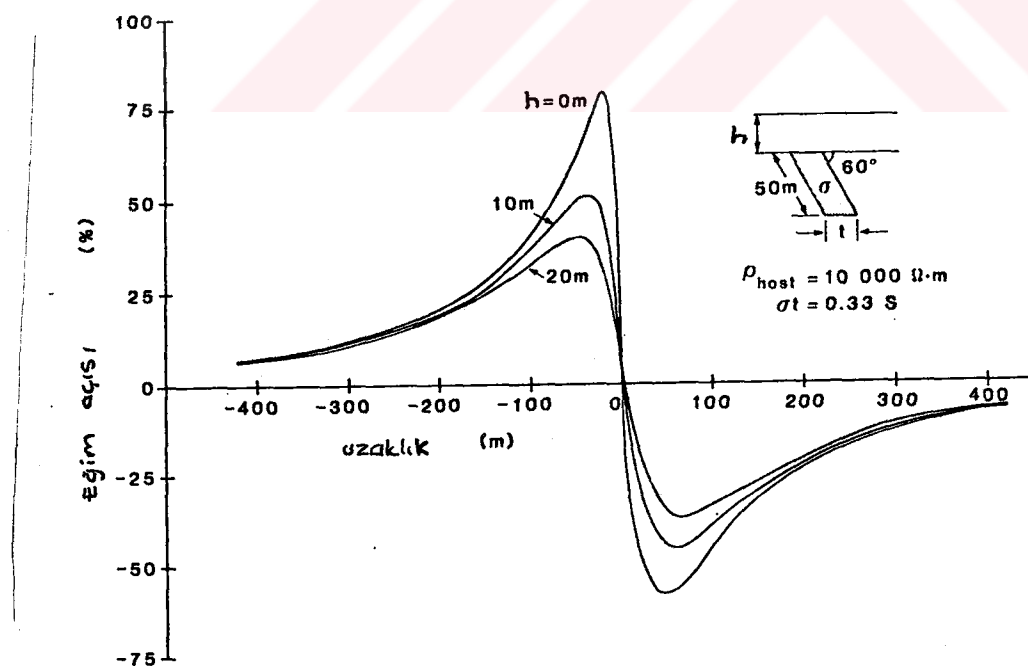
Sekil 36. 8000 ohm.m'lik bir yan kayaç için $E - \alpha$ karekteristik diyagramı (Saydam, 1981)

bulunur. Burada, $\Delta\Phi = \Phi_x - \Phi_z$ 'dir. Tipik bir tilt açısı ve eliptiklik grafigi Şekil 31'de gösterilmistir. Tepeden tepeye tilt ve tepeden tepeye eliptiklik ilişkili grafikler üzerinde mutlak büyülüğe sahiptir.

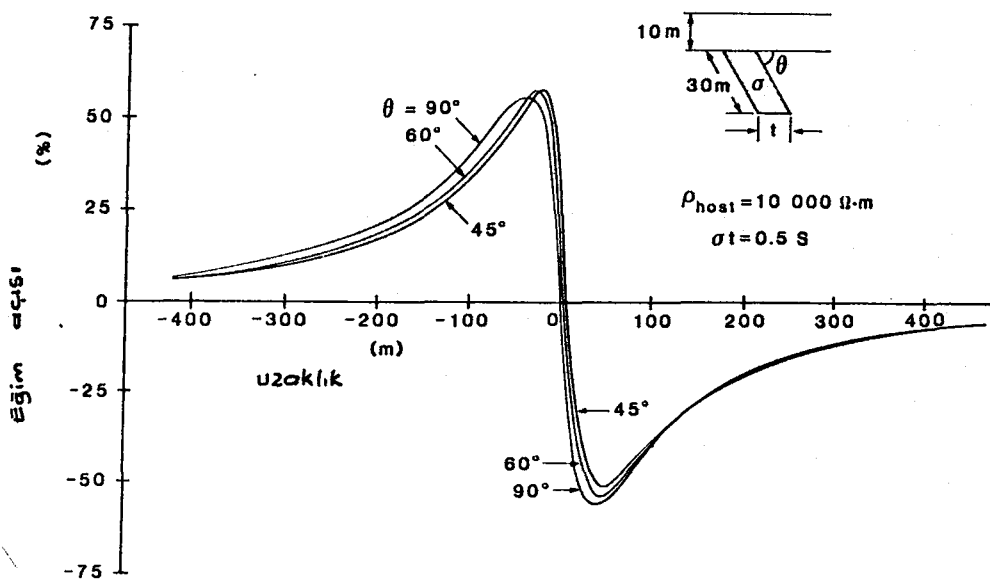
Tilt açısı ve eliptiklik abakları, düşey iletken dayk üzerinde yankayaç özdirençleri (Şekillerde ρ_1) sırasıyla 50, 250, 800, 2500 ve 8000 ohm.m olmak üzere, iletkenlik çarpı kalınlık parametresi de hesaba katılarak (a 2.t) düzenlenmiştir. Beş (5) karakteristik abak (Şekil 32, 33, 34, 35 ve 36), tepeden tepeye tilt açısı (α_{max}) yatay eksen ve tepeden tepeye eliptiklik (e_{max}) yüzde olarak düşey eksene denk gelecek biçimde çizilmiştir.

Sinha(1990), VLF frekans aralığında iki boyutlu eğimli levha türü yapıların tepkilerini teknikler kullanılarak gerçekleştirilmistir. Kullandığı modelin sematik gösterimi ve fiziksel anımları Şekil 23'deki gibidir.

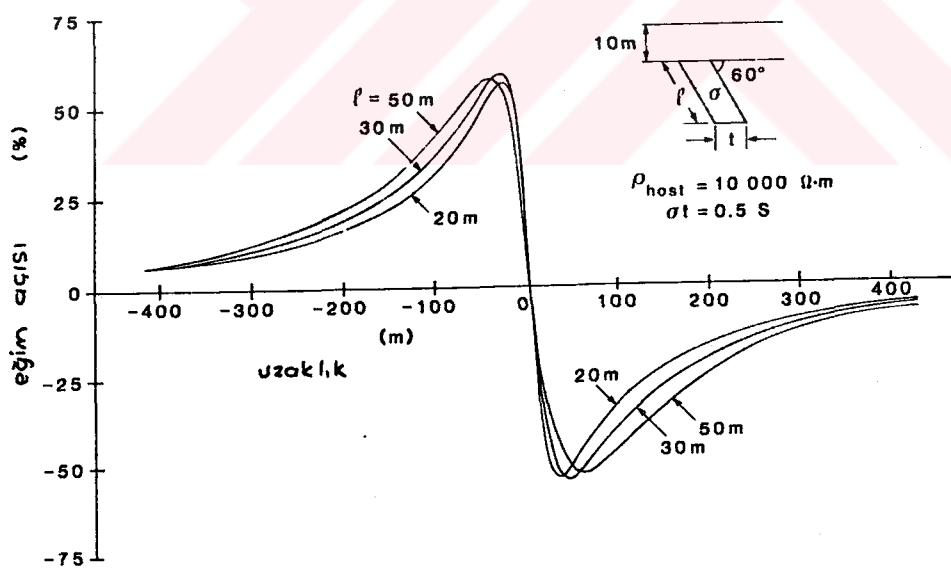
Böyle bir yapıda farklı h derinliklerinin (0,10, ve 20 m için) eğim açısı (tilt) üzerindeki etkileri Şekil 37'de verilmiştir. Daykin farklı eğim değerleri ($\theta=45^\circ, 60^\circ, 90^\circ$)



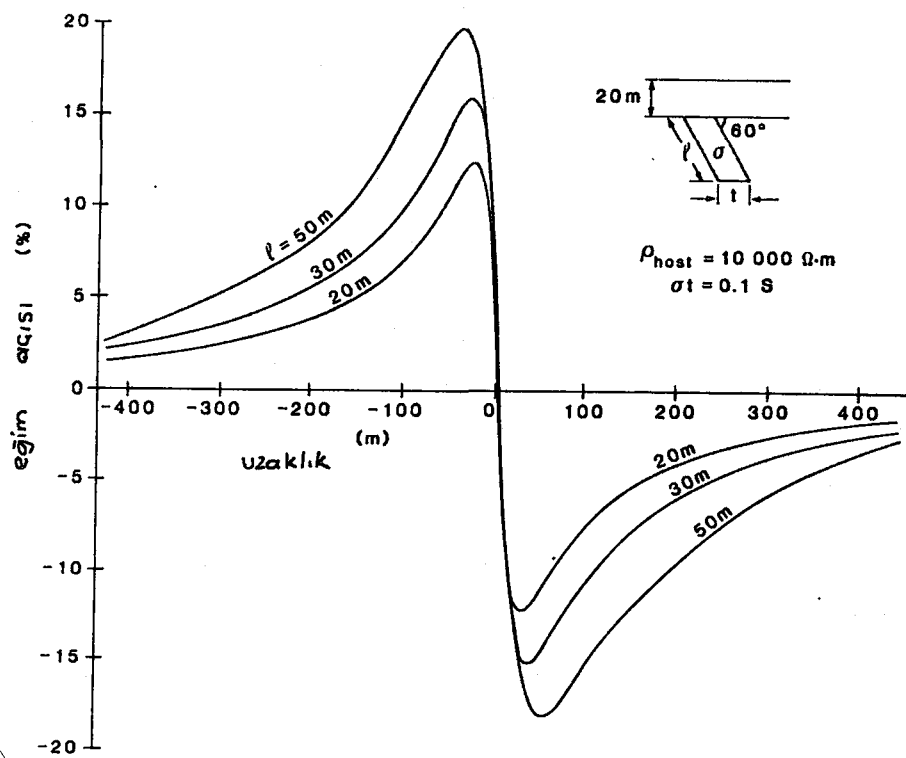
Şekil 37. Farklı derinlikler için eğimli daykin üzerindeki eğim (tilt) açısı değerleri (Sinha. 1990).



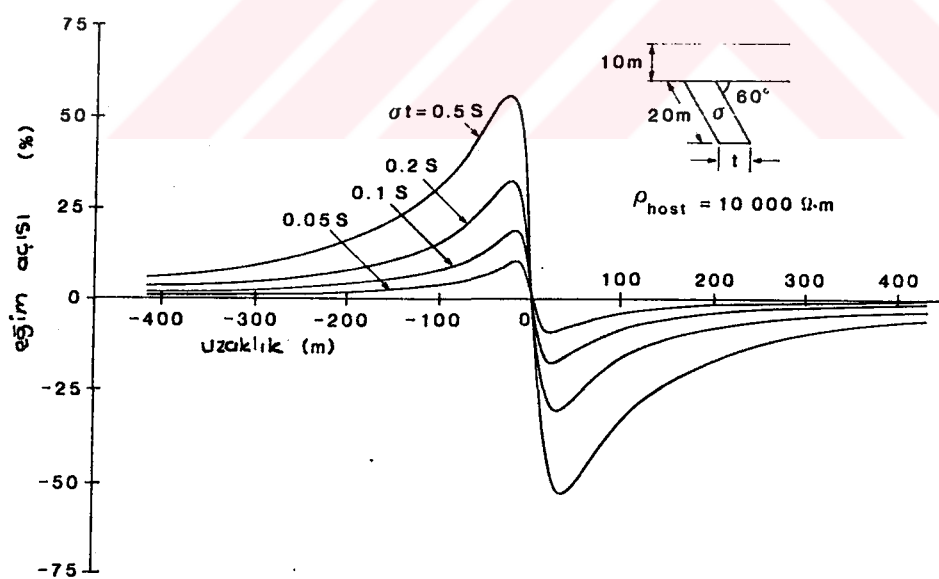
Sekil 38. Daykın farklı eğim değerleri için eğim açısı (tilt) değerleri ((Sinha, 1990))



Sekil 39. Farlı uzunluk etkileri $\sigma \cdot t = 0.5$ değeri için eğim açısı değerleri (Sinha. 1990)



Sekil 40. Farklı uzunluk etkileri $\sigma \cdot t = 0.1$ değeri için eğim açısı değerleri (Sinha, 1990)

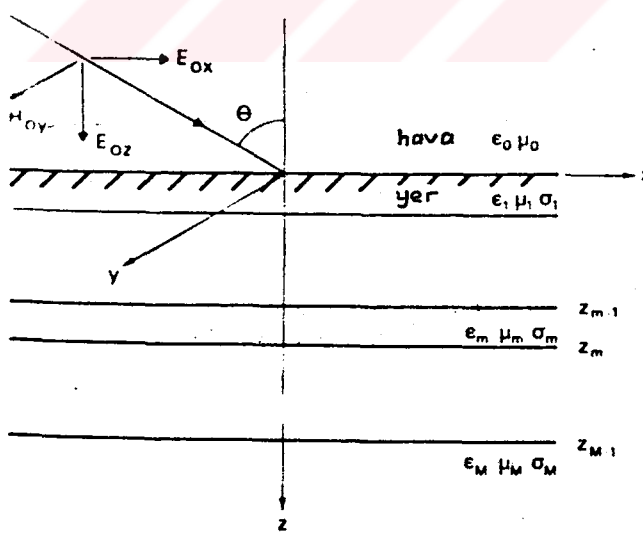


Sekil 41. Farklı iletkenlik x kalınlık ($\sigma \cdot t$) etkilerinin eğim açısı üzerindeki etkileri (Sinha, 1990)

etkileri ise Şekil 38'de verilmiştir. Şekil 39'da ise farklı uzunluk ($l=20m$, $30m$, $50m$) etkileri, $\rho \cdot t = 0.5$ için verilmiştir. Şekil 40'da ise $\rho \cdot t = 0.1$ değeri için farklı uzunluk ($l:20$, 30 ve $50m$) etkileri verilmiştir. Şekil 41'de ayrıca farklı "iletkenlik \times kalınlık" etkilerinin ($0.5 S$, $0.2 S$, $0.1 S$, $0.05 S$) yüzde olarak tilt açısı tepkisi üzerindeki etkileri görülmektedir.

3.2.5. Yatay Katman Modeli

Tabakalı yer modeli değişken kalınlıklara ve özdirençlere (veya iletkenliklere) sahip yatay katmanları içerir. Yalnızca manyetik alan bileşenlerinin ölçülmesi böyle yapılar üzerinde bilgi sağlamaz. Elektrik ve manyetik her iki veriye sahip olmak gerekir. Tabakalı ortam modelleri genellikle iki katman ve nadir olarak üç katman üzerine kurulur (Şekil 42).



Şekil 42. Yatay katmanlı yer modeli (Wait, 1962)

Düzlem dalga için yatay katmanlı modelin tepkisi Crossley (1981) tarafından verilmiştir. Homojen bir yer için görünür özdirenci (62a) ve fazı (62b) denklemleriyle verilmiştir.

Yer homojen değilse benzer ifadeler,

$$\phi = \arg Z_1 = \frac{\pi}{4} + \arg Q \quad (92a)$$

$$\phi = \arg Z_1 = \frac{\pi}{4} + \arg Q_1 \quad (92b)$$

ile tanımlanmış olarak verilecektir. Burada Q düzeltme veya tabakalanma faktörüdür. Deplasman akımlarından ileri gelen terimin çok küçük olduğu ve ihmali edildiği varsayımyla homojen yer için tilt açısını,

$$\alpha_o = \frac{-1}{\sin \theta} \left(\frac{i\omega \mu_1 e_o p_1}{\mu_o} \right)^{\frac{1}{2}} \quad (93)$$

yazılabilir. Tabakalı ortamlarda kullanmak üzere bir tabakalanma veya düzeltme faktörü Q_m tanımlayabiliriz. m tabaka çözümü için bu,

$$Z_i = (i\omega \mu_1 p_1)^{\frac{1}{2}} Q_1 \quad (94)$$

$$Q_m = \frac{B_m Q_{m+1} + \tanh(\alpha_m \sqrt{i})}{1 + \beta_m Q_{m+1} \tanh(\alpha_m \sqrt{i})} \quad (95)$$

olur.

İki Katman Modeli

Sonlu yarı ortam üzerinde bulunan tek bir tabaka durumunda $m = 2$ ise yukarıdaki denklem

$$Z_1 = (i\omega \mu_1 p_1)^{\frac{1}{2}} Q_1 \quad (96)$$

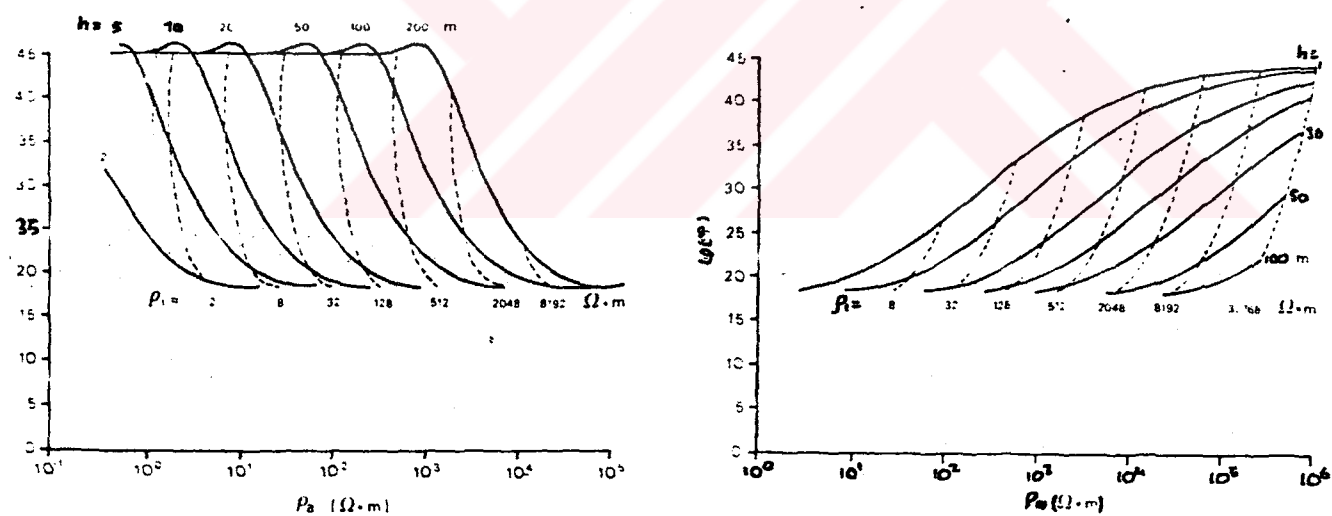
$$Q_1 = \frac{\beta_1 + \tanh(\alpha_1 \sqrt{i})}{1 + \beta_1 \tanh(\alpha_1 \sqrt{i})} \quad (97)$$

'e indirgenir. Burada,

$$\alpha_1 = (\omega \mu_1 \sigma_1)^{\frac{1}{2}} h_1 \quad (98)$$

$$B_1 = \sqrt{\frac{\rho_2}{\rho_1}} \quad (99)$$

dir.



Sekil 43. özdirenç oranı $\rho_2/\rho_1=30$ için iki katmanlı çözüm için $\rho_2-\Phi(\omega)$ eğrileri (a), benzer özdirenç oranı için farklı bir çözüm sonucu elde edilen $\rho_2-\Phi(\omega)$ eğrileri (b) (Crosley, 1981)

İki katman modelini üç değişken oluşturur. Altaki katmanın özdirençi ρ_2 , üst katmanın özdirençi ρ_1 ve derinliği h_1 . Arazide ρ_a ve Φ_a 'yi ölçükten sonra bu üç değişkenden birini bilmemiz gereklidir. Eğer bilgi yoksa ρ_2/ρ_1 oranını kestirebiliriz. Bunun için Jones ve Telford (1981) bazı grafikler hazırlamışlardır (Şekil 41a ve b). Şekil 42 iki tabakalı modelimiz için kullanacağımız abakları gösterir. Bu egrilerin kullanım usulü Çizelge 3'de açıklanmaktadır. İki tabakadan daha fazla tabaka için de genel denklemin açılmları mümkündür (Mathienson ve Crossley, 1981). Fakat yorumlamada düzensizlik artar, tabaka çözünürlüğü azalır.

İki katman çözümü için bir örnek yapalım. Verilenler $\rho_a = 5000 \text{ ohm.m}$, $\Phi_a = 40$ ve $f = 16400 \text{ Hz}$ olsun. Birinci durumda $\rho_1 = 500 \text{ ohm.m}$ değerini bildiğimizi varsayarsak,

- a) $\rho_a = \rho_1 \cdot Q^2$ 'den $Q = 3.15$ bulunur.
- b) Abaktan (Q, Φ_a) arakesitinden $\beta = 3.15$ bulunur.
- c) α değeri (abaktan) 0.1 bulunur.

d) $\alpha = \sqrt{\frac{\omega \mu_0}{\rho_1}} \cdot h_1$ 'den $h_1 = 6.2 \text{ m}$ bulunur.

e) $\beta = \sqrt{\frac{\rho_2}{\rho_1}}$ 'den $\rho_2 = 4950 \text{ ohm.m}$ bulunur.

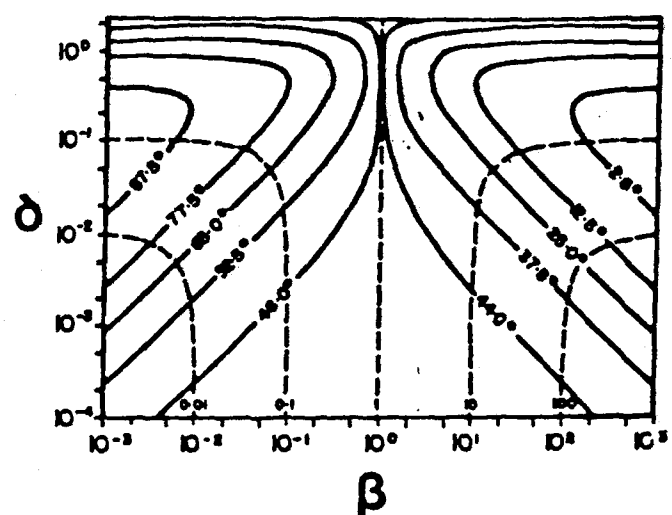
İkinci durumda elimizde yalnızca $\rho_a/\rho_1 = 9.9$ oranı mevcutsa;

- a) $\rho_a/\rho_1 = \beta^2$ den $\beta = 3.146$
- b) (β, Φ_a) dan (abaktan) $\alpha = 0.1$
- c) $\rho_a = \rho_1 \cdot Q^2$ den $\rho_1 = 505 \text{ ohm.m}$

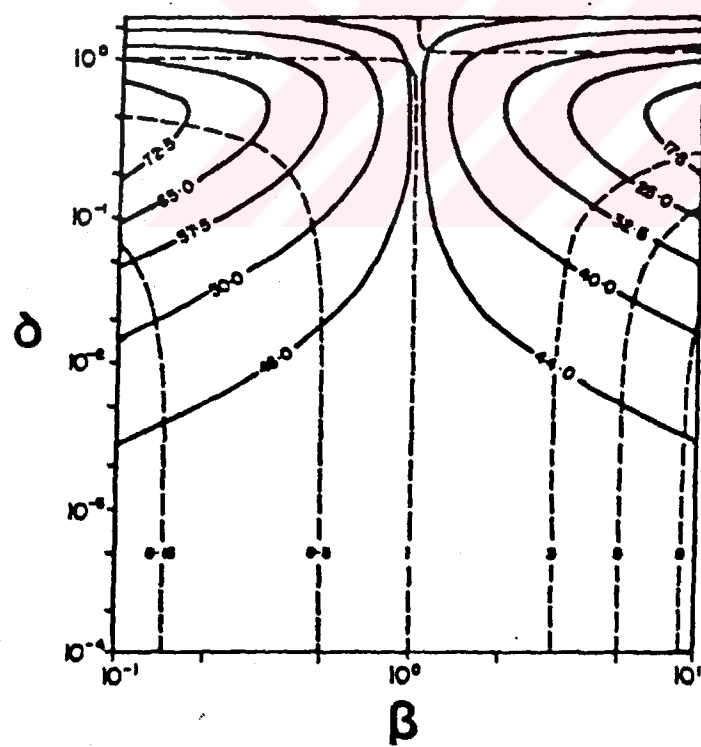
e) $\alpha = \sqrt{\frac{\omega \mu_0}{\rho_1}} \cdot h_1$ den $h_1 = 8.8 \text{ M}$

f) $\rho_a = \beta^2 \rho_1$ den $\rho_a = 4990 \text{ ohm.m}$ bulunur.

Özdirencli ana kaya üzerinde üstkatman değişimleri bu teknikle oldukça etkili olarak haritalanabilir. Yeraltısuyu



----- α
— β_a



Sekil 44. İki katman abakuları (Wrigth, 1988)

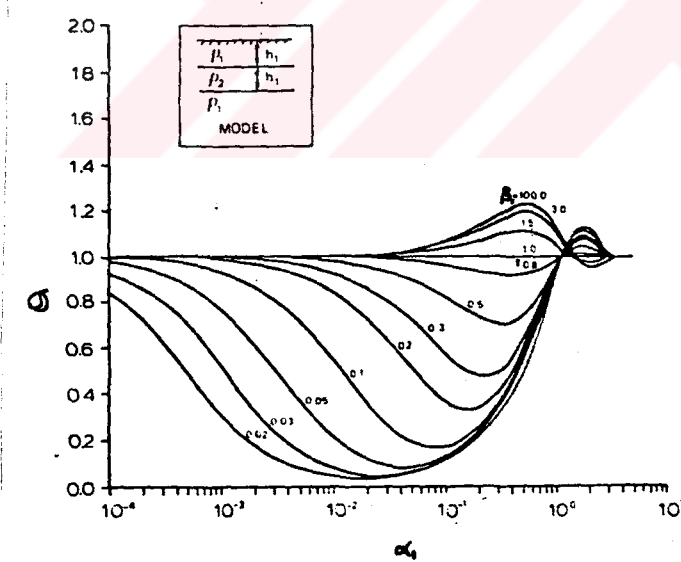
aramaları, mühendislik jeofiziği uygulamaları yapılabilir. Çevre kirlenmesi konularında ρ_a deki değişimler ve ρ_i deki değişimler kirlenme bölgelerini yansıtır.

Üç Katman Modeli

ρ_1 , h_1 , ρ_2 , h_2 ve ρ_a olmak üzere beş değişken içeren üç katman probleminin yorumlanması, (ρ_a ve ϕ_a) gözlemlenmiş niceliklerine bağlı olarak bazı zorluklar olmasına rağmen yapılmaktadır (Mathienson ve Crossley, 1981):

$$Q_1 = \frac{\beta_1 Q_2 + \tanh(\alpha_1 \sqrt{I})}{1 + \beta_1 Q_2 \tanh(\alpha_1 \sqrt{I})} \quad (100)$$

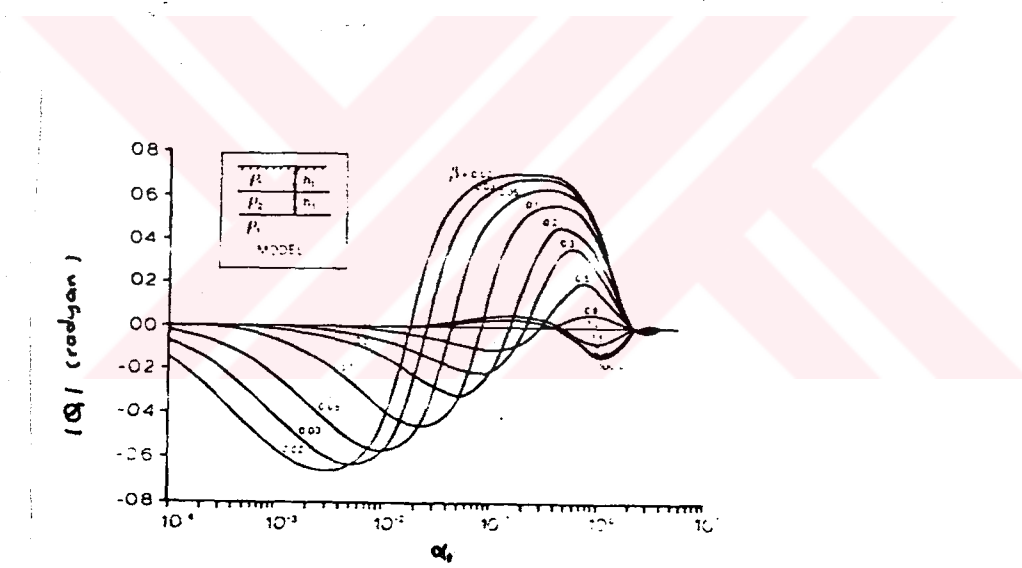
$$Q_2 = \frac{\beta_2 \tanh(\alpha_2 \sqrt{I})}{1 + \beta_2 \tanh(\alpha_2 \sqrt{I})} \quad (101)$$



Sekil 45. $h_1=h_2$ ve $\rho_a=\rho_i$ durumu için α_1 'in fonksiyonu olarak Q_1 'in genliği (Mathienson ve Crossley, 1981)

$$\text{Burada } \beta_2 = \sqrt{\frac{\rho_3}{\rho_2}} \quad , \quad \alpha_2 = \sqrt{\frac{\omega \mu_0}{\rho_2}} \cdot h_1$$

faz açısı ve görünür özdirenç ($92a$ ve b) denkleminde olduğu gibidir. Üç katman yorumlamasın örnek olarak h_2/h_1 ve $\rho_3/\rho_1=1$ durumu için Şekil 45 ve Şekil 46'da gösterilmiştir. Q_1 ve $\arg Q_1$, α nın bir fonksiyonudur. Değişik seçeneklerle durum çeşitlendirilmiştir.



Sekil 46. Model Sekil 44'deki gibi olup Q_1 'in fazı çizilmiştir (Mathienson ve Crossley, 1981).

CİZELGE 3. İki tabakalı ortam değerlendirmesinde aşamalar
(Wright, 1988)

ρ_1 BİLİNİYORSA

1. $\rho_m = \rho_1 Q^2$ den Q 'yu hesapla.
2. Abaktan (Q , Φ_m) arakesinden β 'yı bul.
3. α değerini oku.

4. h_1 'i $\alpha = \sqrt{\frac{\omega \mu_o}{\rho_1}} \cdot h_1$ den hesapla.

5. ρ_2 'i $\beta = \sqrt{\frac{\rho_2}{\rho_1}}$ den hesapla.

ρ_2/ρ_1 BİLİNİYORSA

1. $\rho_m = \beta \rho_1$ 'den β 'yı hesapla.
2. (β , Φ_m) dan

α 'yı bul.

3. Q değerini oku.

4. h_1 'i $\rho_m = \rho_1 Q^2$ den hesapla.

5. h_1 'i

$$\alpha = \sqrt{\frac{\omega \mu_o}{\rho_1}} \cdot h_1$$

den hesapla

6. $\rho_2 = \beta^2 \rho_1$ den
 ρ_2 yi hesapla

3.3. Sayısal Modeller

Sayısal modelleme genel olarak elektromanyetik olayların tanımlandığı özel diferansiyel denklemler ya da integral denklemlerinin her birinin çözümüne ihtiyaç gösterir. Bu yaklaşım hemen hemen sonsuz değişkenli karmaşık durumların modellenmesi için hic de azımsanamayacak bir gücü sahiptir. Aşağıda VLF tepkilerinin sayısal modellenmesinde en çok kullanılan integral denklemleri yöntemi, Sonlu Farklar yöntemi ve Sonlu Elemanlar yöntemi tartışılacaktır.

Integral Denklemi Yöntemi: Bu yöntemle kısmi türevlerden oluşan denklemler sınır koşullarında çözülen integral denklemlerine indirgenir. Bu tür çözüm daha çok üç boyutlu süreksiz ortamlarda manyetelürik değerleri bulmak için kullanılır.

Sonlu Elemanlar Yöntemi: Yöntemin elektrik ve EM yöntemlere uygulanışı Coggon (1971) tarafından sunulmuştur.

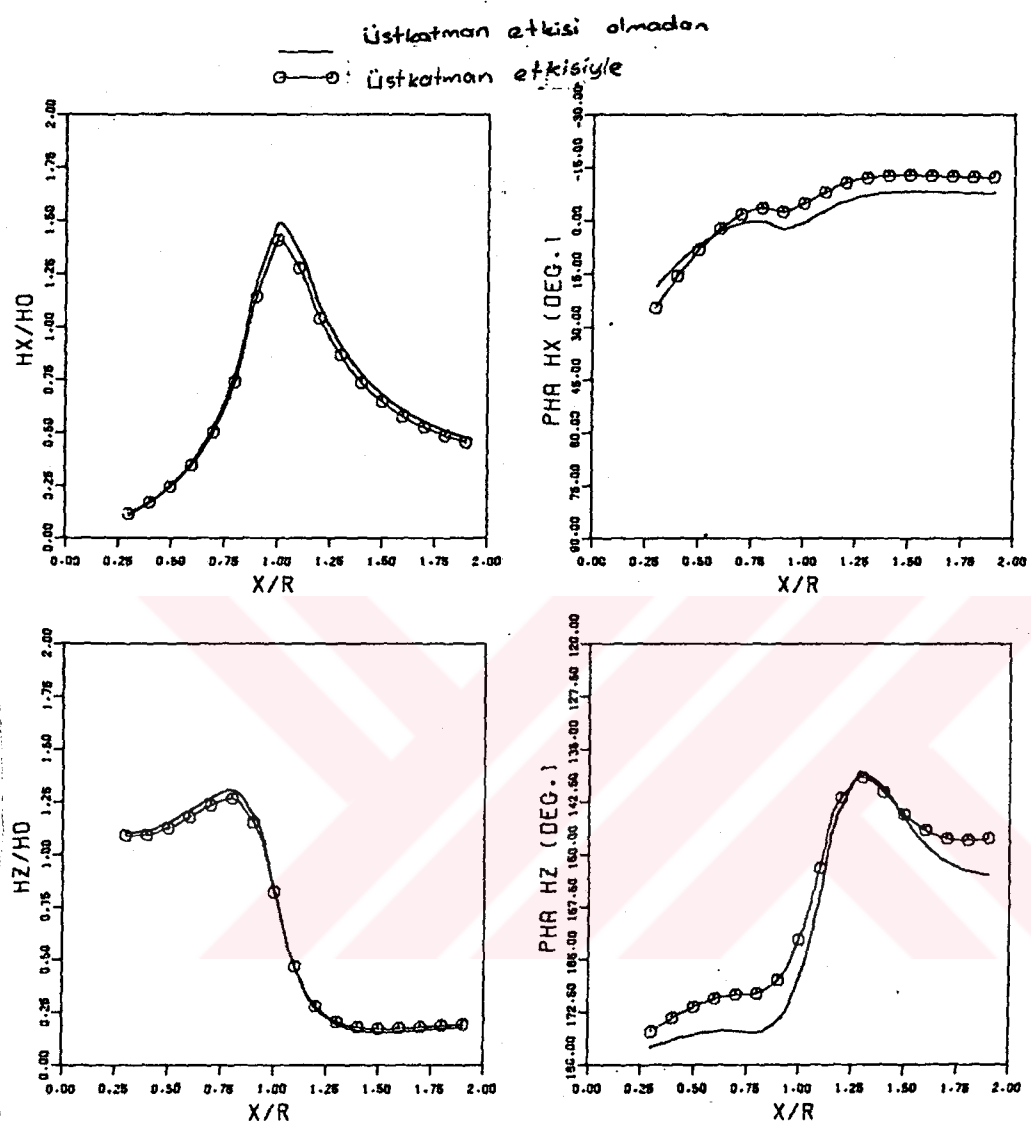
Sonlu Farklar Yöntemi: Jeofizik problemler kimi zaman değişkenlerin sürekli fonksiyonları olarak karşımıza çıkarlar. Sonlu farklar yöntemi, sayısal analizde geniş bir kullanma alanına sahip olup EK.1'de matematik ayrıntısı anlatılmıştır.

Jeofizigin diğer dallarında olduğu gibi VLF yönteminde de üç boyutlu diferansiyel dalga denkleminin çözümü gereklidir:

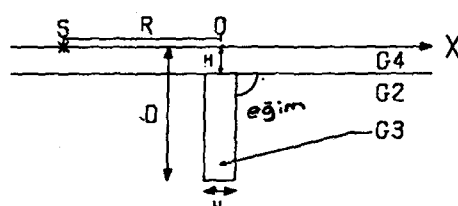
$$\frac{\partial^2 U}{\partial x^2} + \frac{\partial^2 U}{\partial y^2} + \frac{\partial^2 U}{\partial z^2} = k^2 U$$

Bu denklem bazı sınır şartları - bu şartları modelin geometrik ve fiziksel özellikleri belirler - altında çözülür.

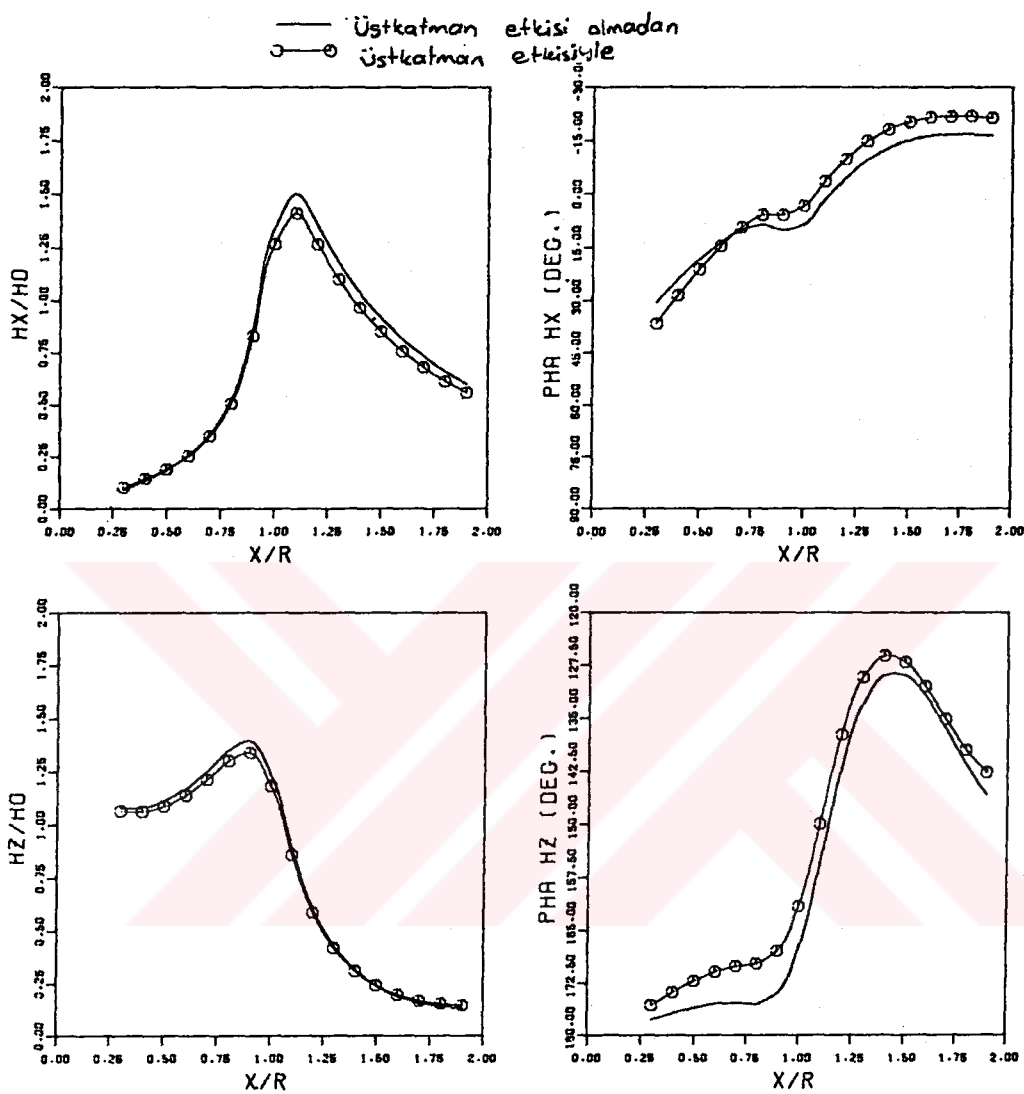
Yatay, homojen olmayan ve izotrop modellerin VLF tepkileri sonlu elemanlar teknigi kullanılarak Kaikonen(1979) tarafından hesaplanmıştır. Sonuç olarak tilt açısı ve eliptikliğin zayıf iletken için benzer polariteye sahip olduğu fakat eliptikliğin iyi iletkenlerde polarite ve şekil bakımından değişikliğe uğradığı elde edilmiştir. Kaikonen (1977)'nin, düşey levha türü (dayk) yapılar için verdiği tepkiler Şekil 47, 48'de verilmiştir.



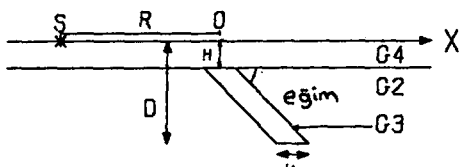
X = Sden uzaklık
 R = 25.0 M
 F = 1000.0 Hz
 eğim = 90.0 DER.
 G_2 = 0.10 1/OMM-M
 G_3 = 20.00 1/OMM-M
 G_4 = 0.50 1/OMM-M
 H = 2.50 M
 D = 17.50 M
 N = 5.00 M



Sekil 47. Düşey levhanın sayısal çizgisel kaynak modellemesi
(Kaikonen, 1977)



X = S den uzaklık
 R = 25.0 M
 F = 1000.0 Hz
 eğim = 45.0 DER.
 G_2 = 0.10 1/OMM-M
 G_3 = 20.00 1/OMM-M
 G_4 = 0.50 1/OMM-M
 H = 2.50 M
 D = 17.50 M
 W = 5.00 M



Sekil 48. Eğimli levhanın nümerik çizgisel kaynak modellemesi
(Kaikonen, 1977)

3.4. VLF Egim Acisi Ölçülerinin Dogrusal Filtrelenmesi

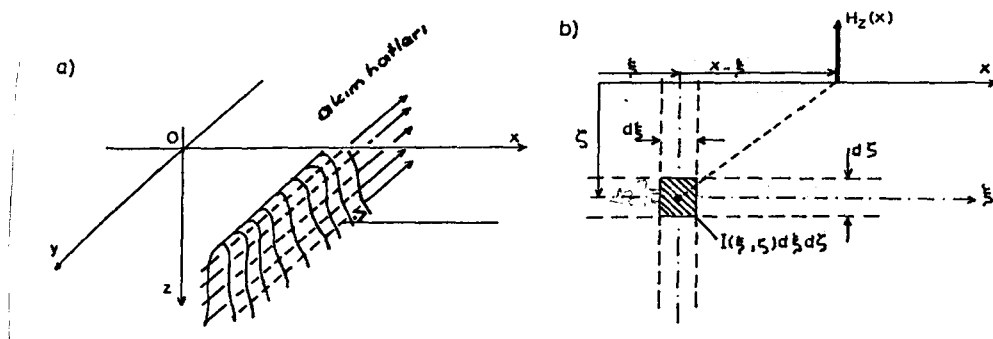
Karous ve Hjelt (1983), VLF eğim açısı ölçümleri için farklı bir değerlendirme yöntemi geliştirmiştir. Değerlendirme çok basit olarak Manyetik alan (H) ile ona neden olan akım (J) yoğunluğu arasındaki ilişkiden yola çıkar. Manyetik alanın düşey bileşeni Biot-Savart yasası (Reitz ve Milford, 1966) gereği aşağıda izlendiği gibi akım yoğunluğu $J(\xi, \zeta)$ tarafından oluşturulur:

$$H_z(x) = \frac{1}{2\pi} \int_{-\infty}^{\infty} d\xi \int_{-\infty}^{\infty} J(\xi, \zeta) (x - \xi) d\zeta / [(x - \xi)^2 + \zeta^2] \quad (102)$$

(102) konvolusyon integrali $\zeta = z$ derinliğinde, z 'inci genişlikte akım yoğunluğuyla sınırladığı varsayımlıyla basitleştirilir.

$$\int_{-\infty}^{\infty} J(\xi, \zeta) = J(\xi) \Delta z \text{ ile biz,}$$

$$H_z(x) = \frac{1}{2\pi} \int_{-\infty}^{\infty} J_a(\xi) \cdot \Delta z \cdot (x - \xi) \cdot d\xi / [(x - \xi)^2 + z^2] \quad (103)$$



Sekil 49. (a) Akım hatlarının yönlenmesi ve koordinat sistemi
 (b) akım yoğunluğu elemanın manyetik alanı (Kraus ve Hjelt, 1983)

elde ederiz. Denklem, Bendat ve Piersol'un (1968) lineer filtre kuramı kullanılarak Δz için çözülebilir. VLF'de ayrık saha verimiz olduğu için yukarıdaki integral denklemini ayrık hale getirmemiz gereklidir. Bunun için varsayıyalım ki $Hz(x)$, x aralıklarıyla eşit olarak uzak noktalarda ölçülmüş olsun. Bu anomaliye yol açan akım yoğunluğu dağılımı z derinliğinde dağılan noktalarda hesaplanabilir:

$$H_{zm}(x_i) = \frac{1}{2\pi} \int_{-\infty}^{\infty} \frac{J_a(\xi_j) \Delta z \Delta x \cdot (x_i - \xi_j)}{(x_i - \xi_j)^2 + \Delta x^2} d\xi_j \quad (104)$$

$$x_j = i \cdot \Delta x$$

$$\xi_j = (j - j_0) \cdot \Delta x$$

$$0 \leq j_0 \leq$$

buradaki $H_i \frac{2\pi}{\Delta x} H_{zm}(x_i)$ ve $J_a(\xi_j) = J_j$ dir. Böylece

$$H_i = \sum_{j=-\infty}^{\infty} J_j K_{ij} \quad (105)$$

$$K_{ij} = \frac{(i - j - j_0)}{((i - j - j_0)^2 + 1)}$$

elde edilir. Ideal ters filtre (105) denkleminin çözümüyle bulunur. Filtre katsayılarının sayısı kuramsal olarak sonsuzdur. Bu yüzden,

$$H_i = \sum_{j=-n}^{n+1} J_j K_{ij}$$

$$J_j = \sum_{i=-n}^{n+1} K_{i,j}^{-1} (H_{i+j})$$

olur. Sonuçlar göstermiştir ki aşağıdaki filtre pratikte iyi çalışır:

$$\frac{\Delta z}{2\pi} J_a(\frac{\Delta x}{2}) = -0.205H_2 + 0.323H_4 - 1.446H_0 + 4.446H_1 - 0.323H_2 + 0.205H_3$$

burada, $H_i = H_{zm}(i, \Delta z)$ dir. bu tek bir akım hattının alanının ters çözümü için %8'den daha küçük bir hata veren en kısa filtredir.

Alan verilerini yorumlarken ölçülmüş değerler yumusatılmalıdır. Bununla birlikte simetrik filtre aşağıdaki gibidir:

$$\frac{\Delta z}{2\pi} \bar{J}_a(0) = -0.102H_3 + 0.0559H_2 - 0.561H_4 + 0.561H_1 - 0.0559H_2 + 0.102H_3$$

burada, $\bar{J}(0) = \frac{1}{2} [J(\Delta x/2) + J(-\Delta x/2)]$ ortalama akım yoğunluğuudur.

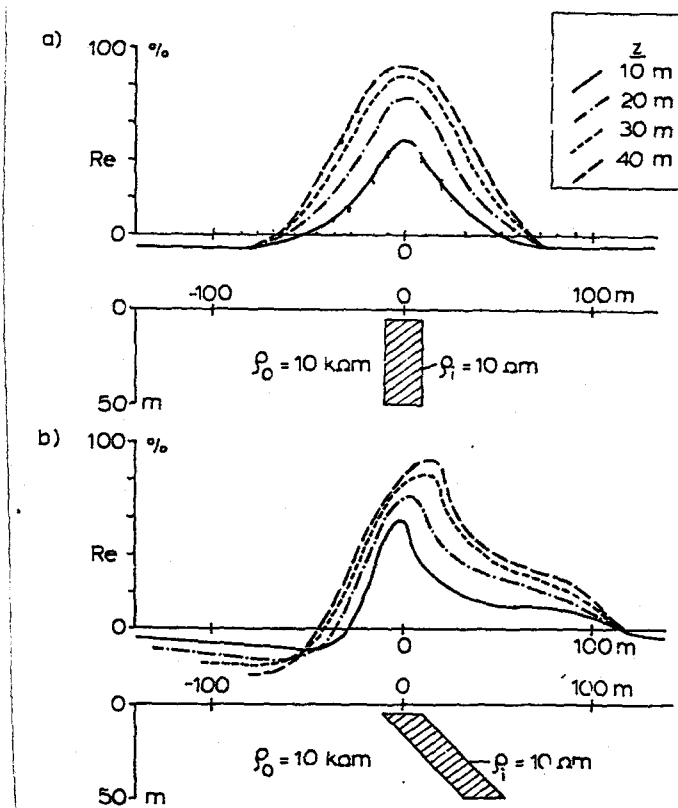
Filtre katsayıları akım yoğunluğu bilesenine karşılık olarak verilen bağıl anomali H_{zm}/H_0 sanal ve gerçek bilesenine uygulanır (Şekil 49). Çeşitli derinliklerde (ör: X, 2 X,...) ters filtrelerinin hesaplanmasıyla derinlikle akım yoğunluğu değişimi incelenebilinir.

Değişken derinlikler için ($Z=10, 20, 30$ ve 40) eşit yoğunluk eğrileri Sekil 50 ve 51'de gösterilir. Bununla birlikte düşey kesitlerin gerçek akım dağılımını temsil etmediği hesaba katılmalıdır. Doğrusal filtrenin kullanılmasıyla belli derinlikte dağılan eşit akım yoğunluklarıyla anomalinin nedeniyle bir yorum getirilebilir. Bu filtrenin nasıl uygulanacağına ilişkin bir örnek ile konuyu daha somut hale getirmek mümkündür. Örneğin elimizde bir profil boyunca sırasıyla $X=0$ için yüzde olarak $H_{zr}=-20$, $X=25$ için $H_{zr}=-35$, $X=50$ için $H_{zr}=-40$, $X=75$ için $H_{zr}=-45$ $X=100$ için $H_{zr}=-75$, $X=125$ için $H_{zr}=-80$, $X=150$ için $H_{zr}=-75$, $X=175$ için $H_{zr}=-45$, $X=200$ için $H_{zr}=0$, $X=225$ için $H_{zr}=45$,

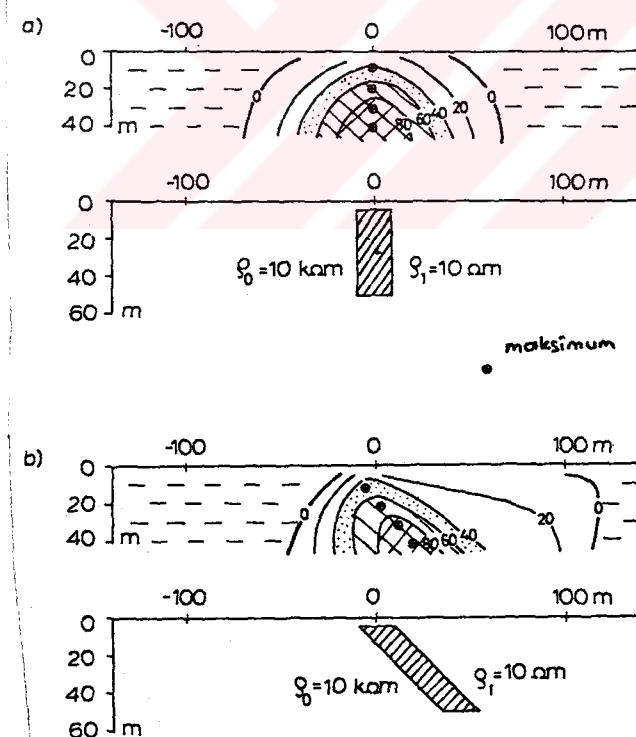
$X=225$ için $Hsr=75$, $X=250$ için $Hsr=80$, $X(275)$ için $Hsr=75$,
 $X=300$ için $Hsr=45$, $X=325$ için $Hsr=40$, $X=350$ için $Hsr=35$,
 $X=375$ için $Hsr=35$ $X=400$ için $Hsr=20$ değerlerine sahip
olduğumuzu varsayıyalım. Bu ayrik değerler yüzde olarak gercel
manyetik alan Z bileşenleridir ve düşey bir daykin
oluşturduğu anomalinin ayriklaştırılmış halidir. Bu değerlere
simetrik filtreyi uyguladığımızda elde edeceğimiz ilk değer
filtrenin -3 den +3'e değişmesi nedeniyle 4. değer olacaktır.
Formülde yerine koyarsak bu değer;

$$\Delta \frac{Z}{2\pi} J_{a(o)} = -0.102H(1) + 0.059H(2) - 0.561H(3) + 0.561H(4) - 0.059H(5)$$

olacaktır. $Z=1$ alıp yukarıdaki değerleri yerine koyarsak 4. nokta için akım yoğunluğu değeri olan $J_a = -20.31$ değerine ulaşırız. Benzer işlemleri değerleri birer birer kaydırarak yaptığımızda 4. noktadan diğer noktalara doğru J_a değerlerini elde etmemiz mümkün olur. Yatay eksen nokta yerleri düşey eksen akım yoğunluğu değerleri olmak üzere çizersek Sekil 52'deki grafigi elde etmiş oluruz. $Hsr (%)$ eğrisinin sıfır olduğu yerin altında iletken bir dayk vardır. Filtrelemeden sonra elde edilen $Jr (%)$ değeri de aynı Sekil üzerine çizilmiştir. Dikkat edilirse $Jr (%)$ eğrisi en büyük değerini daykin üzerinde almaktadır. Bu çok önemlidir. Zira yüzlerce VLF verisinden elde edilmiş $Hsr (%)$ değerine bu filtreyi uyguladığınızda bu kadar çok veri içinde gözünüzden kaçan düşey yapıları滤relemeden sonra kolayca haritalayabilirsiniz. Bu amaçla Akyazı'da 16.0 kHz frekansında alınan (İlkışık ve Bayrak, 1993) bir VLF prafilinin $Hsr (%)$ ve $Hzi (%)$ bileşen değerlerine bu yöntem uygulanmıştır. Gercel bileşene $(\% Hsr)$ uygulanan filtre sonucu elde edilen akım yoğunluğunun gercel bileşeni $(\% Jr)$ bizim için yukarıdaki örnek nedeniyle daha önemli bilgiler taşımaktadır. Akyazıda alınan VLF verisine uygulanan filtre sonucu bulduğumuz akım yoğunluğunun gercel bileşeni $Jr (%)$ yi yorumladığımızda (Sekil 53) X ekseninin sıfırdan itibaren metre olarak 200, 375, 450, 525, 675, 750, 1150 noktalarının altında elde ettigimiz pozitif $Jr (%)$ piklerinden dolayı

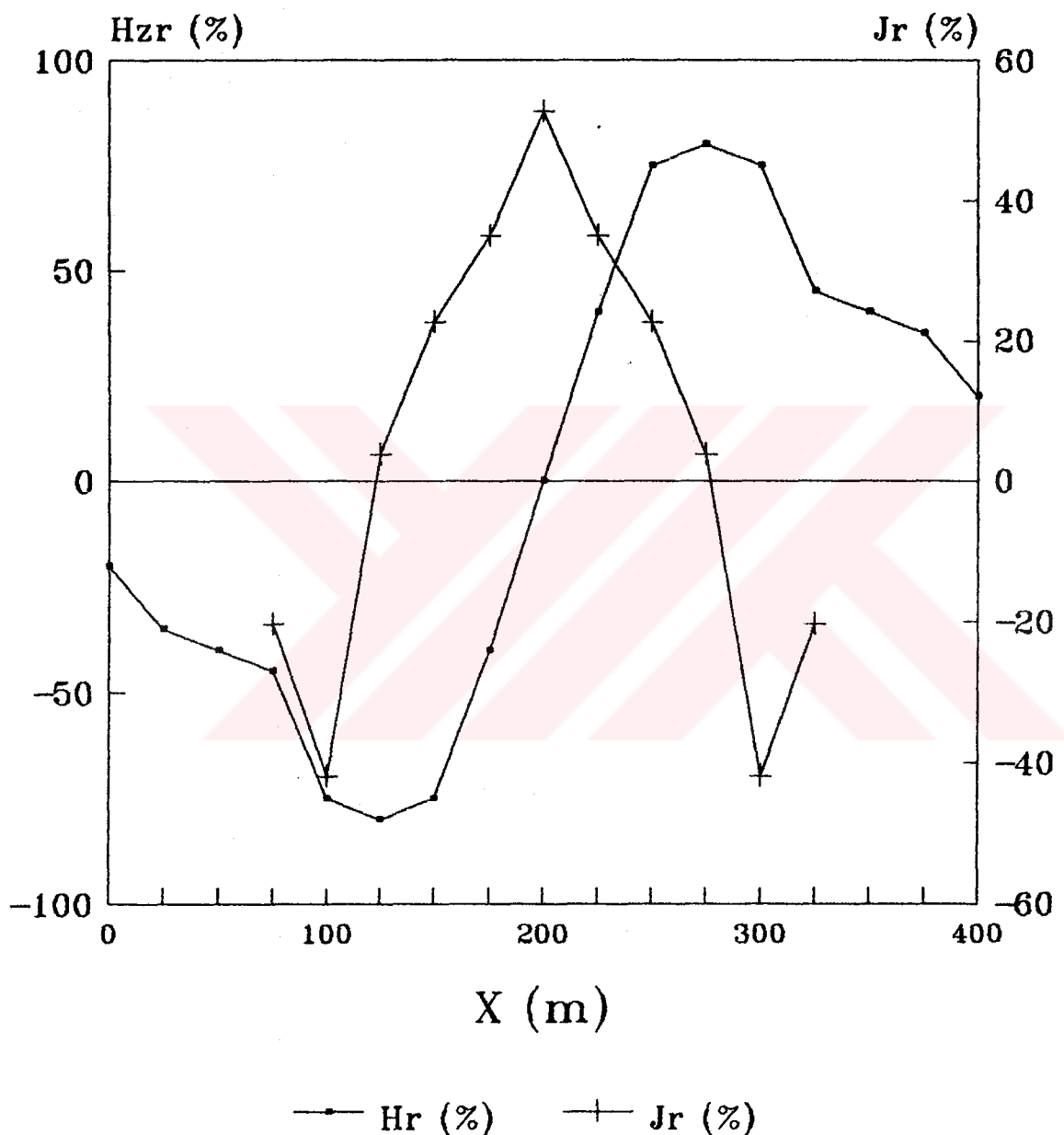


Sekil 50. Levha modelleri için hesaplanan (çesitli derinliklerde) eşdeğer akım yoğunlukları (Gerçel bölümler) (Kraus ve Hjelt, 1983)



Sekil 51. Levha modelleri için hesaplanan eşdeğer akım yoğunluklarının düşeykesitleri (krausve Hjelt, 1983)

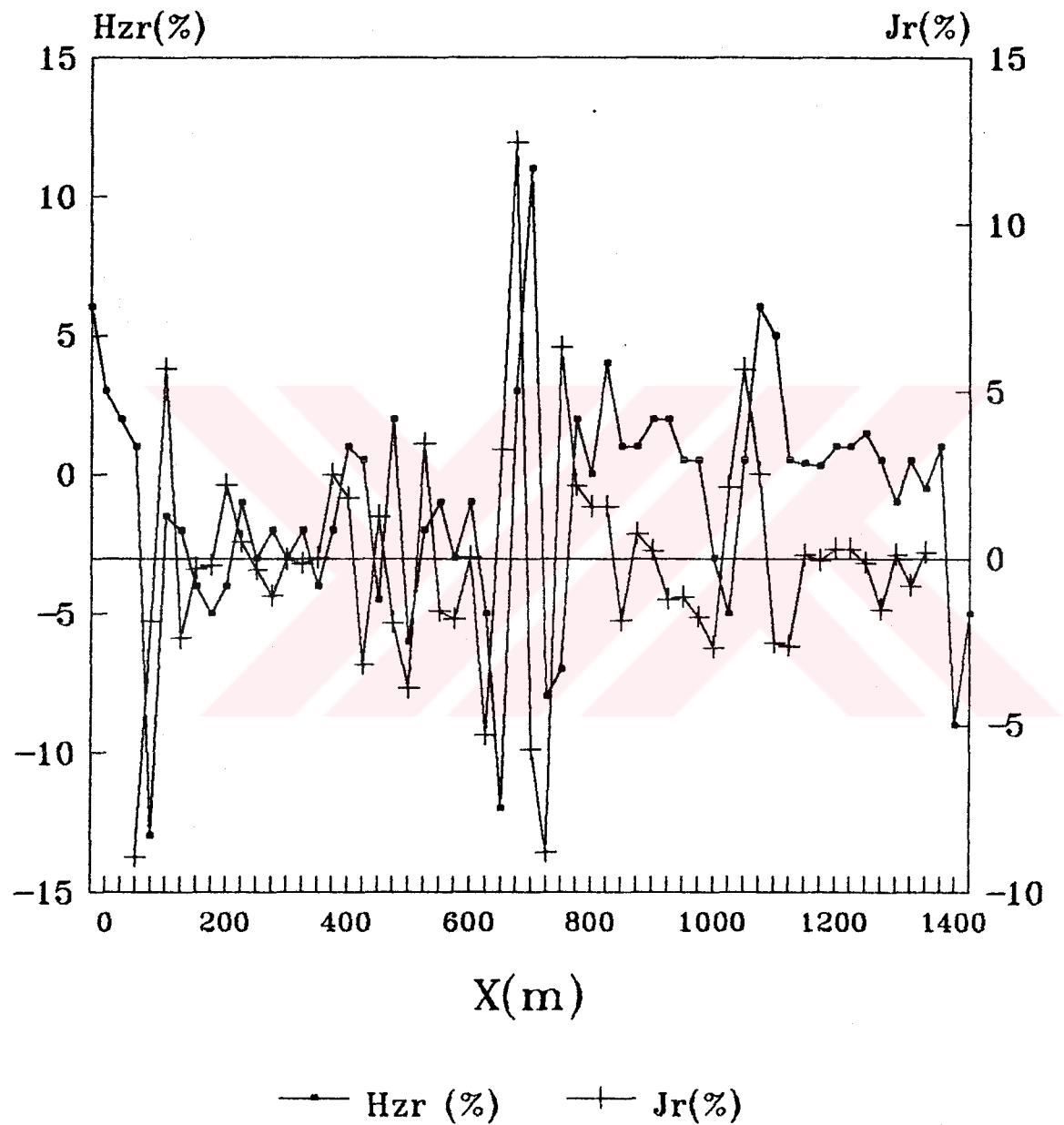
düsey iletkenlik süreksizlikleri beklenebilir. Ayrıca benzer filtre sanal bileşen değeri $H_{zi}(\%)$ 'ne uygulanmış elde edilen değerler $J_i (\%)$ olarak gösterilmiştir (Şekil 54).



Şekil 52. Filtreleme için örnek uygulama

AKYAZI-VLF, 16.0 kHz

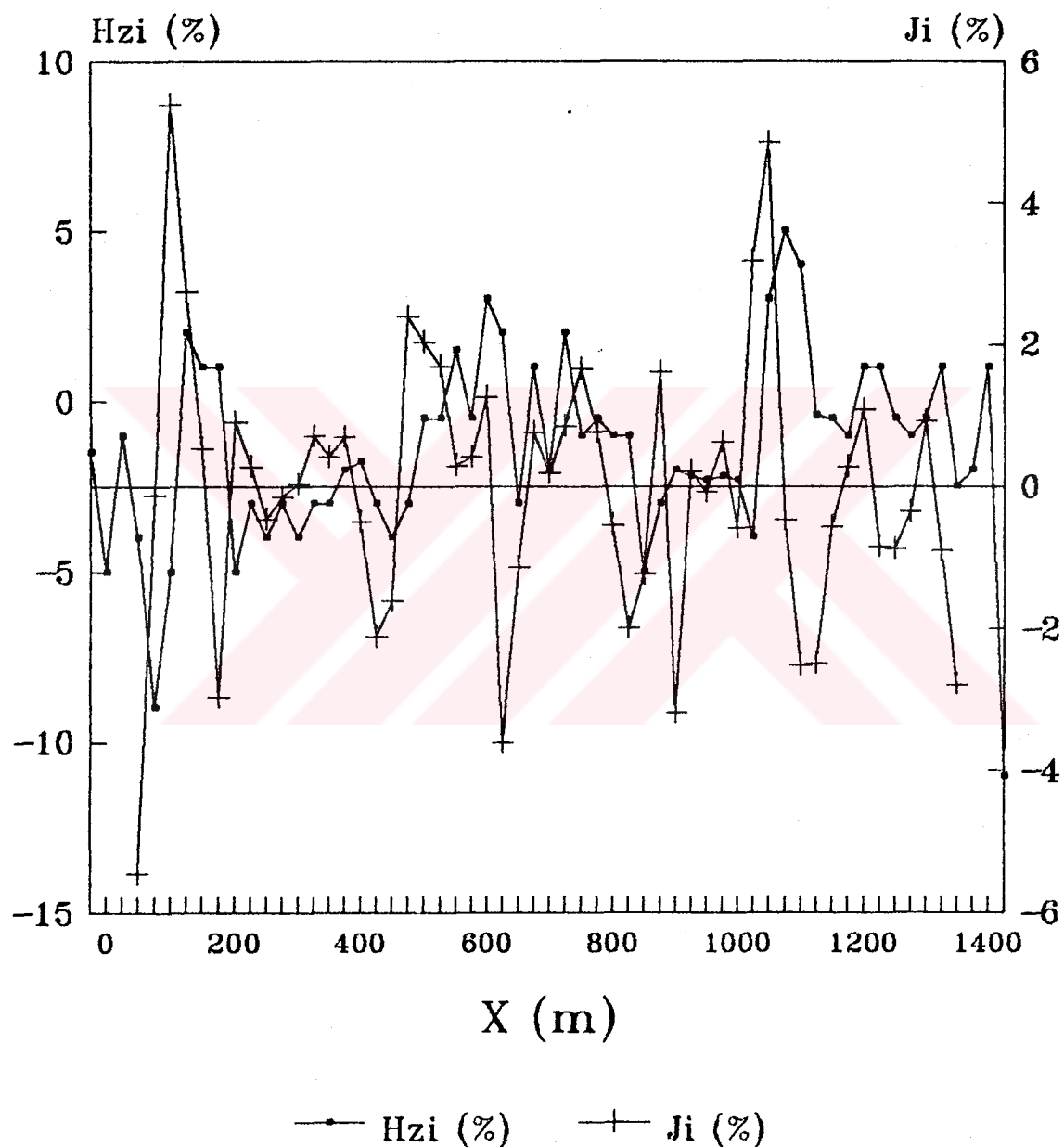
Line 10+00



Şekil 51. Gerçel (H_{rz}) bileşene uygulanan filtre sonucu elde edilen akım yoğunluğu J_r

AKYAZI-VLF, 16.0 kHz

Line 10+00



Sekil 51. Sanal (H_{zi}) bileşene uygulanan filtre sonucu elde edilen akım yoğunluğu J_i

IV.TARTISMA VE SONUC

VLF yöntemi için: bazı basit modellerin (küre, silindir, fay, dayk ve yatay katman) analitik çözümleri ve sayısal modelleme uygulama örnekleri bu çalışmasında incelenmiştir.

Jeolojik eşdegeri masif sülfit ya da karstik boşluk olabilen küre modeli için; VLF ölçüm parametrelerinden olan H_x profilinin büükülme noktası (Şekil 12) ve H_x ile E_y profilinin pikleri küre merkezi üzerindedir. E_y profili σ_0 (küre iletkenliği) σ_{ort} (ortam iletkenliği) ise düşük, tersi ise büyütür. Küre için derinlik yaklaşık olarak, H_x profili üzerindeki pikler arasındaki mesafedir veya H_x ile E_y profillerinde maksimum ve maksimum/3.5 noktaları arasındaki uzaklığın iki katı olarak bulunabilir. Kürenin direnci yüksek ise tepki egrileri daha genişir.

Masif sülfit yatağı ya da üst katmandaki çöküntü veya tümsek olarak düşünebileceğimiz silindir modeli birincil manyetik alana dik veya paralel olması halinde iki türlü düşünülür. Birinci durumda; H_x , E_y ya da E_z gözlenmez. Derinlik H_x eğrisi üzerindeki pikler arası uzaklığın yarısıdır ya da profil üzerinde maksimum ve maksimum/2 noktaları arasındaki uzaklık olarak bulunabilir. Birincil manyetik alana paralel yatay sonlu silindir durumunda H_x ve E_y bileşenleri vardır. Silindirin derinliği yaklaşık olarak E_y profili üzerinde maksimum ve maksimum/3.5 noktaları arasındaki uzaklığın iki katıdır. E_y profili $\sigma_0 > \sigma_{\text{ort}}$ ise pozitif aksi durumunda negatiftir.

Doğadaki karşılıkları ana kaya/zemindeki su içeriği, litolojik dokanak ya da kırık olabilen fay modelinde görünür özdirenç arayüzeyden uzaklaşıkça gerçek değerine yaklaşır.

VLF yönteminde en çok uygulanan modellerden biri olarak dayk modelinde ise birincil alan iletkenin (burada dayk) uzanım doğrultusuna paralel olduğu vakit ölçü kaçınılmaz bir

şekilde bozulur. İki iletken etkisinin genellikle her birinin tek başına yaptığı etkinin toplamı olmadığı ayrıca onlar arasında karşılıklı indüktansı da içerdigi görülebilir (Sekil 21).

Klasik VLF yönteminde E polarizasyondan yararlanılmasına rağmen, VLF-R yönteminde her iki (E ve H) polarizasyonu kullanmak mümkündür. Bir daykı sonlu farklar yöntemiyle modelleyerek; yan kayac iletkenliğinin etkisi, derinlik etkisi, eğim etkisi v.b. gibi etkileri belirlemek mümkündür. Ayrıca dayk modelinde eliptiklik ve eğim açısı parametreleri için hazırlanmış abaklarla da değerlendirme yapmak mümkündür.

Yatay katman modelinde ise; iki katman probleminde ilk katmanın özdirençi ρ_1 'in bilinmesi durumunda ya da bu bilinmiyorsa ρ_2/ρ_1 oranını tahmin ederek sonuca ulaşabiliriz. Benzer çözüm üç katman problemi için de geçerlidir.

Bu çalışmada, VLF yönteminin sayısal modellemesi sonlu farklar agirliklı olmak üzere deginilmiştir (Ek.1). Ayrıca bir akımın oluşturduğu manyetik alandan yola cıkarak VLF eğim açısı ölçülerinin filtrelenmesi üzerinde durulmuştur. Bu yolla VLF alanının bilesenlerinden olan manyetik alandan, ters filtrelerin kullanımıyla bu alanı oluşturan akım yoğunluğu dağılimini çeşitli derinlikler için hesaplamak mümkündür. Bu konuya ilgili bir örnek ülkemizde Akyazı'da alınan VLF profillerinin Hzr (%) ve Hzi (%) bilesenlerine uygulanmış ve sonuçta profil hattı boyunca akım yoğunluğu dağılimının kolayca belirlenebileceği ortaya çıkmıştır.

Genel bir sonuç olarak; VLF radyo dalgaları yöntemi ile özdirencli ana kaya üzerindeki üst katman değişimleri oldukça etkili olarak haritalanabilir. Yeraltisuyu araştırmaları, mühendislik jeofiziği uygulamaları yapılabilir. Günümüz için hayatı önem taşıyan çevre kirlenmesi probleminin toprak ve yeraltisuyu kirlenmesi konusu üzerinde VLF teknigiyle başarılı sonuçlar almak mümkündür. Nispeten düşük nüfuz derinliği nedeniyle arkeolojik araştırmalarda da bu yöntemin yararları sağlayabileceği açıklıktır.

Gelecekte VLF yöntemi için gelisme -diger jeofizik yöntemlerde olduğu gibi- iki yönlü olacaktır. İlki alet

teknolojisindeki gelişmeler ve bunun katkısı, ikincisi ölçülen değerlerin veri işleminin gelişmesiyle gelen katkı.

V. ÖZET

VLF Yönteminde Modelleme

Bu tez çalışmasında; Türkiye için oldukça yeni bir jeofizik yöntem olan VLF radyo dalgaları yönteminin ilkeleri ağırlıklı bir şekilde incelenmiştir. Bu amaçla; verici kaynagi oluşturan antenler, radyo dalgalarının özellikleri, yayının ortamı ve yerdeğiştirme akımları etkileri ile nüfuz derinliği temel denklemleriyle incelenmiştir.

VLF yönteminde jeofizik açıdan nispeten yüksek frekanslı EM dalgalar kullanıldığı için dalganın yayınımı diğer doğal ya da yapay kaynak kullanan EM yöntemlere göre bazı fiziksel parametrelerden daha fazla etkilenir. Bir ortamın özdirençi (ρ_i) arttıkça faz açısı (Φ) da (ϵ/ϵ_0 değerinin artmasıyla ilişkili olarak) etkilenmektedir.

Küre, silindir, fay, dayk ve yatay katman modellerinin analitik çözümleri pratik uygulamalarıyla verilmiştir. Modelleme konusunun ikinci kısmında sayısal modellerle ilgili örnekler verilmistir. VLF eğim açısı verilerinin filtrelenmesiyle basit bir şekilde akım yoğunluğu dağılımı elde edilebilir. Buna örnek olarak Akyazı'da (İlkışık ve Bayrak, 1993) bir ölçüm yorumlanmış ve varolan düşey iletkenlerin yeri belirlenmiştir.

VLF radyo dalgaları yöntemi ile özdirencli ana kaya üzerindeki üst katmandaki özdirenç değişimleri oldukça etkili bir şekilde haritalanabilir. Maden ve yeraltısuyu aramaları yapılabilir. Mühendislikteki uygulamalarla, çevre kirlenmesi konusunda kirlenme bölgeleri gerek yeraltısuyu kirlenmesi açısından gerekse toprak kirlenmesi açısından incelenebilir. Ayırca, bu yöntemle, fiziksel etkiler sonucu yeraltında gömülü kalan arkeolojik değerler gün ışığına çıkarılabilir.

SUMMARY

Modeling Techniques in VLF Method

In this thesis, principles of VLF (Radio Wave) method which is a relatively new for Turkey was investigated detail. For this purpose, antennas which is a source for technique, general and special properties of radio waves, propagation medium, influence of dielectric currents, and skin depth with their basic equation was studied.

The analatrical solution of spher, cylinder, fault, dike, and horizontal layered earth models was given with the practical applications. In the second part of modeling, samples for numerical modeling was also given. Distrubution of current density can be determine very effectly by filtering of VLF dip-angel measurements. One sample connected with this subject was made for the values of Akyazi VLF data (İlkisik ve Bayrak).

VLF method can be use effectively in several applications such as mineral exprolation, ground water detection, environmental studies, enginering geophysical studies, ionospheric studies. and even in archeological studies.

VI. KAYNAKLAR

- AKKAYA, İ., (1982): Anten Teorisine Giriş, İTÜ Yayınları İstanbul.
- ARSLANPAY, D., (1980): Jeofizikte Elektromanyetik Yöntemler, MTA Yayıni, (Keller ve Frischnecht`in Electrical Methods in Geophysical Prospecting`in elektromanyetik kısmının türkçe çevirisi).
- ARCONE,S.A.(1978): Investigation of a VLF Airborne Resistivity Survey Conducted in Northern Main, Geophysics, 43(7), 1399-1417.
- ATAMAN, A., (1975): Antenler, (Ders Notları), İTÜ.
- BAKER, H.A., MYERS, J.O. (1979): VLF-EM Model Studies and Some Simple Quantitative Applications to Field Results, Geoexploration,17, 55-63.
- BARLOW, A., BROWN, J.(1962): Radio Surface Waves, Calederon Press, Oxford.
- BENDAT, J.S., PIERSOL, A.G. (1968): Measurement and analysis of random data, Wiley, New York.
- COGGON, J.H., (1971): Electromagnetic and Electrical Modeling By Finite Element Method, Geophysics,27, 651-665.
- CONEY, D.P. (1977): Model Studies of VLF-EM Method of Geophysical Prospecting, Geoexploration,15, 19-35.
- CANITEZ, N. (1984): Jeofizikte Veri İşlem I, İTÜ Yayıni, İstanbul.
- CANITEZ, N. (1992): Jeofizikte Modellemenin Amaç ve Kapsamı, Jeofizikte Modelleme Kolloquumu, Bildiriler Kitabı Ed:N.Canitez, İstanbul.
- CROSSLEY, . (1981): Theory of EM Surface Wave Impedance

Measurements, Geological Survey of Canada, Paper 81-15, p.1-17.

ERCAN, A. (1985): Yapay Kaynaklı Yerelektromanyetik Yöntemler, ITU Yayımı, No:1309, İstanbul.

ERGIN, K. (1985): Uygulamalı Jeofizik, ITU Yayınları, İstanbul.

D'ERCEVILLE, I., KUNETZ, .(1962): The Effect of a Fault on the Earth's Naturel Electromagnetic Field, Geophysics, Vol.27, 651-665.

GELİŞİM-HACHETTE, (1987); Radyoelektrik Maddesi, sayfa:3529-3530.

GÖRGÜLÜ, E., (198): (Bitirme Ödevi), ITU Maden Fak. Jeofizik Müh.Böl.

GRAND , F.S., WEST.G.F. (1965): Interpretation Theory of Applied Geophysics, McGraw-Hill,USA.

HOHMANN, G.W. (1971): Electromagnetic Scattering by Conductors in the Earth Near a Line Source of Current, Geophysics, 36, 101-131.

İDEMEN, M. (1987): Elektromanyetik Dalgaların Temelleri, ITU Ktp. Yay., İstanbul.

İLKISIK, O.M., (1987): Jeofizikte Elektrik Alanlarına Giriş, (Yayınlanmamış Ders Notları). İ.U. Mühendislik Fakültesi Jeofizik Mühendisliği Bölümü, İstanbul.

İLKISIK, O.M. (1980): Trakya'da Yerkabugunun Manyetotelürik Yöntemle İncelenmesi, Doktora Tezi, ITU Maden Fak.

İLİSIK, O.M., BAYRAK, M. (1993): Akyazı İncelemeleri: Elektromanyetik ve Termik Yöntemler ile Jeotermal araştırmalar. DPT Proje No: 91K121050, Ankara.

JONES, F.W., PASCOE, L.J. (1971): A General Computer Program to Determine the Perturbation of Alternating Electric Currents in a Two Dimensional Model of a Region of Uniform Conductivity with an Embedded Inhomogeneity, Geophys. G.R. astr. Soc., 24, 3-30.

JONES, F.W., PRICE, A.T. (1971): Geomagnetic Effects of Sloping and Shelving Discontinuities of Earth Conductivity, Geophysics, 36, 58-66.

JONES ,D., TELFORD, W.M. (1981): Mapping Bedrock Terrain with the EM-16 VLF Unite, Geological Survey of Canada, Papers 81-15, p.35-48.

KAIKONEN, P. (1979): Numerical VLF M0odeling, Geophysical Prospecting, 27, 815-834.

KAIKONEN, P. (1980): Interpretation Nomograms for VLF Measurements, Acta Universitatis Ouluensis, University of Oulu.

KAMAS, G. (1977): Time and Frequency User's Manuel, NBS Technical Note, 695, U.S. Department of Commerce: Washington, 210pp.

KARAUS, M., HJELT, S.E. (1983): Linear Filtering of VLF Dip-Angel Measurements, Geophysical Prospecting, 31, 782-794.

KELLER, G.V., FRISCHNECHT, F.C. (1966): Electrical Methods in Geophysical Prospecting, International Series in Electromagnetic Waves, Vol.10, Pergamon: Toronto, 523pp.

LORRAIN,P., CORSON,D.R. (1970): Electromagnetic Fields and Waves, Freeman, San Francisco, 760 pp.

MATHIENSON, C., CROSSLEY, D.C. (1981): Interpretation of Single Frequency VLF Data, in Colet, L.S. and Jensen, O.G., Eds., Geophysical Applications of Surface Wave Impedance Measurements, Geological Survey of Canada, Paper 81-15, 49-65.

ÖZÇEP, F. (1992): VLF Radyo Dalgaları Yöntemi, İ.U. Müh.Fak. Jeofizik Müh. Böl., (Bitirme Ödevi), İstanbul.

ÖZTÜRK, K. (1986): Elektrik ve Elektromanyetik Prospeksiyon Yöntemleri, İ.U. Müh.Fak. Jeofizk Müh. Böl., (Yayınlanmamış Ders Notları), İstanbul.

REITZ, J.R., MILFORD, F.J. (1966): Foundation of electromagnetic theory, Addison-Wesley, Tokyo.

ROTIYANSKY, I.I. (1982): Geoelectromagnetic Investigation of the Earth's Crust and Mantle, Springer Verlag, Berlin.

SAYDAM, S. (1981): VLF EM Interpretation Using Tiltangel and Elipticity Measurements, Geophysics, 46, 1594-1605.

SINHA, A.K. (1977): Influence of Altitude and Displacement Current on Plane-Wave EM Fields, Geophysics, 42,

77-91.

SINHA, A.K. (1990): Interpretation of Ground VLF-EM Data in Terms of Inclined Sheet-like Conductor Models, PAGEOPH, 132, 4, 733-756.

SMITH, C.M., WARD, S.H. (1974): On the Computation of Polarization Ellipse Parameter, Geophysics, 39, 867-869.

STRATTON, J.A. (1941): Electromagnetic Theory, McGraw-Hill.

SWIFT, C.M. (1967): A Magnetotelluric Investigation of an Electrical Conductivity Anomaly in Soutwestern United States. Ph.D. Thesis, M.I.T Massachusetts.

TELFORD, W.M., GELDART, L.P., SHERIFF, R.E., KEYS, D.A. (1976): Applied Geophysics, Cambridge University Press.

WAIT, G.R. (1951): A Conducting Sphere in a Time-Varying Magnetic Field, Geophysics, 16, 666-672.

WAIT, J.A., (1962): Electromagnetic Waves in Stratified Media, International Series in Electromagnetic Waves, Vol.3, Pergamon, 372pp.

WRIGTH, J.L. (1988): VLF Interpretation Manuel.

VII.EKİ. SONLU FARKLAR YÖNTEMİNİN MATEMATİKSEL ACILIMI

Bir $f(x)$ fonksiyonu düşünelim ki bu fonksiyon x için pozitif yönde bir Taylor serisi içinde açılabilir olsun,

$$f(x+\Delta x) = f(x) + \Delta x \cdot \frac{\partial f(x)}{\partial x} + \frac{(\Delta x)^2}{2!} \cdot \frac{\partial^2 f(x)}{\partial x^2} + \dots$$

Birinci türevinin sayısal çözümü için

$$\frac{\partial f(x)}{\partial x} \approx \frac{f(x+\Delta x) - f(x)}{\Delta x} + R(\Delta x)$$

elde ederiz. $R(x)$ daha yüksek dereceden terimleri içeren kalan terimdir. Bu terimi ihmali edebiliriz. Bu ileri fark yaklaşımıdır çünkü Taylor serisi x artan yönde açılmıştır. $f(x)$ fonksiyonunu azalan yönde de açabiliriz. Bu durumda,

$$\frac{\partial f(x)}{\partial x} \approx \frac{f(x) + f(x-\Delta x)}{\Delta x}$$

olur. Bu ise geri fark yaklaşımıdır. Merkezi fark yaklaşımı ise her iki denklemin farkıdır:

$$\frac{\partial f(x)}{\partial x} \approx \frac{f(x+\Delta x) - f(x-\Delta x)}{2\Delta x}$$

İkinci türev $\left[\frac{\partial^2 f(x)}{\partial x^2} \right]$ ise

$$\frac{\partial^2 f(x)}{\partial x^2} \approx \frac{f(x+\Delta x) - 2f(x) + f(x-\Delta x)}{\Delta x^2}$$

birimde elde edilir. Benzer yolla $f(x)$ 'in daha yüksek dereceden türevlerini hesaplayabiliriz. Örnek olarak basit

bir difüzyon denklemi verelim:

$$\frac{\partial^2 U(x,t)}{\partial x^2} = \mu \rho \cdot \frac{\partial U(x,t)}{\partial t}$$

Şekil 49'da yeraltını simgeleyen bir ağ görülmektedir. Her bir P noktası (X_i, t_j) koordinatları ile belirlenir.

$$X_i = i \quad (i=0,1,2,\dots,n)$$

$$t_j = j \quad (j=0,1,2,\dots,n)$$

olup kolaylık olsun diye $j(X_i, t_j) = J_{ij}$ yazılabilir. Benzer işlemler iki ve üç boyutlu dalga denklemi için de

$$\frac{\partial^2 U}{\partial x^2} + \frac{\partial^2 U}{\partial y^2} + \frac{\partial^2 U}{\partial z^2} = k^2 U$$

denklemi için yazılabilir.

EK.2. VLF ÖLÇÜM PARAMETRELERİ

Uzayda herhangi bir noktada toplam VLF alanı, induklanmış akım ya da yüklerin neden olduğu birincil ve ikincil alanların bir özetidir. Mantıksal nedenlerle birincil ve ikincil alanlar ayrılamazlar yalnızca onların karışımı ölçülür. Birincil ve ikincil alanlar,

$$\vec{H}_p = H_x^p \cos \omega t \vec{i} + H_y^p \cos \omega t \vec{j}$$

$$\vec{H}_s = H_x^s \cos(\omega t + \phi) \vec{i} + H_y^s \cos(\omega t + \phi) \vec{j} + H_z^s \cos(\omega t + \phi) \vec{k}$$

olur. Dikkat edilirse ikincil alan herhangi bir yönde varsayılabılırken birincil alan (H_p) toplam olarak yataydır. Ayrıca ikinci alan birinciye göre ϕ kadar bir faz kaymasına uğramıştır. Bu ikisi toplam VLF alanını elde etmek için birleştirilir:

$$\vec{H}_T = \vec{H}_p + \vec{H}_s$$

Cebirsel işlemlerle,

$$H_T = A \cos(\omega t - \phi) \vec{i} + B \cos(\omega t + \phi) \vec{j} + C \cos(\omega t + \phi) \vec{k}$$

elde ederiz. Burada,

$$A = \sqrt{H_{XR}^2 + H_{XI}^2}$$

$$\phi' = -\tan^{-1}\left(\frac{H_{XI}}{H_{XR}}\right)$$

$$B = \sqrt{H_{YR}^2 + H_{YI}^2}$$

$$\phi'' = -\tan^{-1}\left(\frac{H_{YI}}{H_{YR}}\right)$$

$$C = \sqrt{H_{ZR}^2 + H_{ZI}^2}$$

$$\phi''' = -\tan^{-1}\left(\frac{H_{ZI}}{H_{ZR}}\right)$$

ve

$$H_{XR} = H_x^P + H_x^S \cos \phi$$

$$H_{XI} = -H_x^S \sin \phi$$

$$H_{YR} = H_y^P + H_y^S \cos \phi$$

$$H_{YI} = -H_y^S \sin \phi$$

$$H_{ZR} = H_z^P \cos \phi$$

$$H_{ZI} = -H_z^P \sin \phi$$

Değişken parametreler aşağıdaki gibi kullanılır;

$$H_{XR} = A \cos \phi \quad : X bileşeninin gerçel kısmı$$

$$H_{XI} = A \sin \phi \quad : X bileşeninin sanal kısmı$$

$$H_{YR} = B \cos \phi \quad : Y bileşeninin gerçel kısmı$$

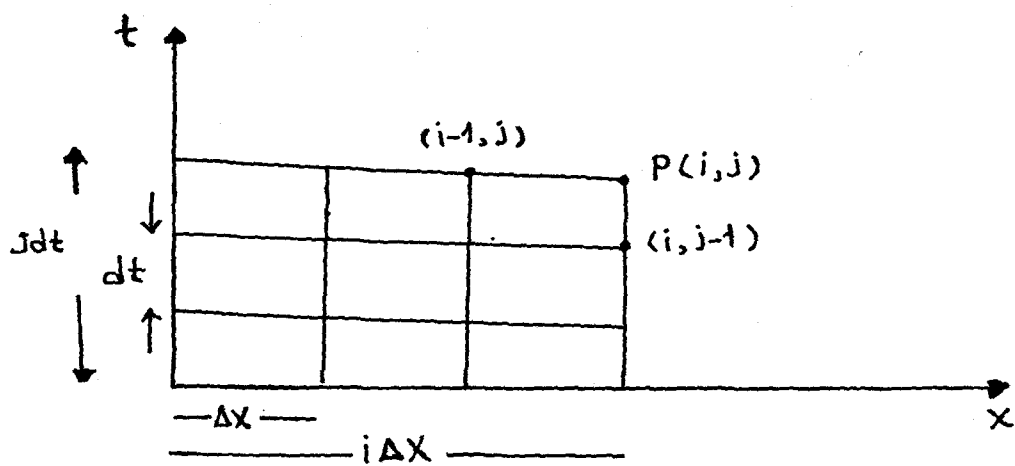
$$H_{YI} = B \sin \phi \quad : Y bileşeninin sanal kısmı$$

$$H_{ZR} = C \cos \phi \quad : Z bileşeninin gerçel kısmı$$

$$H_{ZI} = C \sin \phi \quad : Z bileşeninin sanal kısmı$$

Bu altı (6) nicelik toplam EM alanının komple bir tanımı

olarak düşünülebilir. Bu altı alan niceligi ayrıca birincil alan değişimlerine göre normalize edilebilir.



Sekil 49. Sonlu farklar ağı.

VIII. ÖZGEÇMİS

23 Ocak 1968 de Zonguldakta doğdu. İlk, Orta ve Lise öğrenimini sırasıyla Namık Kemal İlkokulu, Merkez Ortaokulu ve Uzun Mehmet Lisesi'nde aynı kentte tamamladı. 1991 yılında İstanbul Üniversitesi Mühendislik Fakültesi Jeofizik Mühendisliği Bölümünü bitirdi. 1985 yılında öğrenime başlayıp bir süre ara verdiği Hacettepe Üniversitesi Zonguldak Mühendislik Fakültesi Kdz Ereğli Meslek Yüksek Okulunun Elektrik Bölümünden önlisans diplomasını 1992 yılında aldı. 1991 de İ.U. Fen Bilimleri Enstitüsünde yüksek lisans eğitimine başladı. 1992 yılında İ.U. Mühendislik Fakültesi Jeofizik Mühendisliği Bölümü Yer Fiziği Ana Bilim Dalı'na "Araştırma Görevlisi" olarak atandı. Evlidir.

Katıldığı Projeler :

- (1) Batı Anadolunun Paleomanyetizması ve Tektonik Evrimi.
YBAG-0017 nolu TÜBİTAK Projesi (1992-1993), Yürütücü: N.Orbay, Çalışanlar: Z.Düzgit, O.Gündoğdu, M.Hisarlı, F.Özcep
- (2) Batı Anadolunun Mikro-bloklarının Paleomanyetizması ve Tektonik Evrimi.
YBAG- nolu TÜBİTAK Projesi (1993- Devam ediyor)
Yürütücü: N.Orbay , Çalışanlar: M.Sanver, M.Hisarlı, C.Tapırdamaz, F.Özcep, T.İsseven .

Bildiri :

Orbay, N., Düzgit, Z.,Gündoğdu, O., Hisarlı,M., Özcep, F., (1993): Batı Anadolunun Tektonik Yapısına Paleomanyetik Yaklaşım, Türkiye 13. Jeofizik Kurultayı, Bildiri Özleri Kitabı, Nisan 1993, Ankara.

T.C. YÜKSEKOĞRETİM KURULU
DOKÜMANТАSYON MERKEZİ